



Génétique des DFT: Où en sommes nous?

**Projets du réseau de recherche DFT &
Réseau des centres de compétences**





Le réseau de recherche sur les DFT et DFT-SLA

Réseau Inserm RBM 02-59

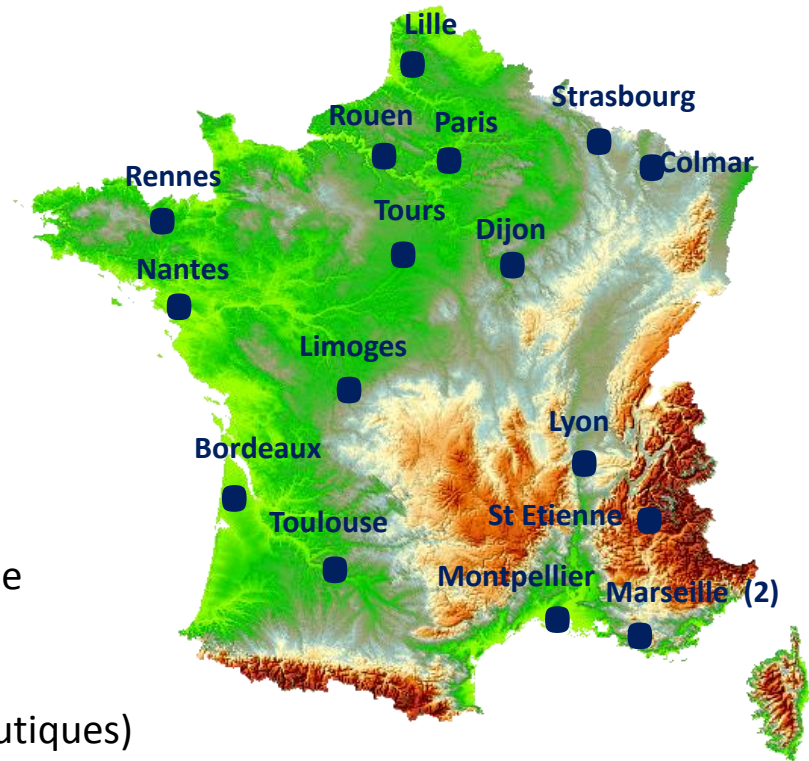
Collaboration entre 17 centres experts sur les DFT/SLA
depuis 1998

Cohorte clinique et biologique

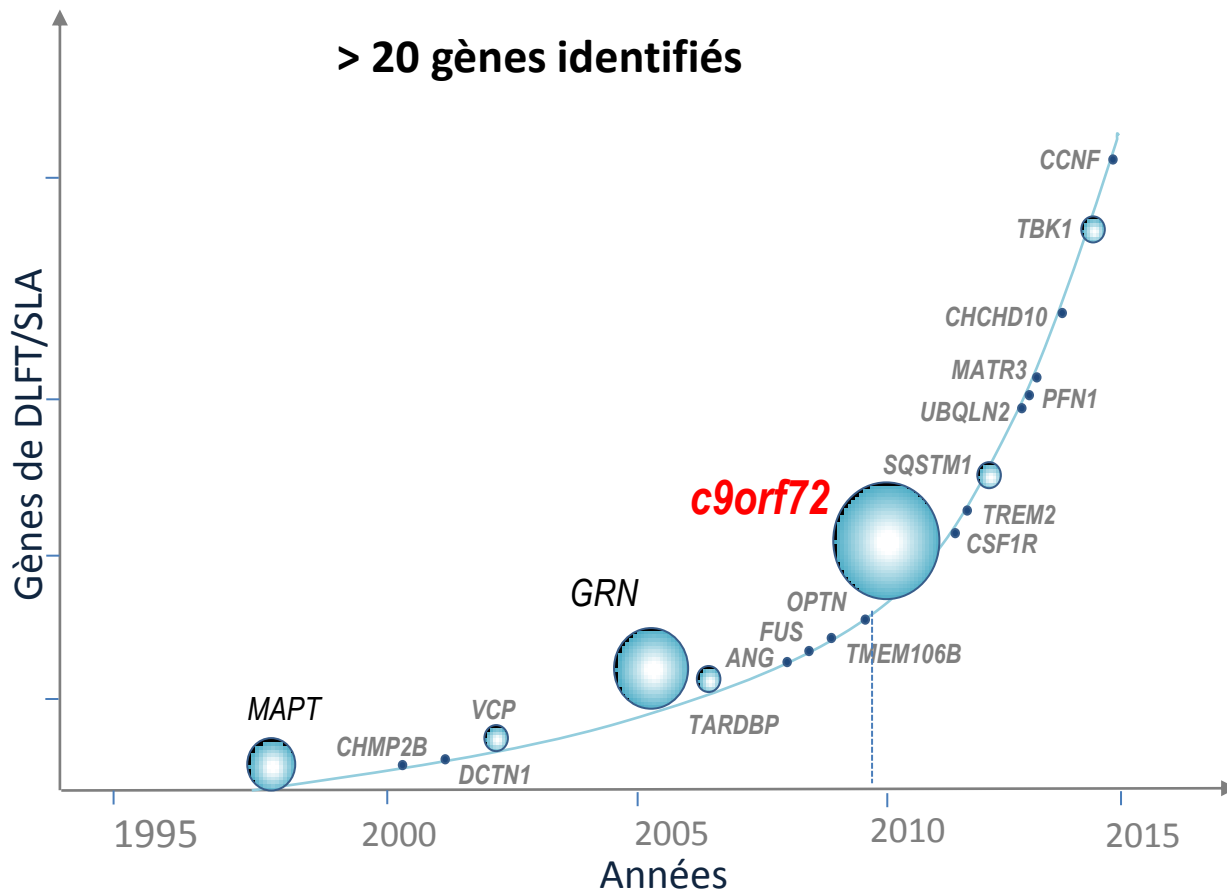
- Données cliniques & cognitives
- Echantillons biologiques: ADN, ARN, lignées cellulaires, plasma, fibroblastes

Objectifs

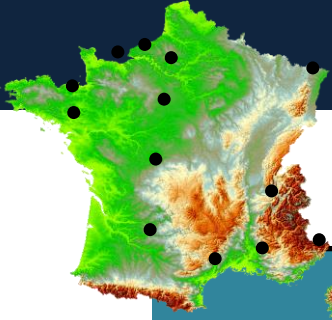
- Identifier les causes génétiques des DFT
- Caractérisation phénotypes
- Identification des facteurs modificateurs du phénotype
- Identifier des biomarqueurs des sous-types
- Etude de la phase presymptomatique (essais thérapeutiques)



Les DLFT : Une complexité génétique croissante



Les cohortes DFT et DFT/SLA nationales



Cohorte DFT nationale

	Cohorte globale	DFT comportemental	DFT-SLA	APP	PSP	SCB
Proposants, n=	1502	902	240	108	207	45
Cas familiaux, n=	550	310	138	43	48*	11*

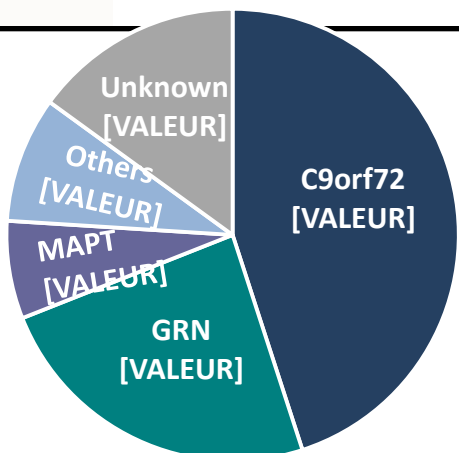
*ALS, degenerative dementia, parkinsonism

Les cohortes DFT et DFT/SLA nationales



Cohorte DFT nationale

	Cohorte globale	DFT comportemental	DFT-SLA	APP	PSP	SCB
Proposants, n=	1502	902	240	108	207	45
Cas familiaux, n=	550	310	138	43	48*	11*



'Cohorte génétique'

**250 familles *C9ORF72*
130 familles *GRN*
39 familles *MAPT***

**50 familles avec mutations plus rares
(12 *VCP*, 5 *TARDBP*, 5 *TBK1*, 5 *SQSTM1* etc)**

Objectifs du réseau

- 1. Identification de nouveaux gènes**
- 2. Caractérisation des formes génétiques connues ++++**

Caractérisation des troubles psychiatriques associés aux expansions C9orf72
(Dr Guilhem Carle)

Identification des facteurs modificateurs de l'âge de début des DFT-GRN et
C9orf72 (M Barbier)

Objectifs du réseau

- 1. Identification de nouveaux gènes**
- 2. Caractérisation des formes génétiques connues**

Caractérisation des troubles psychiatriques associés aux expansions C9orf72
(Dr Guilhem Carle)

Identification des facteurs modificateurs de l'âge de début des DFT-GRN et C9orf72 (M Barbier)

→ Prélèvements génétiques de RECHERCHE
quand une mutation est identifiée dans une famille
(Banque ADN et de cellules)

Objectifs du réseau

Consentement RECHERCHE

Consentement de participation à l'étude génétique et clinique des maladies neurodégénératives avec troubles cognitifs.
Patient ou apparenté

De M / Mme _____
Demeurant à _____

Le Dr _____ m'a proposé de participer à un projet de recherche sur les démences neurodégénératives. Il m'a précisé que je suis libre d'accepter ou de refuser, et que cela ne changera en rien les relations pour mon traitement. Je déclare que je bénéficie d'un régime de sécurité sociale.

J'accepte et je transmets les informations suivantes :

- L'assurance est la propriétaire de l'étude et a souscrit une assurance spécifique pour ce projet.
- La recherche est destinée à identifier les facteurs génétiques impliqués dans les maladies neurodégénératives, d'identifier des biomarqueurs et à caractériser les marqueurs sanguins associés à ces maladies.
- Ma participation se limite à :

Soit

- Une prise de sang (volume total du prélèvement d'environ 50 ml), qui sera réalisé par un médecin ou une personne qualifiée.
- Une prise de sang (volume total du prélèvement d'environ 50 ml), qui seront réalisées par un médecin ou une personne qualifiée et :
- Un prélèvement cutané prélevé (quelques millimètres à la surface de la peau, en général à la fesse intime du bras) par un médecin

Le reste des examens clinique, neuropsychologique et paraclinique (pratiqués uniquement chez les patients) fait partie du bilan habituel. Le protocole a reçu l'avis favorable du Comité Consultatif de Protection des Personnes dans la recherche biomédicale Paris-Necker le 3 Mars 2004.

La recherche fait partie d'un test clinique et biomédical et certains et certaines résultats sur les personnes seraient ainsi. Ainsi, une partie des prélèvements seraient effectués dans le cadre sans consentement de façon anonyme et conservés dans la banque d'ADN et de cellules du CIBion UMR_S975 (anciennement IFR des Neurosciences). Ils permettront de pouvoir rapidement étudier un paramètre biologique particulier, y compris génétique, si cela s'avérait souhaitable. Cette recherche sera menée dans plusieurs laboratoires publics ou privés. Ces cas où des découvertes seraient faites au cours de ces études, je reconnais que je ne peux demander à être informé de ces découvertes.

En aucun cas mon nom n'apparaîtra dans la publication des résultats.

Les conséquences de la recherche seront la possibilité d'un diagnostic génétique de ces maladies et à plus long terme, la compréhension de leurs mécanismes permettant d'espérer de nouvelles thérapeutiques.

J'ACCEPTE DE PARTICIPER A CETTE RECHERCHE DANS LES CONDITIONS PRÉCISEES CI-DESSUS.

Je consens en particulier à un prélèvement sanguin et/ou à un prélèvement cutané et à des recherches génétiques à partir de ces prélèvements. Je ne m'oppose pas à l'utilisation de ces prélèvements pour des recherches ultérieures.

Mon consentement ne décharge en rien les organisateurs de la recherche de leurs responsabilités. Je conserve mes droits garantis par la loi. Si je le désire, je pourrai à tout moment arrêter ma participation, ce qui implique la destruction des données et des échantillons. Je n'encours aucune responsabilité en cas de retrait. J'en informerai alors le Dr _____.

Les données qui me concernent demeureront strictement confidentielles. Je n'autorise le traitement de données nominatives que par des personnes mandatées par le Pr A Brice, coordinateur de l'étude.

J'accepte d'être inscrit dans le Fichier National des personnes qui se prêtent à des recherches biomédicales sans bénéfice individuel direct géré par le Ministère chargé de la santé. Je ne pourrai pas participer à une autre recherche médicale avant le délai d'un jour.

J'ai reçu et bien compris les informations concernant l'étude qui m'ont été remises par écrit, et je pourrai à tout moment demander des informations complémentaires au Dr _____.
Fait à _____ le _____
Nom, Prénom, Signature de l'investigateur : _____
Signature du sujet : _____

En cas de majeur protégé non apte à exprimer son consentement,
Nom, Prénom, signature du représentant légal : _____

Protocole RBM 02-59 Version du 29/04/2009 Page 1 sur 4

Fiche individuelle

GROUPE HOSPITALIER PITIÉ-SALPÉTRIERE
Banque d'ADN et de cellules de l'IFR 70 - Bâtiment pharmacie 4^{ème} étage
47, boulevard de l'Hôpital-75651 PARIS cedex 13

Responsable:
Clémence Post tel: 33 1 42 16 31 80 courriel: biospec@ch-piti.ech.fr
Isabelle Legras tel: 33 1 42 16 21 80 courriel: biospec@ch-piti.ech.fr
Dr Alexandre Duez tel: 33 1 42 16 21 80 82 courriel: duive@ch-piti.ech.fr

Réception des prélèvements : du lundi au jeudi, de 9h à 17h ; le vendredi, de 9h à 12h

FICHE DE RENSEIGNEMENTS INDIVIDUELS
Dans un cadre de recherche uniquement
(Savez voir fiche N°1 de disquette moléculaire)

Code interne : _____	CADRE RESERVE A LA BANQUE	Date réception du prélèvement : _____
N° père : _____	N° mère : _____	Date de traitement : _____
Commentaires : _____		

TABLEAUX A REMPLIR IMPERATIVEMENT

PRISCRIPTEUR (Médecin statutaire) Nom et prénom : _____ Service : _____ Institution : _____ Adresse : _____ Téléphone : _____ Fax : _____ Courriel : _____	PRELEVEUR Nom et prénom : _____ Date : _____ Heure : _____ "j'adore 3 étiquettes identifiant patient"
MÉDECIN REFERENT Nom et prénom : _____ Service : _____ Institution : _____ Adresse : _____ Téléphone : _____ Fax : _____ Courriel : _____	NATURE DU PRELEVEMENT <input checked="" type="checkbox"/> Sang <input type="checkbox"/> ADN <input type="checkbox"/> Vélosites chorales <input type="checkbox"/> Liquide amniotique <input type="checkbox"/> Autre (préciser) _____
PATIENT Nom : _____ Prénom : _____ Nom de jeune fille : _____ Date de naissance : _____ âge : _____ Lieu et pays de naissance : _____ Occupation : _____ Sexe : M <input type="checkbox"/> F <input type="checkbox"/> Adresse : _____ Tel : _____	RESULTAT EXAMEN CLINIQUE <input type="checkbox"/> Sujet non à risque (conjoint) _____ <input type="checkbox"/> Sujet à risque : _____ Etat clinique symptomatique _____ examiné <input type="checkbox"/> état clinique non déterminé <input type="checkbox"/> non examiné <input type="checkbox"/>
RECHERCHE A COCHER IMPERATIVEMENT	
<input type="checkbox"/> ATAXIE CEREBELLEUSE AUTOSOMIQUE DOMINANTE (Réseau Spatax) <input type="checkbox"/> ATAXIE CEREBELLEUSE AUTOSOMIQUE RECESSIONNELLE (Réseau Spatax) <input type="checkbox"/> PARAPLEGIE SPASTIQUE FAMILIALE (Réseau Spatax) <input type="checkbox"/> NEUROPATHIES HEREDITAIRES (Chezard-Marie-Yeth....) <input type="checkbox"/> DEMENCE FRONTOTEMPORALE <input type="checkbox"/> MALADIE D'ALZHEIMER <input type="checkbox"/> MALADIES DU MOTONEURONE FAMILIALES <input type="checkbox"/> ATYPIQUE DOPA-THYMOL FAMILIALES <input type="checkbox"/> TREMBLEMENT ESSENTIEL FAMILIAL <input type="checkbox"/> EPILEPSIES FAMILIALES <input type="checkbox"/> MALADIE DE PARKINSON <input type="checkbox"/> BIOMARQUEURS «Maladie de Huntington» <input type="checkbox"/> autres : _____ appeler impérativement	

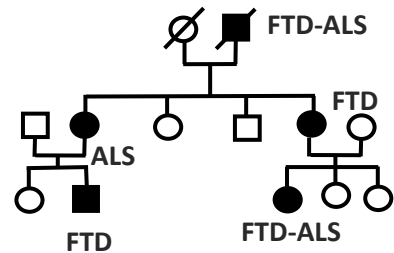
Protocole RBM 02-59 Version du 29/04/2009 Page 9 sur 9



28 ml EDTA +
28 ml Heparinate Li

+ Données cliniques
(Information génétiques)

+ Arbre généalogique



Mmes Forlani et Ghassab
Banque ADN et cellules ICM
Pavillon Roger Baillet (Pavillon Horloge) – GH Pitié-Salpêtrière
www.cref-demrarees

Objectifs du réseau

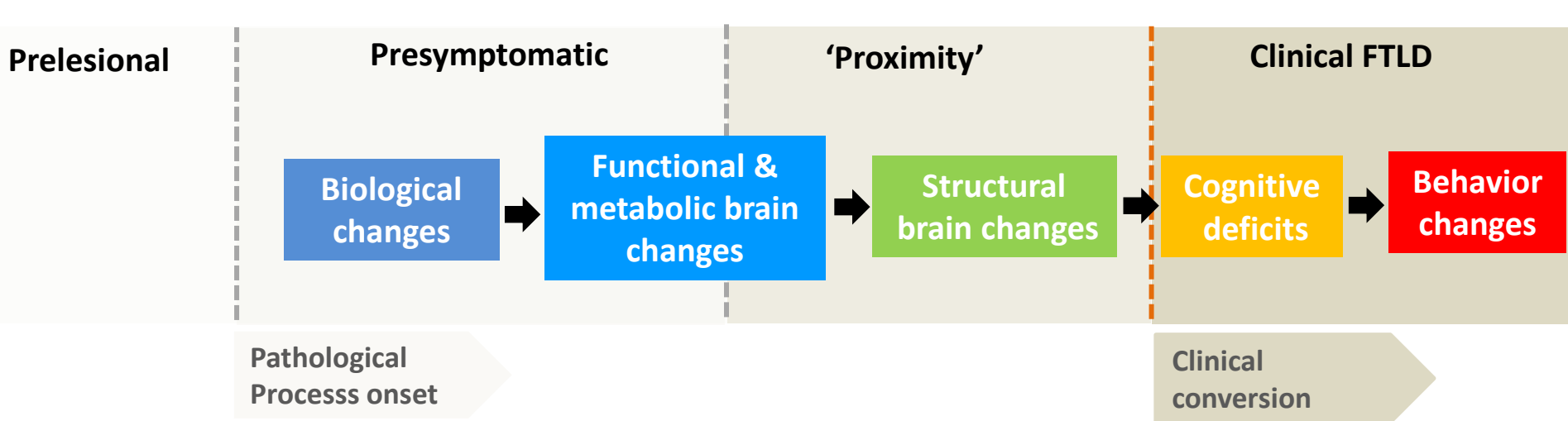
1. Identification de nouveaux gènes
2. Caractérisation des formes génétiques connues

Caractérisation des troubles psychiatriques associés aux expansions C9orf72
(Dr Guilhem Carle)

Identification des facteurs modificateurs de l'âge de début des DFT-GRN et C9orf72 (M Barbier)

3. Etude de la phase pré-symptomatique : essais thérapeutiques ciblés

Etude de la phase presymptomatique des DFT C9orf72 et GRN



Quels marqueurs précoce pour les essais thérapeutiques ?

Etude de la phase presymptomatique des DFT C9orf72 et GRN

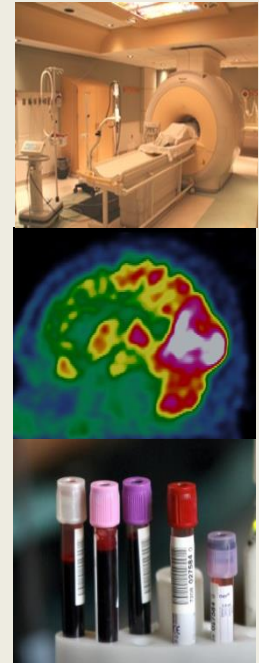
PHRC Predict-PGRN 2008-2021 (GRN)
ANR PRTS PrevDemALS 2015-2019 (C9orf72)

- **188 participants recrutés**

- ✓ Patients *C9orf72* & *GRN* (disease trajectory)
- ✓ Apparentés porteurs asymptomatiques *C9orf72* & *GRN* carriers
- ✓ Apparentés non porteurs (controles)

- **3 time-points: 0, 20, 36/50 mois**

- ✓ Echelles comportementales (FBI, FRS, NPI)
- ✓ Evaluation neuropsychologique
- ✓ Echantillons biologiques (DNA, RNA, cell lines, plasma)
- ✓ 3T-MRI, FDG-PET



Predict-PGRN & PrevDemALS:

Etude de la phase presymptomatique des DLFT - GRN et DLFT - *c9orf72*

188 participants

Predict-PGRN 2010-2021
GRN Families

	<u>GRN Cohort</u> (Total)	Patients	aGRN+ carriers	aGRN-
M0	75	8	31*	36
M18	57	6	22*	29
M50	30	1	10	19

* 1 préclinique

PrevDemALS 2015-2019
c9orf72 Families

	<u>C9orf72</u> <u>cohort</u> Total	Patients	aC9orf72 + carriers	aC9orf72 -
M0	113	19	46	44
M18	71	11	34	26
M36	0	0	0	0

- ✓ 77 asymptomatic carriers: 46 *C9orf72* & 31 *GRN* carriers
- ✓ 25 *C9orf72* & *GRN* patients (disease trajectory)
- ✓ 80 at-risk relatives non carriers (controls)

Etude de la phase presymptomatique des DFT C9orf72 et GRN

- 1) Efficience cognitive globale : MMSE, MDRS
- 2) Fonctions exécutives : FAB, Wisconsin, TMT
- 3) Cognition sociale (SEA)
Fx pas, reconnaissance des emotions (Eckman)
- 4) Mémoire : FCRT, test des portes
- 5) Fluences catégorielles et phonémiques,
dénomination (Boston naming test), app. semantiques
mots
- 6) Gnosies visuelles : appariement sémantiques images
- 7) Praxies (Peigneux et Van der Linden, 2000)
- 8) Visuospatial : figure de Benson, cubes VOSP

Questionnaire comportemental (informant familial)

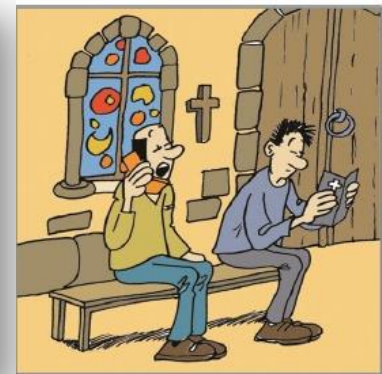
- 1) EDF (Echelle de dysfonctionnement frontal)
- 2) Frontal Behavioral Inventory (FBI)
- 3) FTD Rating Scale
- 4) Neuro Psychiatry Inventory (NPI)

Echelles d'anxiété et dépression (BDI-II, STAI-Y)



F Eustache,
M Laisney – Caen

Emotional recognition, social rules,
IRMF



Etude de la phase presymptomatique des DFT C9orf72 et GRN

Troubles développementaux (Personnels ou familiaux)

- ‘Dys’ : questionnaire ‘maison’
- Déficience intellectuelle
- Troubles psychiatriques (SCZ etc)

Troubles dysimmunitaires (Personnels)

- Maladies autoimmunes
- Vitiligo

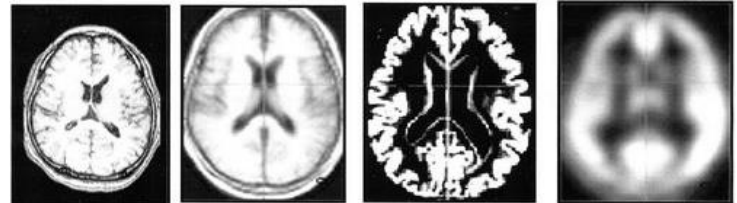
Etude de la phase presymptomatique des DFT C9orf72 et GRN



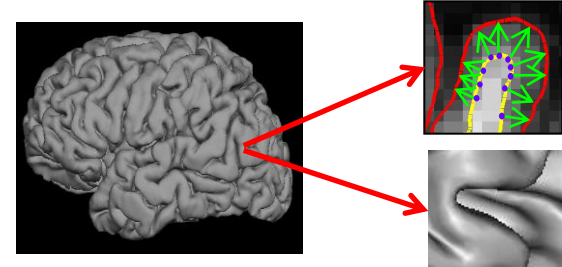
Team O Colliot & A Bertrand – ARAMIS team, ICM (Inserm)

- 1) 3D T1-weighted sequences, with axial or sagittal slices
- 2) 2D FLAIR sequence
- 3) 3D volumic T2-weighted sequences, sagittal slices.
- 4) 2D T2* sequence
- 5) ASL
- 6) Diffusion tensor imaging
- 7) NODDI
- 8) BOLD sequence Gradient echo EPI sequence with axial slices (resting state eyes closed)

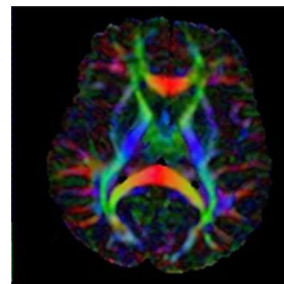
Voxel Based Morphometry



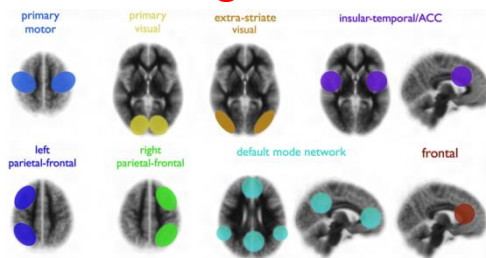
Cortical thickness and fold opening



DTI



Resting state fMRI



Neuroanatomical, structural & functional markers

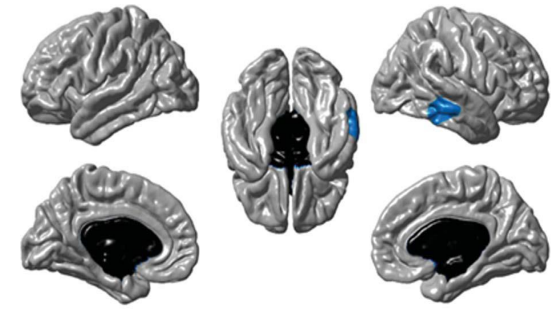
F Eustache, M Laisney – Cyceron Caen



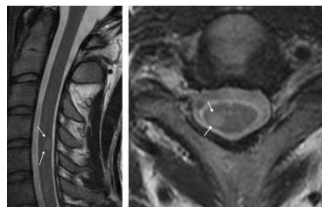
Activation fMRI



Team Dr M-O Habert– LIF team, UPMC

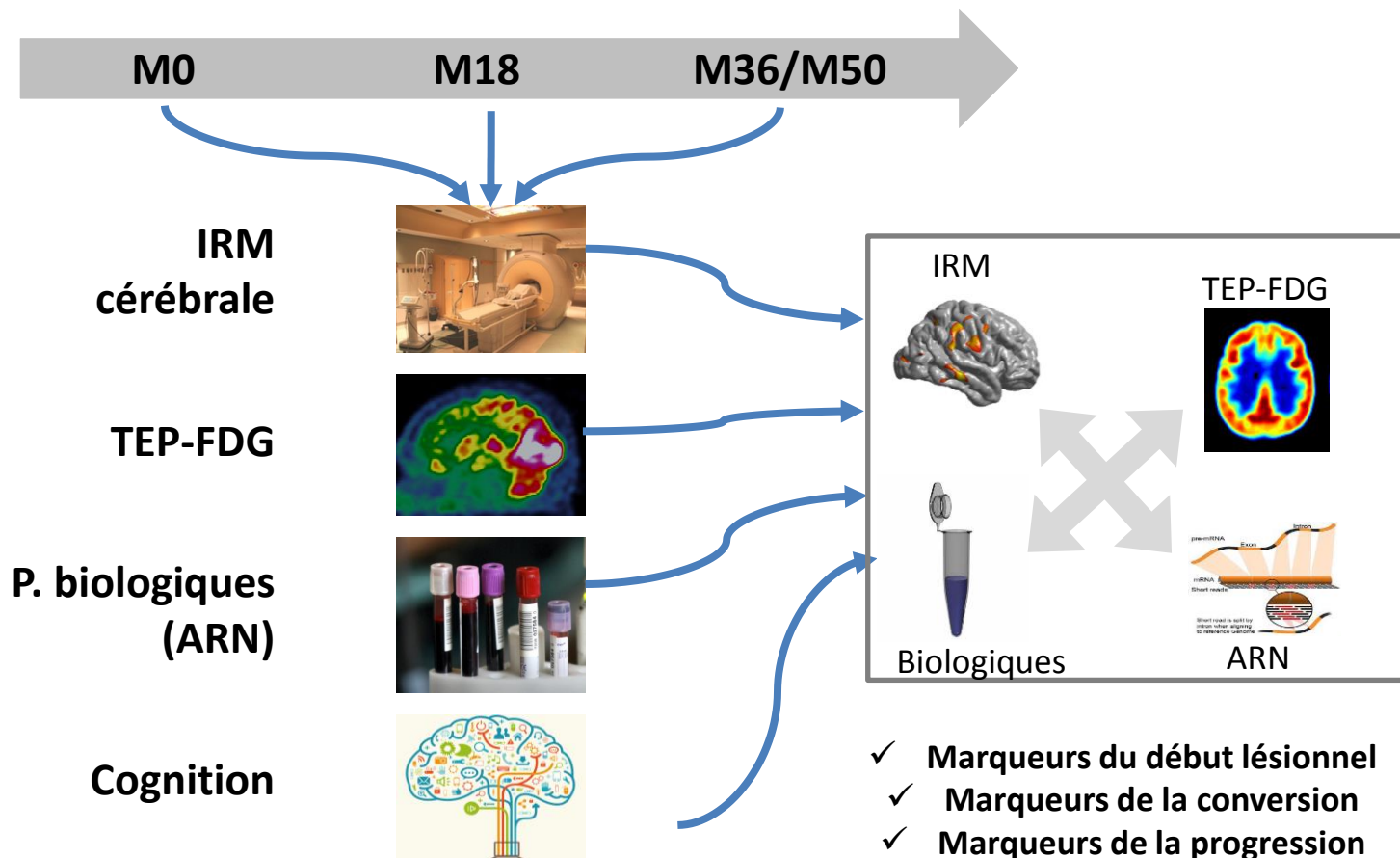


Team Dr PF Pradat– LIF team, UPMC



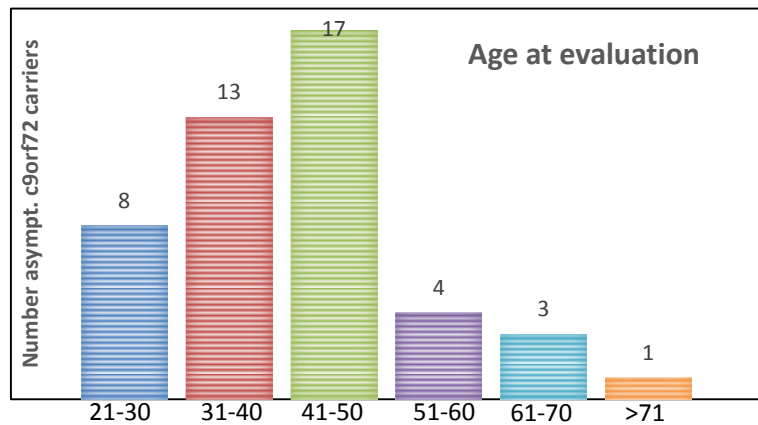
18F-Fluorodeoxyglucose PET
2 Mbq/kg of 18F-FDG
15min 3D acquisition
Whole brain voxel-wize analysis, SPM12
Volume of interest analysis (VOIs)

Etude de la phase presymptomatique des DFT C9orf72 et GRN



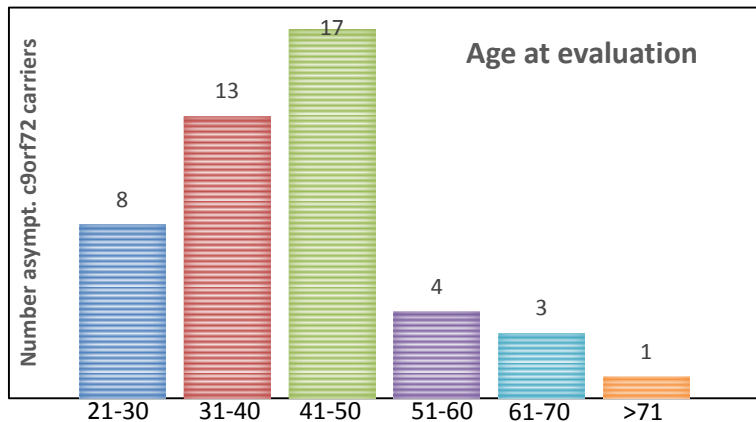
Caractéristiques de la population C9orf72 (PrevDemAls)

	Asymptomatic <i>C9orf72</i> carriers	Non carriers Controls
Number	46	42
Gender	29 F / 17 M	23 F / 19 M
Mean age at evaluation, ys	41.3±14.4 (24-76)	44.7±12.7 (21-77)
Depression	20/46 (43%)	13/42 (31%)
Significant psychiatric history	4 (9%) Episodic hallucinations (n=1) Bipolar disorders (n=2) Severe depression (n=1)	3 (7%) Bipolar disorder (n=1) Anorexia-bulimia (n=1) Severe depression (n=1)
Auto-immune diseases	6 (12%)	6 (14%)
Clinical proximity	4 (9%) (52-79 ys)	-



Caractéristiques de la population C9orf72 (PrevDemAls)

	Asymptomatic <i>C9orf72</i> carriers	Non carriers Controls
Number	46	42
Gender	29 F / 17 M	23 F / 19 M
Mean age at evaluation, ys	41.3±14.4 (24-76)	44.7±12.7 (21-77)
Depression	20/46 (43%)	13/42 (31%)
Significant psychiatric history	4 (9%) Episodic hallucinations (n=1) Bipolar disorders (n=2) Severe depression (n=1)	3 (7%) Bipolar disorder (n=1) Anorexia-bulimia (n=1) Severe depression (n=1)
Auto-immune diseases	6 (12%)	6 (14%)
Clinical proximity	4 (9%) (52-79 ys)	-



- Criteria for 'clinical proximity' of bv-FTD
- ✓ **Do not fit the consensus criteria for bvFTD**
 - ✓ 2 mildly impaired cognitive frontal tests
 - ✓ Or: 2 behavioral symptoms of the consensus criteria
 - ✓ Or: 1 behavioral symptom + 1 altered cognitive test
 - ✓ **And** a progression of these deficits during the longitudinal follow-up

Caractéristiques de la population C9orf72 (PrevDemAls)

- Analyses sur les données baseline
- PS C9orf72 (C9+) et non porteurs (C9-)
 - 1) Comportement et cognition
 - 2) IRM anatomique - ROI
 - 3) IRM de diffusion

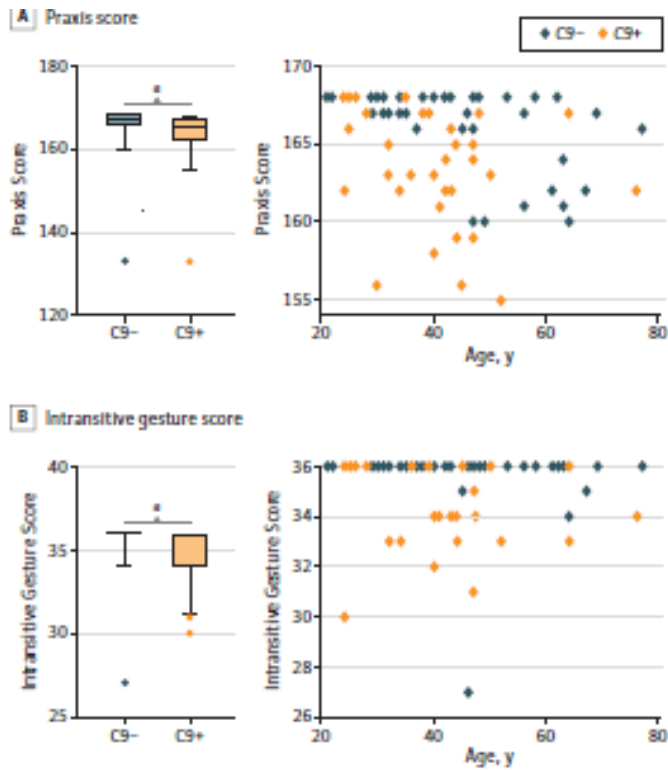
Caractéristiques de la population C9orf72 (PrevDemAls)

JAMA Neurology | Original Investigation

Early Cognitive, Structural, and Microstructural Changes in Presymptomatic C9orf72 Carriers Younger Than 40 Years

Anne Bertrand, MD, PhD; Junhao Wan, MS; Daley Rinaldi, PhD; Marion Houot, MS; Sabrina Sayah, MS; Agnès Camuzat, PhD; Clémence Fourrier, PhD; Sabrina Fontanella, MS; Alexandre Routier, MS; Philippe Couratier, MD; Florence Pasquier, MD, PhD; Marie-Cécile Habert, MD; Didier Hennequin, MD, PhD; Olivier Martinaud, MD, PhD; Paola Caroppo, MD, PhD; Richard Levy, MD, PhD; Bruno Dubois, MD; Alexis Brice, MD; Stanley Durnekian, PhD; Olivier Collot, PhD; Isabelle La Bar, MD, PhD;
for the Predict to Prevent Frontotemporal Lobar Degeneration and Amyotrophic Lateral Sclerosis (PREV-DEMALS) Study Group

A. Bertrand



	c9-	c9+	p value
Total number	39	41	
including subjects < 40-year-old	16	22	
Age (years)	45.2 ± 13.9	39.8 ± 11.1	0.084
Female gender	24 (61.5%)	24 (58.5%)	0.784
Familial phenotype: FLTD/ALS/mixed/N.A.	15/2/21/1	18/3/20/0	0.771
Expected years to onset		-19.3 ± 11.2	
Neuropsychological scores			
MMSE score (30)	28.8 ± 1.5	28.6 ± 1.3	0.338
MDRS score* (144)	141.5 ± 3.2	141.4 ± 2.6	0.538
FAB score (18)	16.8 ± 1.4	17.1 ± 0.9	0.392
Mini-SEA (30)	26.2 ± 4.7	25.6 ± 3.5	0.128
Praxis score:			
- finger dexterity (36)	35.5 ± 1.2	35.4 ± 1.2	0.571
- melokinetic apraxia (24)	23.2 ± 1.5	22.8 ± 2.3	0.373
- non-representational gestures (36)	35.7 ± 0.9	35.4 ± 1.2	0.157
- <i>intransitive gestures (36)</i>	35.7 ± 1.5	34.9 ± 1.6	0.004
- transitive gestures (36)	35.2 ± 2.0	34.9 ± 2.9	0.790

Résultats préliminaires

Visite ‘baseline’

3D T1
2D FLAIR sequence
3D
2D T2* sequence
ASL
Diffusion tensor imaging/ NODDI
BOLD sequence (resting state)

Bertrand A et al., Jama Neurol, 2018

- 41 presymptomatic carriers
 - 39 non-carriers

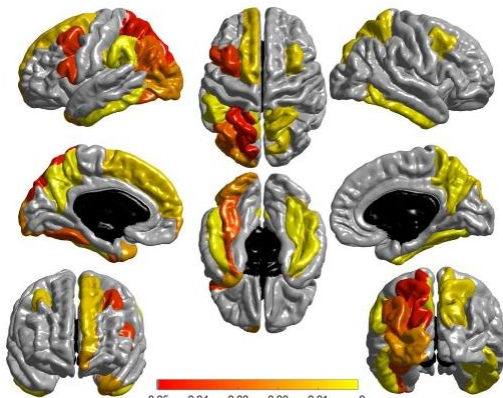
Anatomy
3DT1

Microstructure
DTI 60 directions

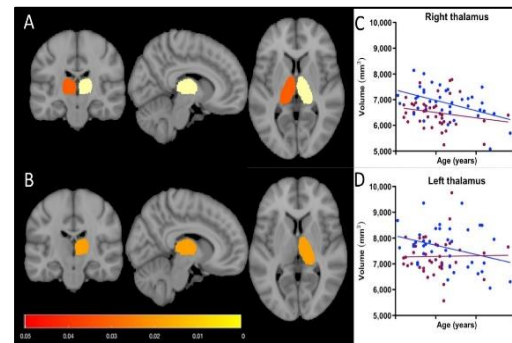
ROI measures
Linear mixed-effect model

$$Y_{ik}^{(j)} = \mu + \beta \times \text{gender}_i + \lambda \times \text{age}_i + \eta \times \text{group}_i + \mathbf{U}_k + \epsilon_{ik}^{(j)}$$

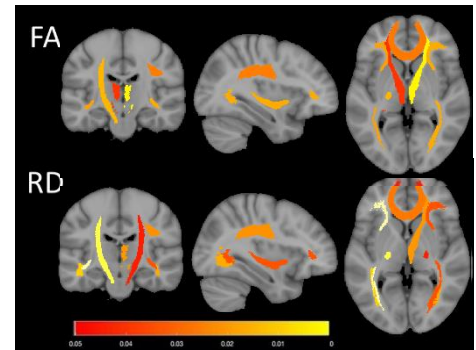
Volume cortical par ROI



Volume structures sous corticales

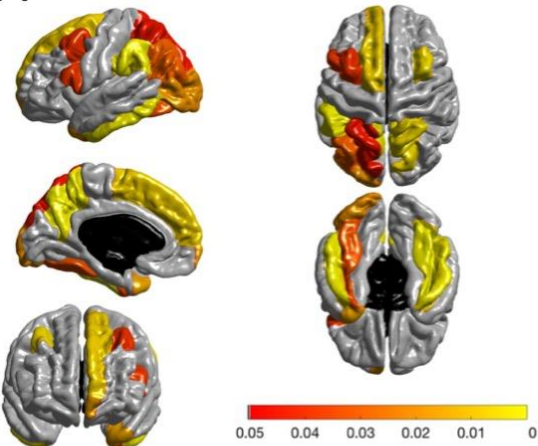


DTI – séquences de diffusion

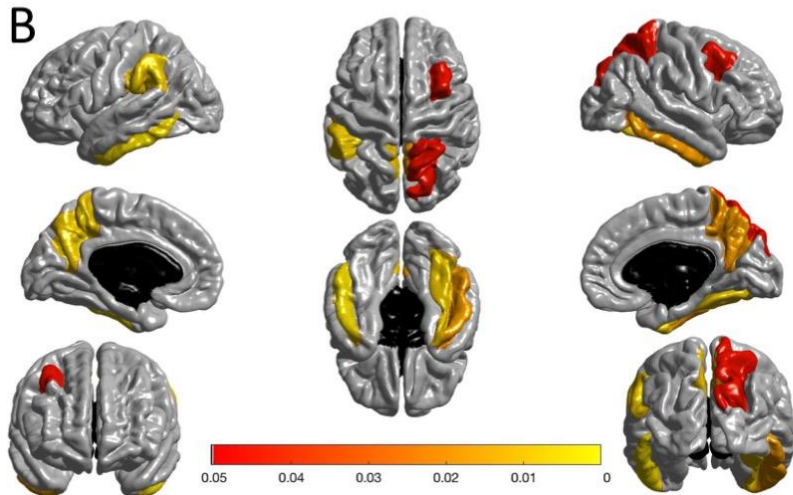


Modifications structurelles et microstructurelles précoces

A

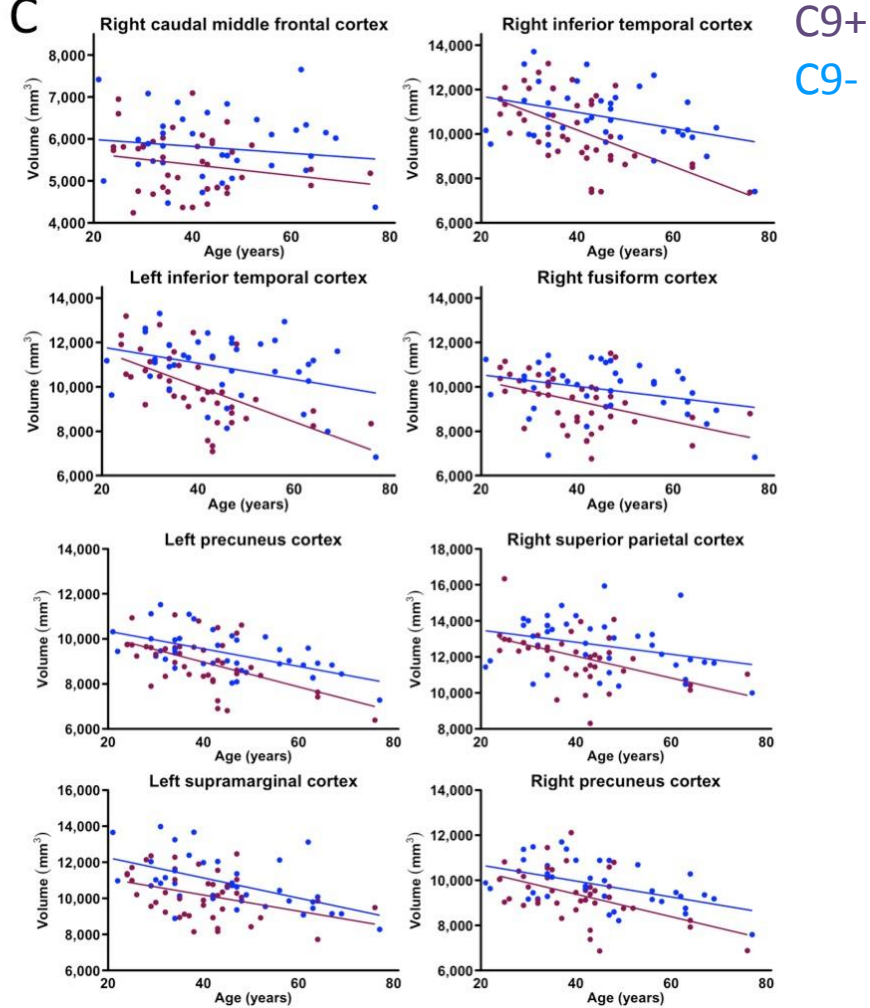


B



A Sans correction; B avec corrections pour comparaisons multiples

C

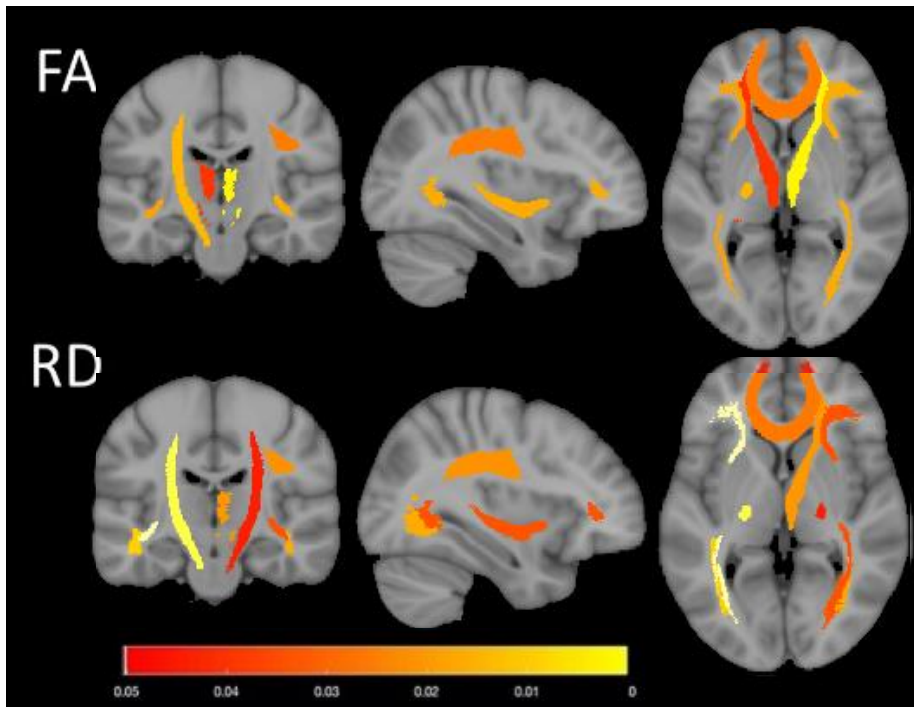


Diffuse cortical atrophy within the associative cortex

Sparing of primary sensorimotor and visual cortex, frontobasal cortex, and superior temporal cortex

Modifications structurelles et microstructurelles précoces

IRM de diffusion



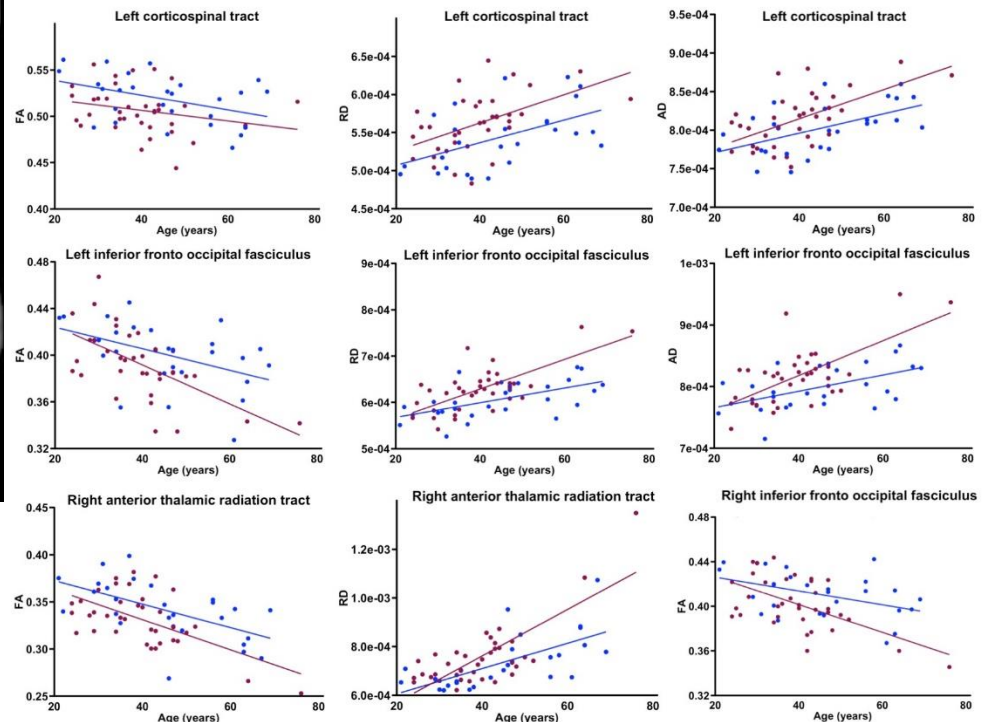
FA: Fractional anisotropy

RD: Radial diffusivity

- Faisceaux connectant les lobes frontaux ou temporaux

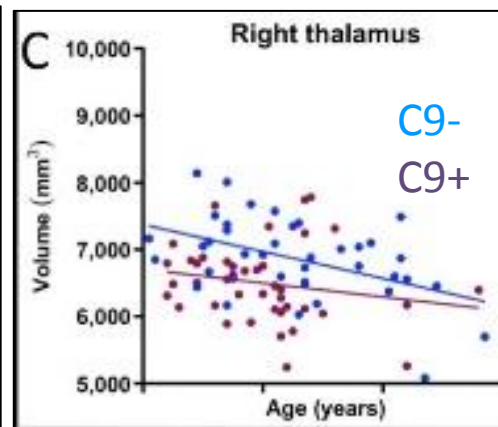
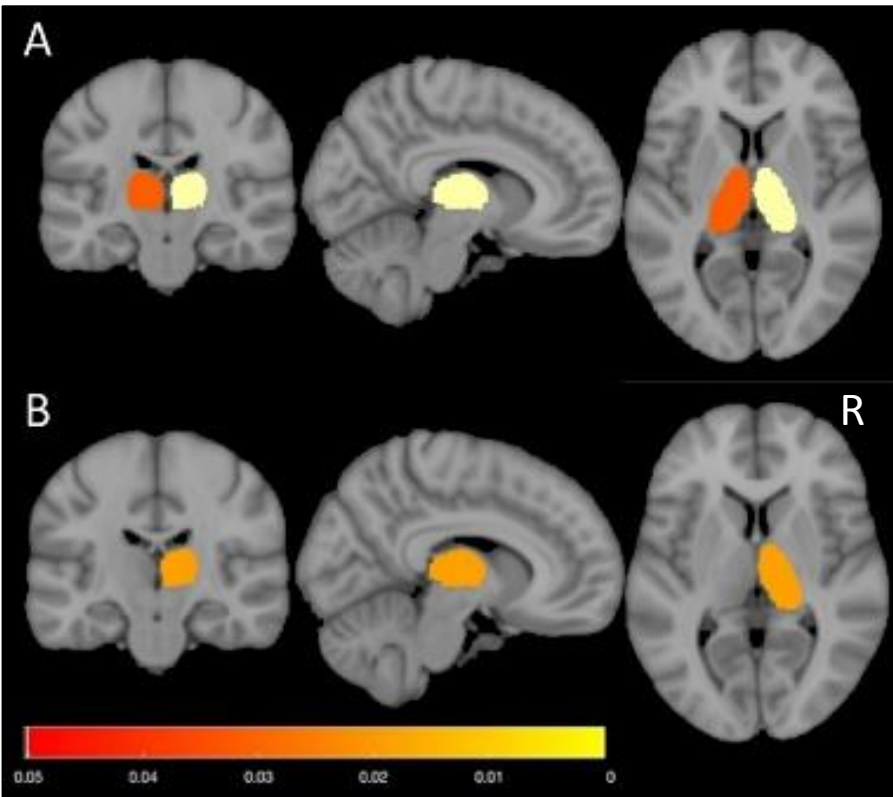
Forces minor, bilateral inferior fronto-occipital fasciculus and right superior longitudinal fasciculus bilateral inferior longitudinal fasciculus

- Faisceaux corticospinaux (G)
- Radiations thalamiques antérieures



Volumes corticaux normalisés en fonction de l'âge

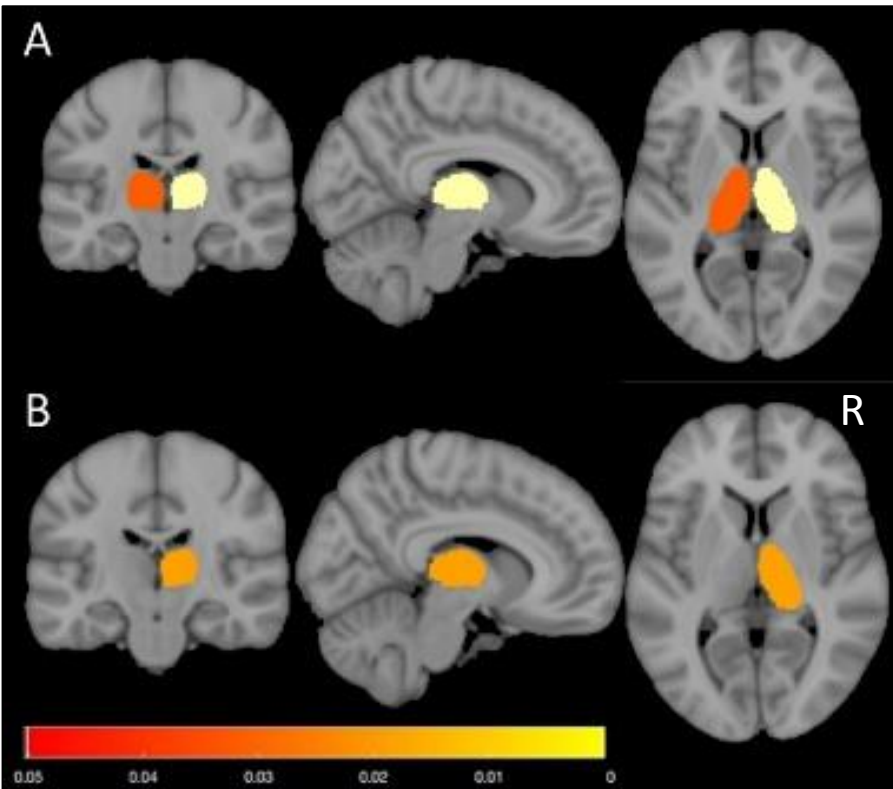
Atteinte thalamique spécifique et précoce



A Sans correction; B avec corrections pour comparaisons multiples

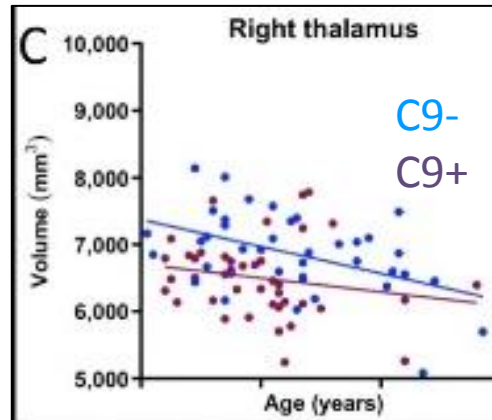
Sous groupe <40 ans

Atteinte thalamique spécifique et précoce



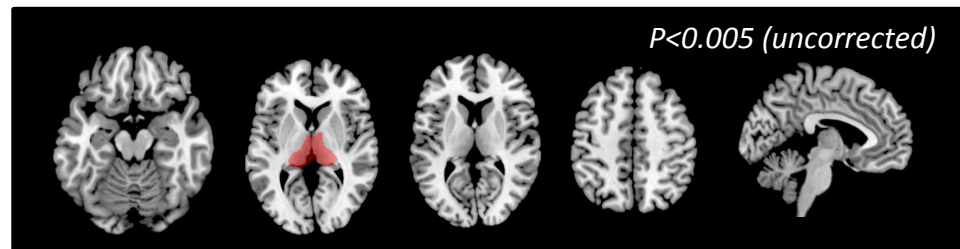
A Sans correction; B avec corrections pour comparaisons multiples

Sous groupe <40 ans



Atrophy in the Thalamus But Not Cerebellum Is Specific for C9orf72 FTD and ALS Patients – An Atlas-Based Volumetric MRI Study

Sonja Schönecker¹, Christiane Neuhofer¹, Markus Otto², Albert Ludolph², Jan Kassubek², Bernhard Landwehrmeyer², Sarah Anderl-Straub², Elisa Semler², Janine Diehl-Schmid³, Catharina Prix¹, Christian Vollmar¹, Juan Fortea⁴, Deutsches FTLD-Konsortium^{2†}, Hans-Jürgen Huppertz⁵, Thomas Arzberger⁶, Dieter Edbauer^{7,8,9}, Berend Feddersen¹⁰, Marianne Dieterich^{1,7,9}, Matthias L. Schroeter^{11,12}, Alexander E. Volk¹³, Klaus Fließbach^{14,15}, Anja Schneider^{14,15}, Johannes Kornhuber¹⁶, Manuel Maler¹⁶, Johannes Prudlo^{17,18}, Holger Jahn^{19,20}, Tobias Boeckh-Behrens²¹, Adrian Danek¹, Thomas Klopstock^{7,9,22} and Johannes Levin^{1,7*}



Col MO Habert

Conclusions de l'analyse baseline

- Modifications structurelles et microstructurelles très précoces (< 40 ans)
Progression lésionnelle lente à la phase PS (âge moyen 65 ans)
- La pathologie C9orf72 est elle aussi une maladie neuro-développementale ?
C9orf72 s'exprime durant la vie fœtale...
Agrégation de pathologie développementale dans les familles C9
- La DLFT C9orf72 est elle une pathologie initialement thalamique ?
Atteinte précoce
Atteinte spécifique
- Essais thérapeutiques AntiC9... début 2019!

Prélèvements génétiques de RECHERCHE quand une mutation est identifiée dans une famille (Banque ADN et de cellules)

**80 familles GRN (115 patients)
145 familles C9orf72 (162 patients)**

Prélevés à l'UF de neurogénétique
Mais non prélevées pour la recherche!



Hôpitaux Universitaires La Pitié-Salpêtrière – Charles Foix
4783 bd de l'Hôpital
75653 Paris Cedex 13

Consultation de Génétique
Tél : 01 42 16 13 46 / Fax : 01 42 16 13 64
Centre de Génétique Moléculaire et Chromosomique
Tél : 01 42 17 76 47 / Fax : 01 42 17 76 18

CONSENTEMENT POUR L'EXAMEN DES CARACTÉRISTIQUES GÉNÉTIQUES À DES FINS MÉDICALES

Loi N°2004-800 du 6 août 2004- Code de la santé publique
(établi en 3 exemplaires : 1 pour l'intéressé,
1 pour le laboratoire, 1 pour le dossier médical)

IDENTIFICATION DU PATIENT NOM : Prénom : NOM de jeune fille : Date de Naissance : <input type="checkbox"/> mineur <input type="checkbox"/> majeur	IDENTITE du(des) TITULAIRE(S) DE L'AUTORITÉ PARENTALE pour un MINEUR ou du TUTEUR LEGAL (mineur ou majeur)* Père (nom, prénom) : , né le Mère (nom, prénom) : , née le Autre (nom, prénom) : , né le Lien de parenté :
---	---

- Je(nous) soussigné(e)s certifie(ons) avoir reçu du Dr une information compréhensible concernant l'examen des caractéristiques génétiques à des fins médicales qui sera réalisé par des actes de cytogénétique et/ou génétique moléculaire (ci-après désignés par "analyse") à partir du(des) prélevement(s) effectué(s) chez moi / chez mon enfant mineur chez*, dans le cadre de :

A remplir par le médecin prescripteur (Senior obligatoire)
Contexte pathologique :

Cette analyse est effectuée dans le but de (une seule case à cocher) :

- rechercher une origine génétique à la maladie (diagnostic étiologique)
 proposer un diagnostic prédictif (gène/mutation :)
 rechercher une hétérozygotie pour une maladie récessive ou liée à l'X (gène/mutation :)
 Autre :

- Je(nous) donne(nons) mon(ont) consentement pour ce prélevement et cette analyse ; j'ai compris que cette analyse a pour but de déterminer si un (ou plusieurs) de mes gênes ou de mes chromosomes présente(n) une (ou plusieurs) anomalie(s) en rapport avec la pathologie citée ci-dessus. Conformément aux articles R1131-4 et R1131-5 du Code de la santé publique, je reconnais avoir reçu l'ensemble des informations permettant la compréhension de cette analyse et sa finalité. J'ai eu la possibilité de poser toutes les questions que je souhaitais et je pourrai obtenir toute information complémentaire auprès du médecin désigné ci-dessus.

- Je peux à tout moment décider de ne pas poursuivre cette démarche. Les données génétiques et le matériel biologique me concernant pourront être détruits à ma demande. Dans ce cas, j'en informerai par écrit le médecin désigné ci-dessus. Cette décision ne modifiera en rien ma prise en charge médicale.

- Les résultats de cette analyse, commentés et signés par un praticien responsable agréé conformément à l'article R1131-19 du code de la santé publique, me seront transmis par le médecin prescripteur au cours d'une consultation. Ils resteront confidentiels et ne pourront être communiqués qu'au(s) médecin(s) que je désignerai.

- Au cas où cette analyse pourrait révéler d'autres affections que celle recherchée, je n'en serai informé(e) que si cela comporte un bénéfice direct pour moi, en l'état actuel des connaissances à ce jour.

- J'ai compris que les résultats de l'analyse pourront amener à préconiser un bilan au sein de ma famille, et que les modalités d'information de la famille devront être précisées à l'issue de la consultation de rendu de résultat (Article L.1131-1 du code de la santé publique).

- J'accepte que mes résultats soient utilisés pour faciliter la réalisation de tests génétiques chez les membres de ma famille qui en feraient la demande. Si vous refusez, cochez ici : NON

- J'accepte que mes échantillons biologiques soient conservés et utilisés à des fins de recherche médicale, dans le cadre de ma pathologie, de même que la saisie de données médicales anonymisées, dans les conditions fixées par la loi. Si vous refusez, cochez ici : NON

Fait à le

Signature du patient/ des titulaires de l'autorité parentale/ du tuteur *

* Rayer la(s) mention(s) inutile(s)

Signature du médecin (Senior obligatoire)

ATTESTATION DU MEDECIN PRESCRIPTEUR (Senior obligatoire)

Je soussigné(e) Docteur en Médecine, certifie avoir informé le(s) personne(s) sus-nommée(s) des caractéristiques de la maladie recherchée, des moyens de la détecter, du degré de fiabilité des analyses, des possibilités de prévention et de traitement, des modalités de transmission génétique et leurs possibles conséquences chez d'autres membres de sa famille et avoir recueilli son(eur) consentement dans les conditions du code de la santé publique (articles n°R1131-4 et 5) et de l'article 16-10 du Code Civil.
Signature :

UMR_S 1127, ICM, Paris

Mathieu Barbier
Daisy Rinaldi
Agnès Camuzat
Dario Saracino
Vincent Anquetil
Clémence Fournier
Morwena Latouche

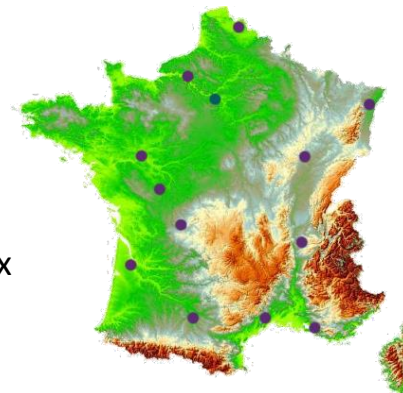


UF de Neurogénétique Moléculaire et Cellulaire, Paris

Eric Le Guern, Fabienne Clot, Cécile
Cazeneuve

French clinical & genetic research network on FTD/FTD-ALS

- Amiens
- Angers
- Bordeaux
- Dijon
- Lille
- Limoges
- Lyon / St Etienne / Grenoble
- Nantes



- Paris
- Marseille
- Montpellier
- Poitiers
- Rennes/St Brieuc
- Rouen
- Strasbourg/Colmar
- Toulouse
- Guadeloupe

Do neurodevelopmental genetic factors impact differential trajectory towards PPA in *GRN* disease?

Developmental dyslexia

DYX1C1/EKN1^{1,2}
*ROBO1*²
CYP19A1
CTNND2
DCDC2
DCDC2^{1,2}, *KIAA0319*², *TTRAP*, *THEM2*
C2ORF3/GCF2
MRLP19
CNTNAP5
FAM17A
NRSNR1
FRM1, *CEP63*, *NCAN*
CNT etc.

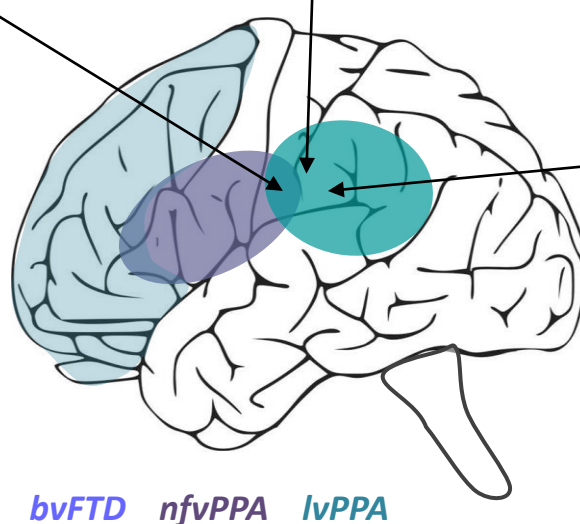
Developmental dyspraxia of speech/dysphasia

*FOXP2*³
CNTNAP2
GRIN2B
ATP2C2
CMIP
CNKS2 etc.

Reading and language skills

(Gialluisi et al., 2014)

*RBFFOX2*³
*CCDC136/FLNC*³
DOCK4
GTF21
SLC2A3
ATP2C2
CMIP
PCNT
PRMT2
DIP2A
S100B



Exploratory study

GRN-lv&nfvPPA / GRN-bvFTD
lvPPA AD / amnestic AD

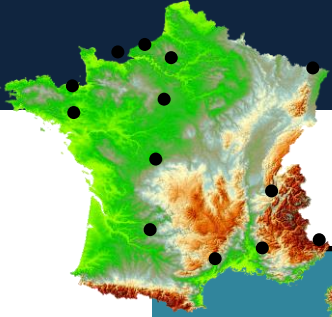
¹ Cortical thickness

² Brain development, neuronal migration, axonal guidance

³ Important splicing regulator in neurons

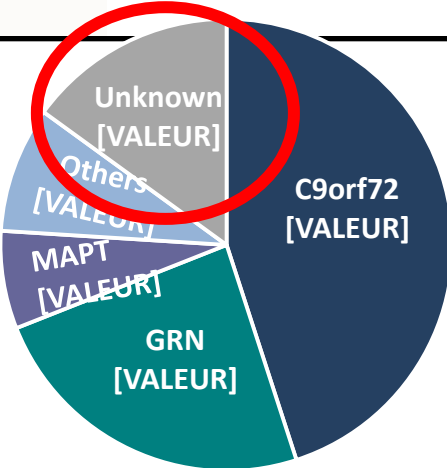
Eicher et al., 2016, Mascheretti et al., 2017

Les cohortes DFT et DFT/SLA nationales



Cohorte DFT nationale

	Cohorte globale	DFT comportemental	DFT-SLA	APP	PSP	SCB
Proposants, n=	1502	902	240	108	207	45
Cas familiaux, n=	550	310	138	43	48*	11*



'Cohorte génétique'

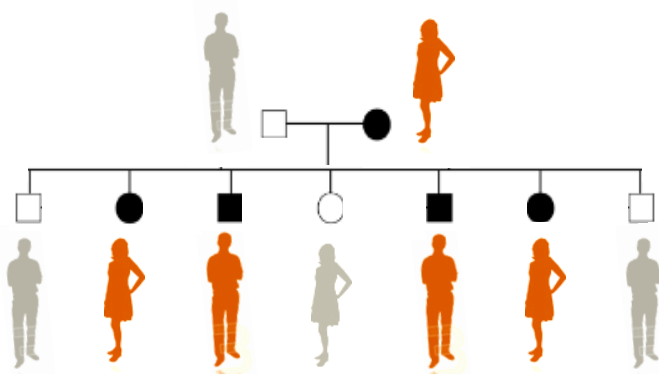
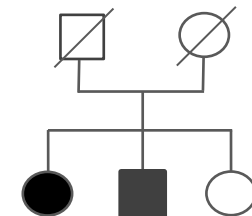
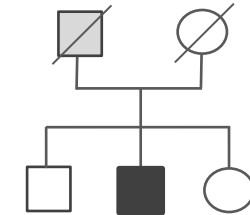
250 familles C9ORF72
130 familles GRN
39 familles MAPT

50 familles avec mutations plus rares
(12 VCP, 5 TARDBP, 5 TBK1, 5 SQSTM1 etc)

Les cohortes DFT et DFT/SLA nationales

Environ 50 familles non expliquées

- 20 familles PSP,
- 30 familles DFT
- Petites familles/ penetrance incomplete
- Forte hétérogénéité clinique & génétique
- Formes génétiques rares 1-3%
- Taille des cohortes ‘familles’ insuffisante



Ségrégation familiale



Cohortes de patients

Caractéristiques de la population C9orf72 (PrevDemAls)

JAMA Neurology | Original Investigation

Early Cognitive, Structural, and Microstructural Changes in Presymptomatic C9orf72 Carriers Younger Than 40 Years

Anne Bertrand, MD, PhD; Junhao Wan, MS; Daley Rinaldi, PhD; Marion Houot, MS; Sabrina Sayah, MS; Agnès Camuzat, PhD; Clémence Fourrier, PhD; Sabrina Fontanella, MS; Alexandre Routier, MS; Philippe Couratier, MD; Florence Pasquier, MD, PhD; Marie-Cécile Habert, MD; Didier Hennequin, MD, PhD; Olivier Martinaud, MD, PhD; Paola Caroppo, MD, PhD; Richard Levy, MD, PhD; Bruno Dubois, MD; Alexis Brice, MD; Stanley Durnian, PhD; Olivier Collot, PhD; Isabelle La Bar, MD, PhD;
for the Predict to Prevent Frontotemporal Lobar Degeneration and Amyotrophic Lateral Sclerosis (PREV-DEMALS) Study Group

A. Bertrand

- 1) Efficience cognitive globale : MMSE, MDRS
- 2) Fonctions exécutives : FAB, Wisconsin, TMT
- 3) Cognition sociale (SEA), Fx pas, reconnaissance des emotions (Eckman)
- 4) Mémoire : FCRT, test des portes
- 5) Fluences catégorielles et phonémiques,
dénomination (Boston naming test), app. semantiques mots
- 6) Gnosies visuelles : appariement sémantiques images
- 7) Praxies (Peigneux et Van der Linden, 2000)
- 8) Visuospatial : figure de Benson, cubes VOSP

Behavioral & psychiatric scales

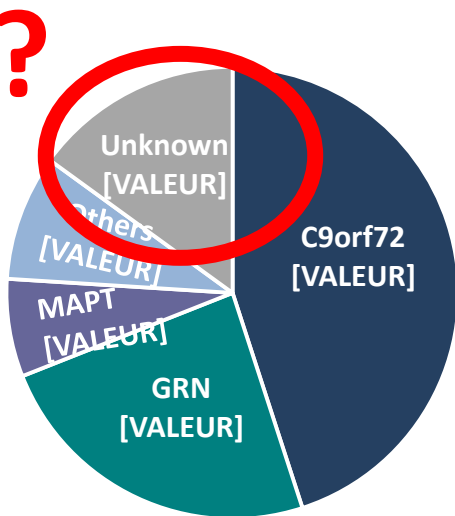
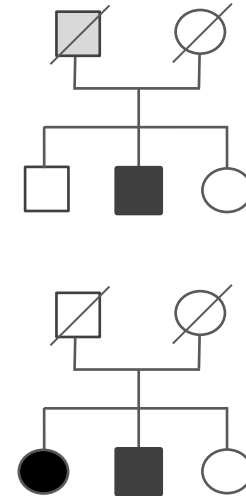
- 1) EDF (Echelle de dysfonctionnement frontal)
- 2) Frontal Behavioral Inventory (FBI)
- 3) FTD Rating Scale
- 4) Neuro Psychiatry Inventory (NPI)
- 5) ±DIGS, PSAS/SANS, Y-BOCS
- 6) Anxiété et dépression (BDI-II, STAI-Y)

	c9-	c9+	p value
Total number	39	41	
including subjects < 40-year-old	16	22	
Age (years)	45.2 ± 13.9	39.8 ± 11.1	0.084
Female gender	24 (61.5%)	24 (58.5%)	0.784
Familial phenotype: FLTD/ALS/mixed/N.A.	15/2/21/1	18/3/20/0	0.771
Expected years to onset		-19.3 ± 11.2	
Neuropsychological scores			
MMSE score (30)	28.8 ± 1.5	28.6 ± 1.3	0.338
MDRS score* (144)	141.5 ± 3.2	141.4 ± 2.6	0.538
FAB score (18)	16.8 ± 1.4	17.1 ± 0.9	0.392
Mini-SEA (30)	26.2 ± 4.7	25.6 ± 3.5	0.128
Praxis score:			
- finger dexterity (36)	35.5 ± 1.2	35.4 ± 1.2	0.571
- melokinetic apraxia (24)	23.2 ± 1.5	22.8 ± 2.3	0.373
- non-representational gestures (36)	35.7 ± 0.9	35.4 ± 1.2	0.157
- <i>intransitive gestures (36)</i>	35.7 ± 1.5	34.9 ± 1.6	0.004
- transitive gestures (36)	35.2 ± 2.0	34.9 ± 2.9	0.790

Les cohortes DFT et DFT/SLA nationales

Environ 50 familles non expliquées

- Petites familles/ penetrance incomplete
- Forte hétérogénéité clinique & génétique
- Formes génétiques rares, 1-3%
- Taille des cohortes ‘familles’ insuffisante

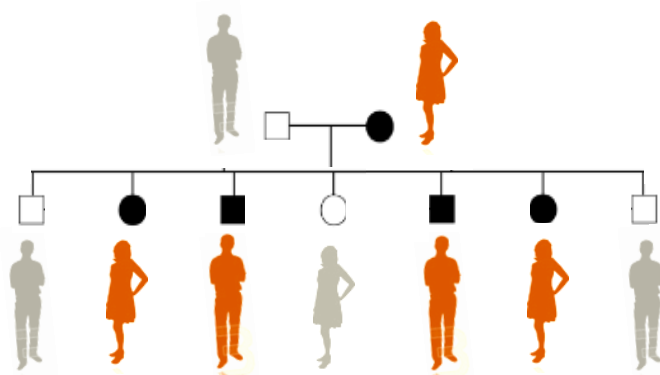
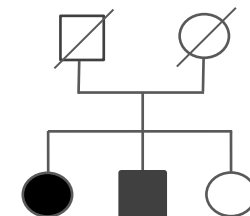
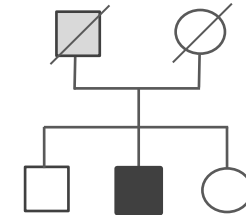


DFT & DFT-SLA familiales

Les cohortes DFT et DFT/SLA nationales

Environ 50 familles non expliquées

- Petites familles/ penetrance incomplete
- Forte hétérogénéité clinique & génétique
- Formes génétiques rares, 1-3%
- Taille des cohortes ‘familles’ insuffisante



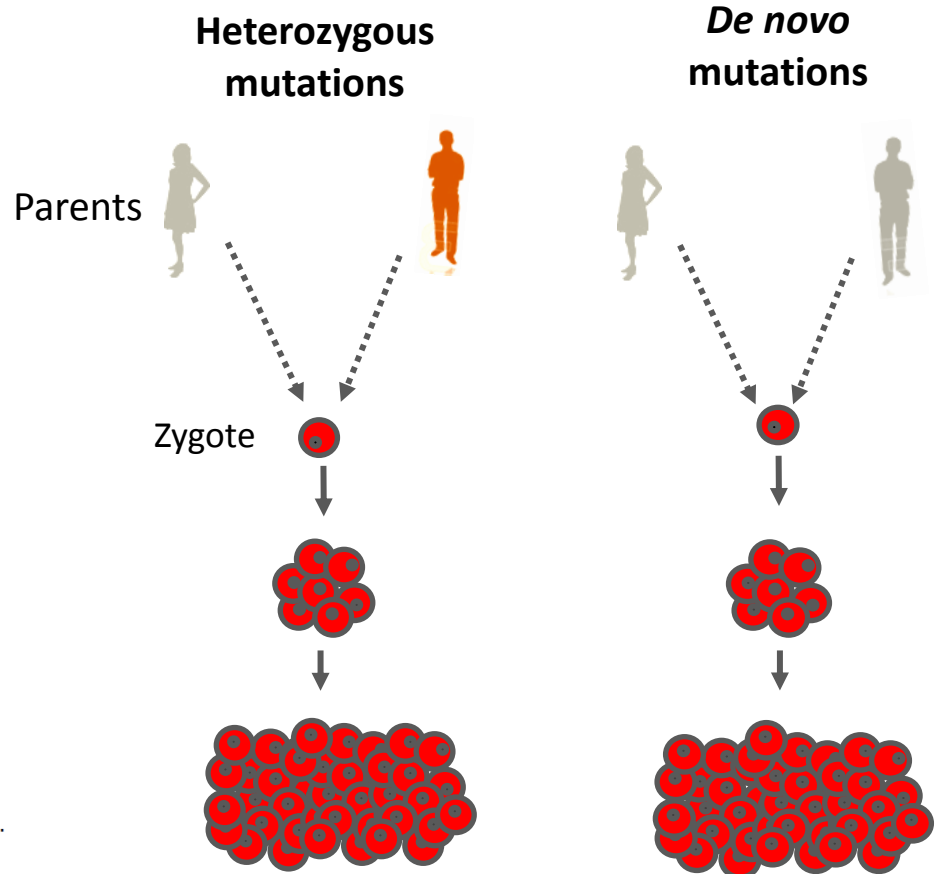
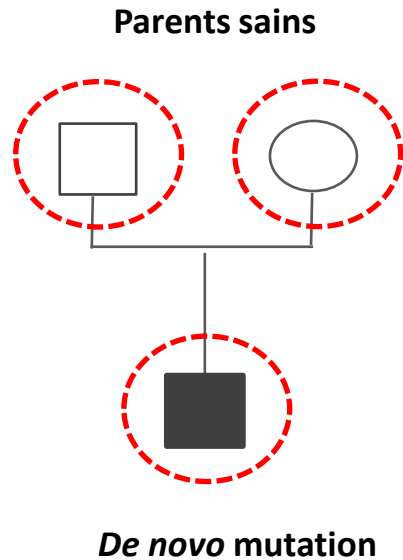
Ségrégation familiale



Cohortes de patients

Objectifs du réseau

Autres stratégies

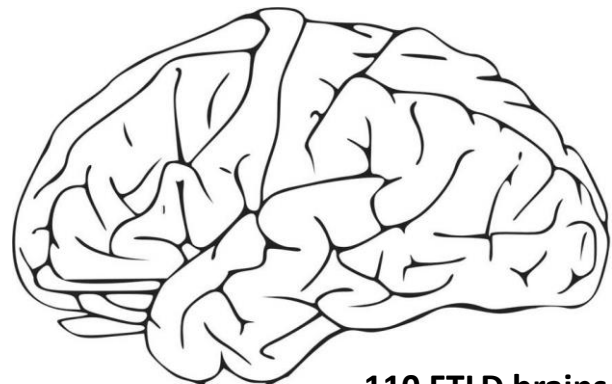
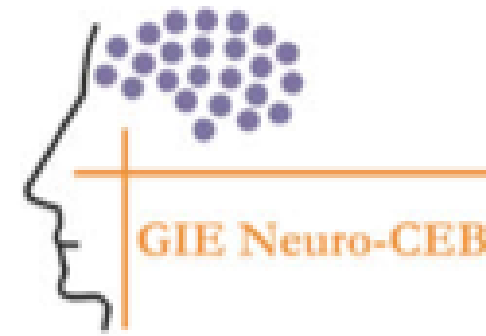
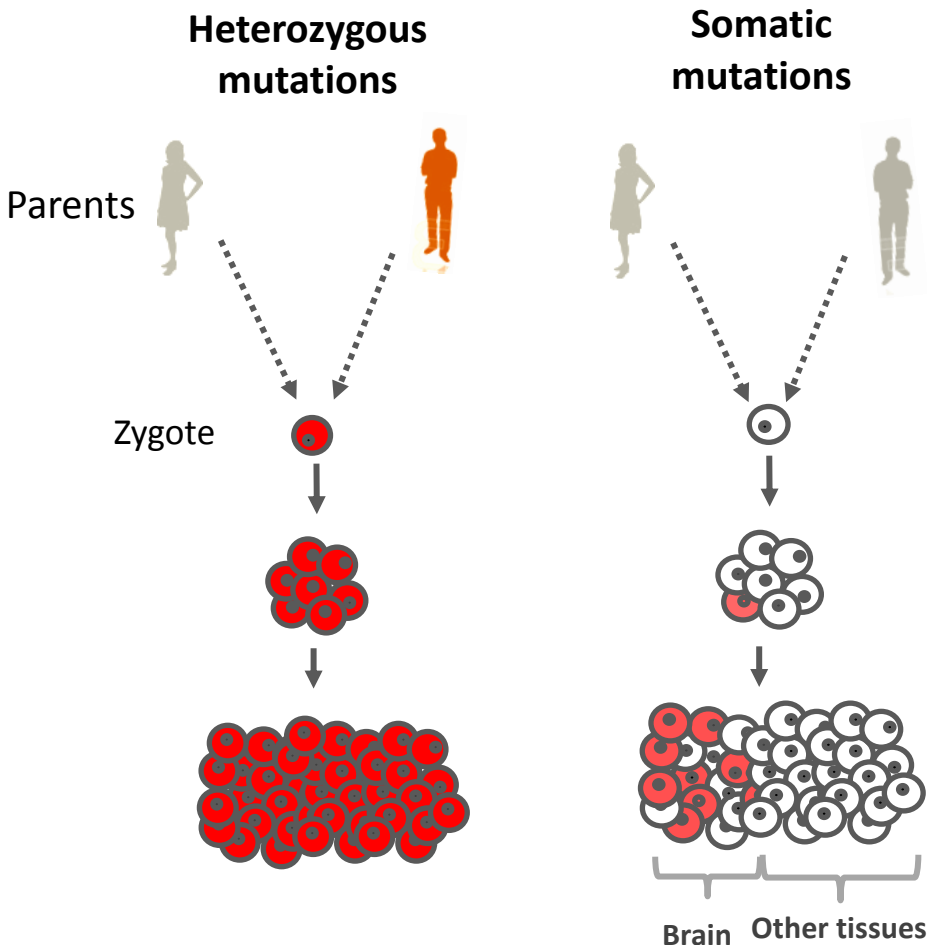


Nature. ; 485(7397): 237–241. doi:10.1038/nature10945.

***De novo* mutations revealed by whole exome sequencing are strongly associated with autism**

Stephan J. Sanders¹, Michael T. Murtha¹, Abha R. Gupta^{2,*}, John D. Murdoch^{1,*}, Melanie J. Raubeson^{1,*}, A. Jeremy Willsey^{1,*}, A. Gulhan Ercan-Sencicek^{1,*}, Nicholas M. DiLullo^{1,*}, Neelroop N. Parikhshak³, Jason L. Stein³, Michael F. Walker¹, Gordon T. Ober¹, Nicole A. Teran¹, Youeon Song¹, Paul El-Fishawy¹, Ryan C. Murtha¹, Murim Choi⁴, John D. Overton⁴, Robert D. Bjornson⁵, Nicholas J. Carriero⁵, Kyle A. Meyer⁶, Kaya Bilguvar⁷, Shrikant M. Mane⁸, Nenad Šestan⁶, Richard P. Lifton⁴, Murat Günel⁷, Kathryn Roeder⁹, Daniel H. Geschwind^{3,§}, Bernie Devlin^{10,§}, and Matthew W. State^{1,§}

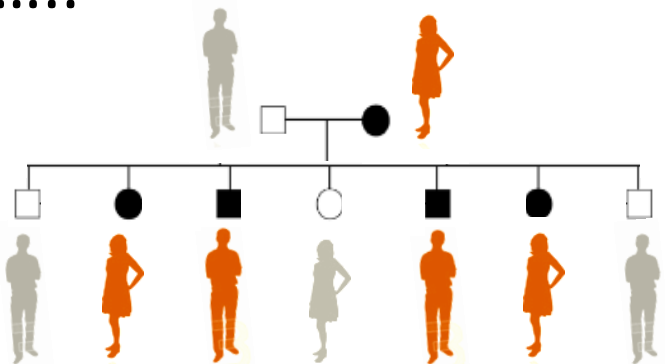
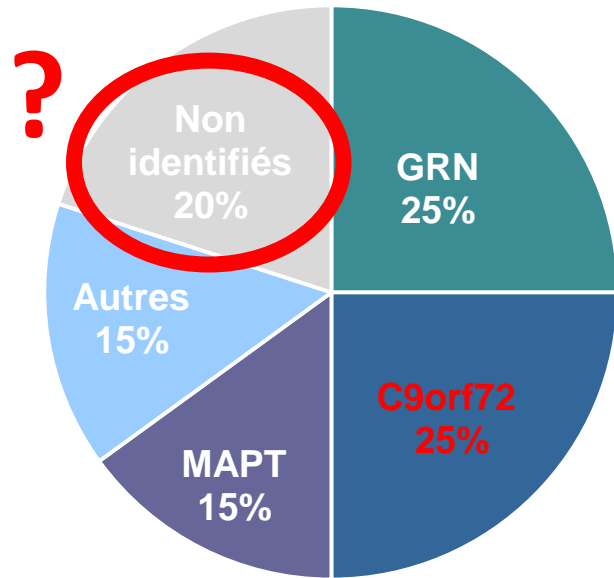
What else can we expect from genetic studies ?



110 FTLD brains

Objectifs du réseau

1. Identification de nouveaux gènes



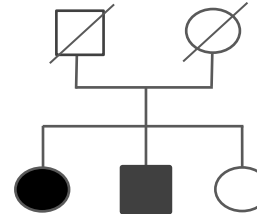
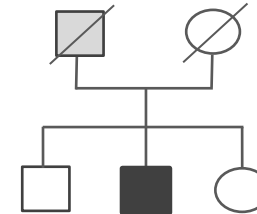
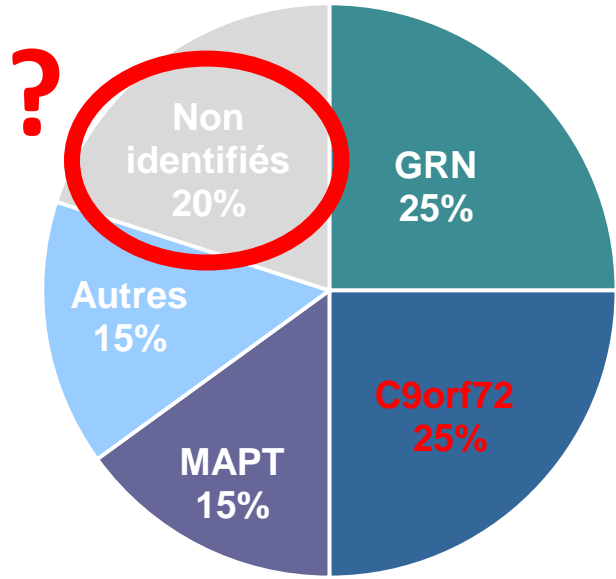
Ségrégation de la mutation
dans les familles



Cohortes de patients

Objectifs du réseau

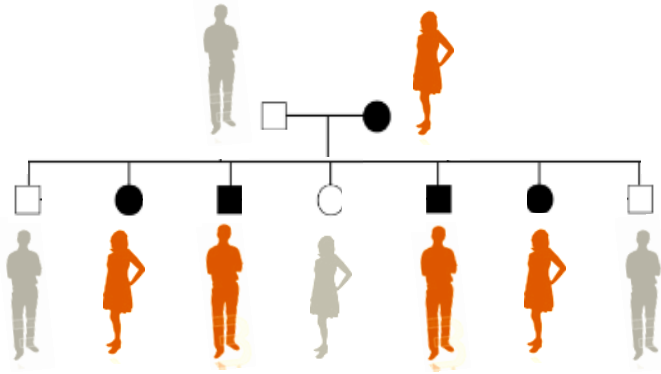
1. Identification de nouveaux gènes



Seulement ~ 50 familles non expliquées

- Petites familles/ penetrance incomplète
- Forte hétérogénéité clinique & génétique
- Formes génétiques rares, 1-3%
- Taille des cohortes insuffisante

Unravel FTLD genetic heterogeneity

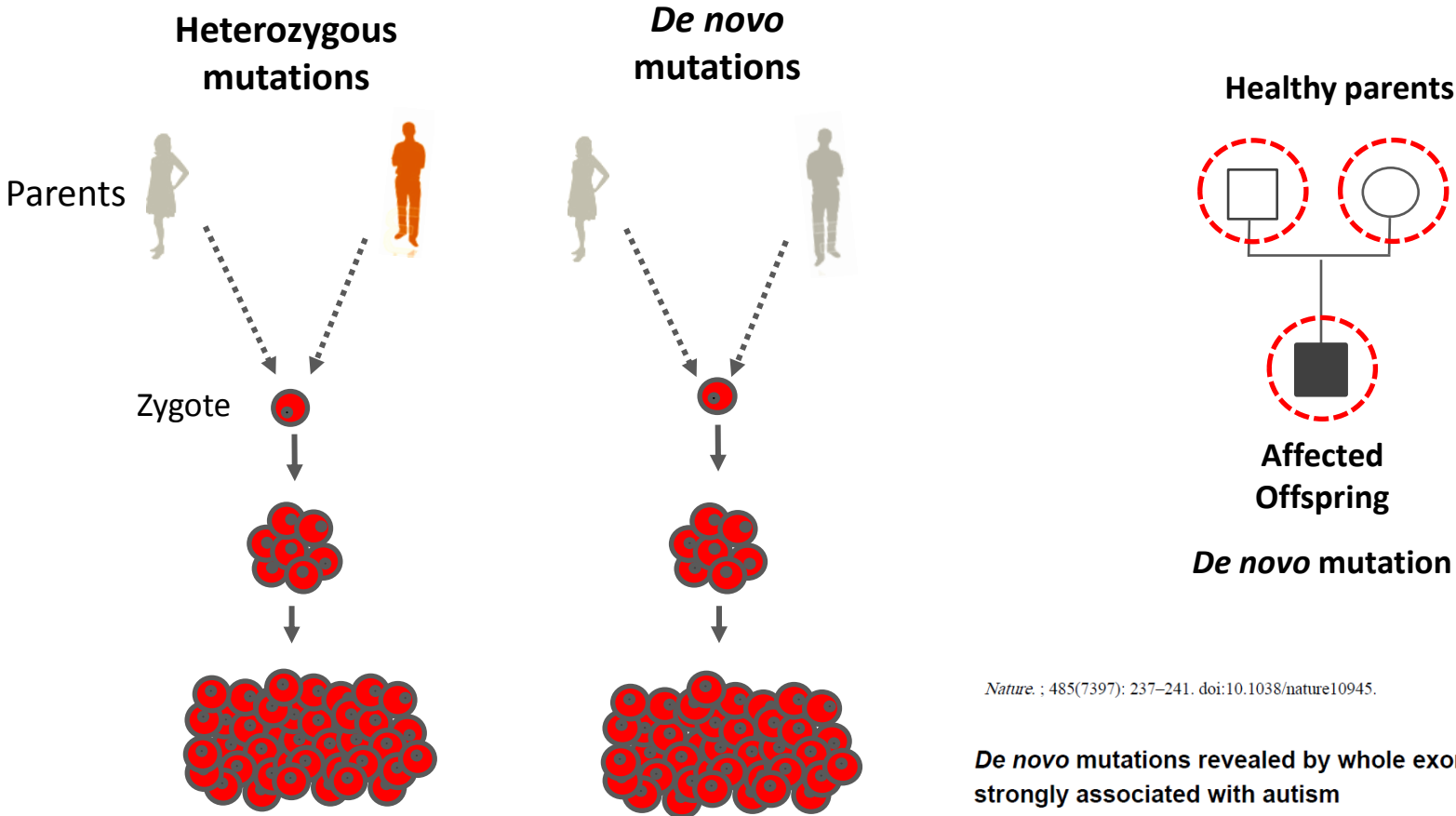


Familial segregation



Patients cohorts

What else can we expect from genetic studies ?



Nature ; 485(7397): 237–241. doi:10.1038/nature10945.

De novo mutations revealed by whole exome sequencing are strongly associated with autism

Stephan J. Sanders¹, Michael T. Murtha¹, Abha R. Gupta^{2,*}, John D. Murdoch^{1,*}, Melanie J. Raubeson^{1,*}, A. Jeremy Willsey^{1,*}, A. Gulhan Ercan-Sencicek^{1,*}, Nicholas M. DiLullo^{1,*}, Neelroop N. Parikhshak³, Jason L. Stein³, Michael F. Walker¹, Gordon T. Ober¹, Nicole A. Teran¹, Youeun Song¹, Paul El-Fishawy¹, Ryan C. Murtha¹, Murim Choi⁴, John D. Overton⁴, Robert D. Bjornson⁵, Nicholas J. Carriero⁵, Kyle A. Meyer⁶, Kaya Bilgavar⁷, Shrikant M. Mane⁸, Nenad Šestan⁶, Richard P. Lifton⁴, Murat Günel⁷, Kathryn Roeder⁹, Daniel H. Geschwind^{3,§}, Bernie Devlin^{10,§}, and Matthew W. State^{1,§}

What else can we expect from genetic studies ?

nature
neuroscience

Exome sequencing to identify *de novo* mutations in sporadic ALS trios

Alessandra Chesi¹, Brett T Staahl², Ana Jovičić¹, Julien Couthouis¹, Maria Fasolino³, Alya R Raphael¹, Tomohiro Yamazaki⁴, Laura Elias², Meraida Polak⁵, Crystal Kelly⁶, Kelly L Williams^{6–8}, Jennifer A Fifita^{6,8}, Nicholas J Maragakis⁹, Garth A Nicholson^{6,7}, Oliver D King¹⁰, Robin Reed⁴, Gerald R Crabtree², Ian P Blair^{6–8}, Jonathan D Glass⁵ & Aaron D Gitler¹

25 previously unknown *de novo* variants

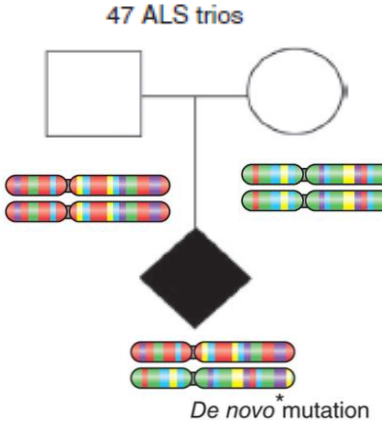
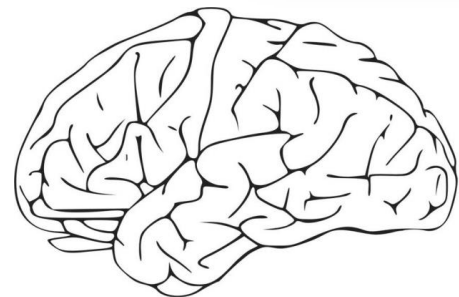
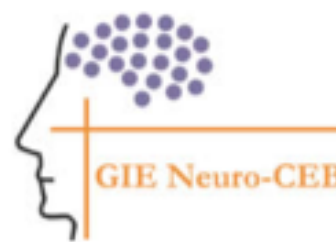
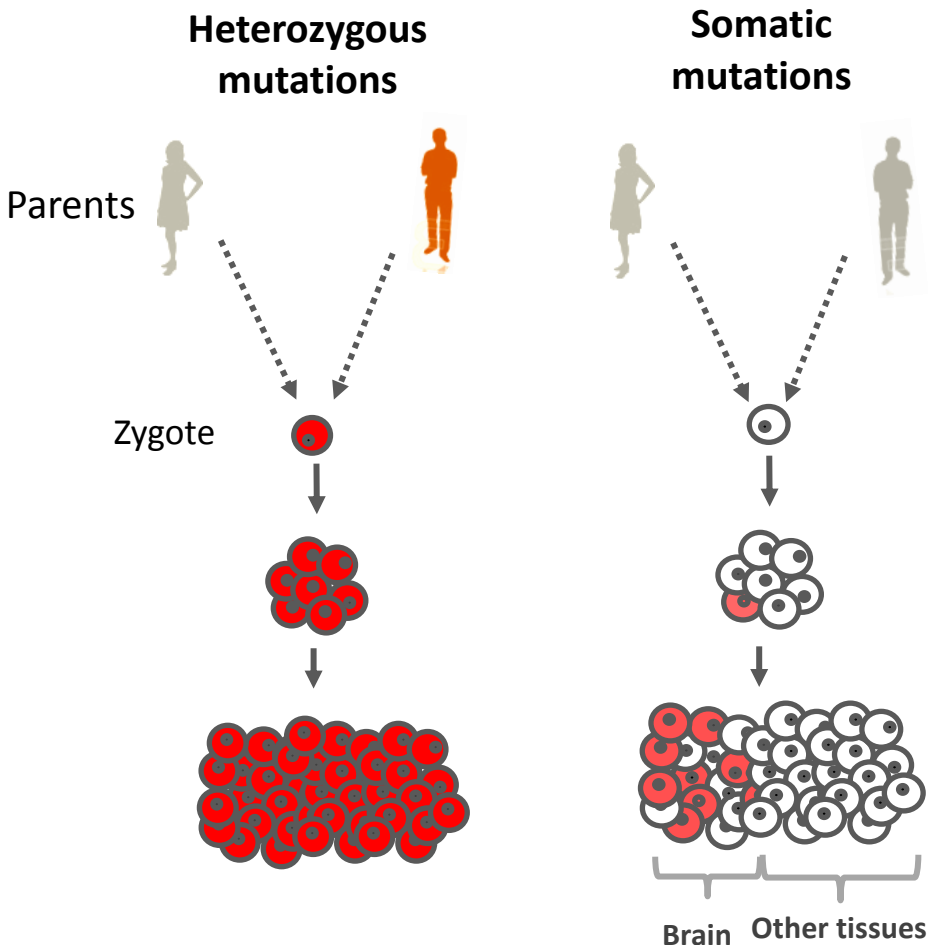


Table 1 List of amino acid-altering *de novo* variants identified in 47 ALS trios

Trio #	Genomic coordinates (hg19)	Nucleotide change	Gene	Description	Amino acid change
19	chr1:26672011	C/A	AIM1L	Absent in melanoma 1-like protein	Gly380Trp
44	chr3:138219345	T/G	CEP70	Centrosomal protein 70 kDa	Asp478Ala
3	chr11:62677899	A/G	CHRM1	Cholinergic receptor, muscarinic	Leu225Pro
37	chr16:5855162	A/G	CNOT1	CCR4-NOT transcription complex, subunit 1	Phe232Ser
12	chr6:70672763	G/C	COL19A1	Collagen, type XIX, alpha 1	Splicing
33	chr5:122909210	A/-	CSNK1G3	Casein kinase	Frameshift indel
37	chr9:140611221	G/A	EHMT1	Euchromatic histone-lysine N-methyltransferase	Ala77Thr
23	chr19:18561734	G/A	ELL	Elongation factor RNA polymerase II	Arg340Trp
18	chr14:38061661	GCTCAGCCCGTACCC ATGGCCGTAC/-	FOXA1	Transcriptional activator of the forkhead class of DNA-binding proteins	Non-frameshift indel
20	chr7:4800826	G/A	FOXK1	Transcriptional activator of the forkhead class of DNA-binding proteins	Val610Met
33	chr14:105518381	C/G	GPR132	G protein-coupled receptor	Lys31Asn
23	chr22:50688552	C/T	HDAC10	Histone deacetylase	Gly110Glu
23	chr16:22826121	C/A	HS3ST2	Heparan sulfate (glucosamine) 3-O-sulfotransferase	Gln64Lys
50	chr6:17850560	C/G	KIF13A	Kinesin family member	Gln237His
3	chr11:132016267	C/T	NTM	Immunoglobulin domain-containing GPI-anchored cell adhesion molecule	Arg87Cys
48	chr15:65157668	C/G	PLEKH02	Pleckstrin homology domain-containing protein	Pro302Ala
44	chr8:10466776	C/T	RP1L1	Retinitis pigmentosa 1-like 1	Arg1611Gln
35	chr16:30740326	G/-	SCAP	ATPase component of the chromatin-remodeling SRCAP complex	Frameshift indel
43	chr20:60749698	C/T	SS18L1	Synovial sarcoma translocation gene on chromosome 18-like 1, component of neuron-specific nBAF chromatin remodeling complex	Gln388Stop
41	chr13:33703370	G/T	STARD13	StAR-related lipid transfer (START) domain containing protein	Leu364Ile
8	chr17:30202275	G/C	UTP6	Small subunit (SSU) processome component	Ala428Gly
29	chr10:75865064	C/T	VCL	Cytoskeletal protein associated with cell-cell and cell-matrix junctions	Pro796Leu
26	chr4:10117848	G/C	WDR1	WD repeat-containing protein	Phe9Leu
1	chr14:74371655	A/G	ZNF410	Zinc finger protein	Tyr278Cys
43	chr16:89294680	G/A	ZNF778	Zinc finger protein	Glu662Lys

What else can we expect from genetic studies ?



110 FTLD brains

**CONSENTEMENT POUR L'EXAMEN DES CARACTÉRISTIQUES
GÉNÉTIQUES À DES FINS MÉDICALES**

Loi N°2004-800 du 6 août 2004- Code de la santé publique

(établi en 3 exemplaires : 1 pour l'intéressé,
1 pour le laboratoire, 1 pour le dossier médical)

IDENTIFICATION DU PATIENT NOM : Prénom : NOM de jeune fille : Date de Naissance : <input type="checkbox"/> mineur <input type="checkbox"/> majeur	IDENTITÉ du(des) TITULAIRE(S) de L'AUTORITÉ PARENTALE pour un MINEUR ou du TUTEUR LEGAL (mineur ou majeur)* Père (nom, prénom) , né le Mère (nom, prénom) , née le Autre (nom, prénom) , né le Lien de parenté :
---	---

- Je(nous) soussigné(e)(s) certifie(certifions) avoir reçu du Dr une information compréhensible concernant l'examen des caractéristiques génétiques à des fins médicales qui sera réalisé par des actes de cytogénétique et/ou génétique moléculaire (ci-après désignés par "analyse") à partir du(des) prélevement(s) effectué(s) chez moi / chez mon enfant mineur/ chez * dans le cadre de :

A remplir par le médecin prescripteur (Senior obligatoire)

Contexte pathologique :

Cette analyse est effectuée dans le but de (une seule case à cocher) :

- rechercher une origine génétique à la maladie (diagnostic étiologique)
 proposer un diagnostic prédictif (gène/mutation :)
 rechercher une hétérozygotie pour une maladie récessive ou liée à l'X (gène/mutation :)
 Autre :

- Je(nous) donne(domons) mon(notre) consentement pour ce prélèvement et cette analyse ; j'ai compris que cette analyse a pour but de déterminer si un (ou plusieurs) de mes gènes ou de mes chromosomes présente(nt) une (ou plusieurs) anomalie(s) en rapport avec la pathologie citée ci-dessus. Conformément aux articles R1131-4 et R1131-5 du Code de la santé publique, je reconnais avoir reçu l'ensemble des informations permettant la compréhension de cette analyse et sa finalité. J'ai eu la possibilité de poser toutes les questions que je souhaitais et je pourrai obtenir toute information complémentaire auprès du médecin désigné ci-dessus.

- Je peux à tout moment décider de ne pas poursuivre cette démarche. Les données génétiques et le matériel biologique me concernant pourront être détruits à ma demande. Dans ce cas, j'en informerai par écrit le médecin désigné ci-dessus. Cette décision ne modifiera en rien ma prise en charge médicale.
- Les résultats de cette analyse, commentés et signés par un praticien responsable agréé conformément à l'article R1131-19 du code de la santé publique, me seront transmis par le médecin prescripteur au cours d'une consultation. Ils resteront confidentiels et ne pourront être communiqués qu'au(x) médecin(s) que je désignerai.
- Au cas où cette analyse pourrait révéler d'autres affections que celle recherchée, je n'en serai informé(e) que si cela comporte un bénéfice direct pour moi, en l'état actuel des connaissances à ce jour.
- J'ai compris que les résultats de l'analyse pourront amener à préconiser un bilan au sein de ma famille, et que les modalités d'information de la famille devront être précisées à l'issue de la consultation de rendu de résultat (Article L1131-1 du code de la santé publique).
- J'accepte que mes résultats soient utilisés pour faciliter la réalisation de tests génétiques chez les membres de ma famille qui en feraient la demande.

Si vous refusez, cochez ici : NON

- J'accepte que mes échantillons biologiques soient conservés et utilisés à des fins de recherche médicale, dans le cadre de ma pathologie, de même que la saisie de données médicales anonymisées, dans les conditions fixées par la loi.
Si vous refusez, cochez ici : NON

Fait à , le

Signature du patient/ des titulaires de l'autorité parentale/ du tuteur *

* Rayer la(s) mention(s) inutile(s)

Signature du médecin (Senior obligatoire)

ATTESTATION DU MEDECIN PRESCRIPTEUR (Senior obligatoire)

Je soussigné (e) Docteur en Médecine, certifie avoir informé le(s) personne(s) sus-nommé(e)s des caractéristiques de la maladie recherchée, des moyens de la détecter, du degré de fiabilité des analyses, des possibilités de prévention et de traitement, des modalités de transmission génétique et leurs possibles conséquences chez d'autres membres de sa famille et avoir recueilli son(leur) consentement dans les conditions du code de la santé publique (articles n°R1131-4 et 5) et de l'article 16-10 du Code Civil.

Signature :

Cachet :

Network degeneration and dysfunction in presymptomatic C9ORF72 expansion carriers



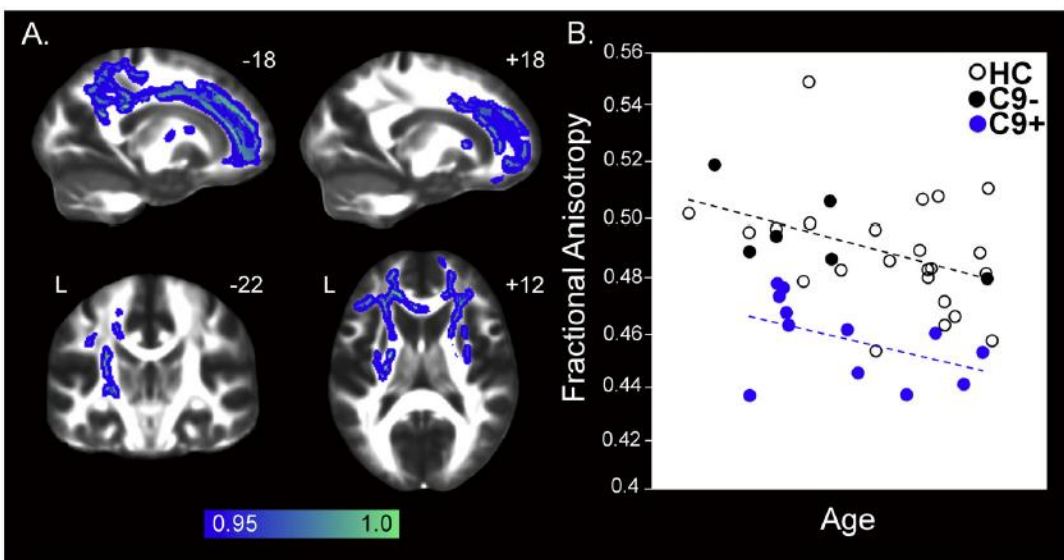
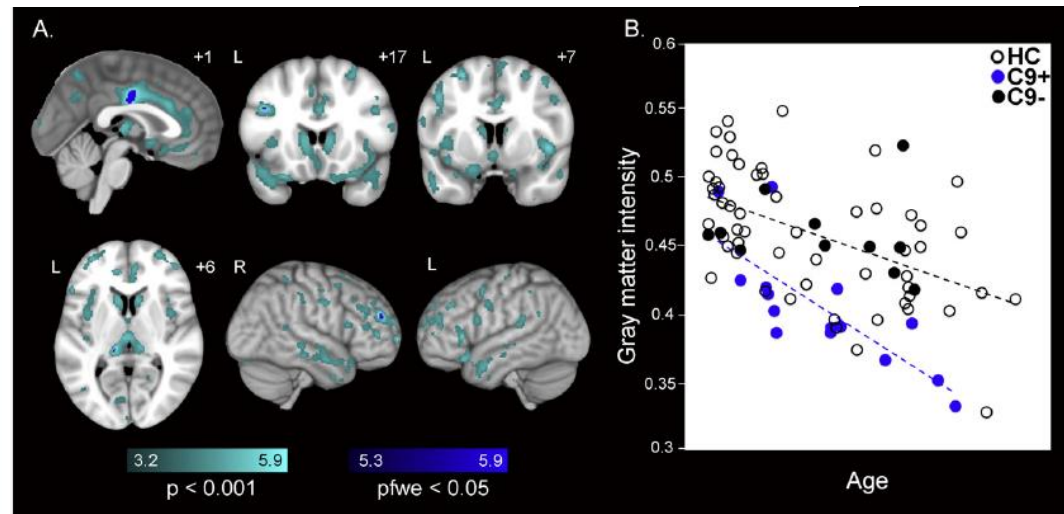
Suzee E. Lee^{a,*}, Ana C. Sias^a, Maria Luisa Mandelli^a, Jesse A. Brown^a, Alainna B. Brown^a, Anna M. Khazenzon^{a,b}, Anna A. Vidovszky^a, Theodore P. Zanto^c, Anna M. Karydas^a, Mochtar Pribadi^d, Deepika Dokuru^d, Giovanni Coppola^d, Dan H. Geschwind^d, Rosa Rademakers^e, Maria Luisa Gorno-Tempini^a, Howard J. Rosen^a, Bruce L. Miller^a, William W. Seeley^{a,f}

15 PS C9orf72+

Age moyen: 43.7 ans

Voxel-based morphometry

- Bilateral prefrontal cortex
- Gyrus cingulaire post
- Thalamus (pulvinar)



DTI

Presymptomatic cognitive and neuroanatomical changes in genetic frontotemporal dementia in the Genetic Frontotemporal dementia Initiative (GENFI) study: a cross-sectional analysis

Jonathan D Rohrer, Jennifer M Nicholas, David M Cash, John van Swieten, Elise Dopper, Lize Jiskoot, Rick van Minkelen, Serge A Rombouts, M Jorge Cardoso, Shona Clegg, Miklos Espak, Simon Mead, David L Thomas, Enrico DeVita, Mario Masellis, Sandra E Black, Morris Freedman, Ron Keren, Bradley J Madintosh, Ekaterina Rogaeva, David Tang-Wai, Maria Carmela Tartaglia, Robert Laforce Jr, Fabrizio Tagliavini, Pietro Tiraboschi, Veronica Redaelli, Sara Prioni, Marina Grisoli, Barbara Borroni, Alessandro Padovani, Daniela Galimberti, Elisa Scarpini, Andrea Arighi, Giorgio Fumagalli, James B Rowe, Ian Coyle-Gilchrist, Caroline Graff, Marie Fallström, Vesna Jelic, Anne Kinhult Ståhlbom, Christin Andersson, Håkan Thörberg, Lena Lilius, Giovanni B Frisoni, Giuliano Binetti, Michela Pievan, Martina Bocchetta, Luisa Benussi, Roberta Ghidoni, Elizabeth Finger, Sandro Sorbi, Benedetta Nacmias, Gemma Lombardi, Cristina Polito, Jason D Warren, Sébastien Ourselin, Nick C Fox, Martin N Rossor

**118 PS (MAPT, C9orf72, GRN)
49.2 ans (AAO 53.3)**

	Non-carriers (n=102)	Mutation carriers (n=118)
Male	60 (59%)	57 (48%)
Mutated gene		
MAPT	18 (18%)	26 (22%)
GRN	60 (59%)	58 (49%)
C9orf72	24 (24%)	34 (29%)
Clinical status		
Asymptomatic	102 (100%)	78 (66%)
Symptomatic	0	40 (34%)
Right-handed	94 (92%)	106 (90%)
Age (years)	49.2 (36.3-61.7)	53.3 (41.4-62.7)
Education (years)	13 (11-16)	13 (10-16)
Years from expected onset		
-20 or longer	32 (31%)	21 (18%)
-20 up to -10	18 (18%)	21 (18%)
-10 up to 0	23 (23%)	24 (20%)
0 and beyond expected onset	29 (28%)	52 (44%)
Data are n (%) or median (IQR).		
Table 1: Characteristics of study participants		

	-25 years	-20 years	-15 years	-10 years	-5 years	0 years	5 years	10 years
Behavioural								
Cambridge Behavioural Inventory—Revised (/180)								
Non-carriers	1.9	4.6	7.6	10.6	13.2	14.9	15.4	14.2
Carriers	0.2	4.3	9.6	16.2	24.0	33.1	43.5	55.1
Difference	-1.7	-0.3	2.0	5.5	10.8	18.2	28.1	40.9
SE	2.8	2.2	2.7	4.0	4.9	5.3	5.8	8.7
pvalue	0.5611	0.8867	0.4748	0.1620	0.0269	0.0005	<0.0001	<0.0001
Cognitive								
Mini Mental State Examination (/30)								
Non-carriers	29.5	29.2	28.9	28.6	28.4	28.3	28.3	28.2
Carriers	30.3	29.6	28.8	28.0	27.1	26.1	25.0	23.9
Difference	0.7	0.4	<0.1	-0.6	-1.4	-2.2	-3.2	-4.4
SE	0.3	0.3	0.3	0.4	0.5	0.7	0.9	1.3
pvalue	0.0221	0.1683	0.9303	0.0922	0.0045	0.0008	0.0006	0.0007
Neuropsychological (Z score)								
Logical Memory—Immediate Recall								
Non-carriers	0.4	0.2	0.1	<0.1	-0.1	-0.2	-0.3	-0.4
Carriers	0.4	0.3	0.1	-0.1	-0.4	-0.8	-13	-1.9
Difference	<0.1	0.1	<0.1	-0.1	-0.3	-0.6	-1.0	-1.5
SE	0.2	0.2	0.2	0.2	0.2	0.2	0.3	0.3
pvalue	0.8948	0.7183	0.8779	0.6136	0.0863	0.0005	<0.0001	<0.0001
Logical Memory—Delayed Recall								
Non-carriers	0.3	0.2	0.1	<0.1	-0.1	-0.2	-0.3	-0.5
Carriers	0.2	0.2	<0.1	-0.2	-0.5	-0.9	-13	-1.8
Difference	-0.1	-0.1	-0.1	-0.3	-0.4	-0.7	-10	-1.4
SE	0.2	0.2	0.2	0.2	0.2	0.2	0.3	0.3
pvalue	0.6463	0.6767	0.4849	0.1696	0.0105	<0.0001	<0.0001	<0.0001
Digit Span forwards								
Non-carriers	0.1	0.1	0.1	<0.1	<0.1	-0.1	-0.1	-0.2
Carriers	0.5	0.3	0.1	-0.2	-0.4	-0.7	-10	-1.3
Difference	-0.3	0.2	<0.1	-0.2	-0.4	-0.7	-9	-1.1
SE	0.2	0.2	0.2	0.2	0.2	0.2	0.3	0.3
pvalue	0.1479	0.4366	0.9235	0.2847	0.0253	0.0005	0.0001	0.0003
Digit Span backwards								
Non-carriers	0.1	0.1	<0.1	<0.1	-0.1	-0.1	-0.2	-0.2
Carriers	0.1	<0.1	-0.2	-0.4	-0.6	-0.8	-11	-1.4
Difference	-0.1	-0.1	-0.2	-0.3	-0.5	-0.7	-9	-1.2
SE	0.2	0.2	0.2	0.2	0.2	0.2	0.3	0.3
pvalue	0.8098	0.5866	0.3136	0.0933	0.0079	0.0001	<0.0001	0.0001

(Table 2 continues on next page)

	-25 years	-20 years	-15 years	-10 years	-5 years	0 years	5 years	10 years
(Continued from previous page)								
Digit Symbol Task								
Non-carriers	0.8	0.7	0.5	0.3	0.1	-0.2	-0.4	-0.7
Carriers	0.8	0.6	0.3	<0.1	-0.4	-0.9	-14	-1.9
Difference	<0.1	-0.2	-0.2	-0.3	-0.5	-0.7	-0.9	-1.2
SE	0.2	0.2	0.2	0.2	0.2	0.2	0.2	0.3
pvalue	0.9036	0.7223	0.3033	0.0549	0.0017	<0.0001	<0.0001	<0.0001
Trail Making Test Part A								
Non-carriers	0.4	0.3	0.2	<0.1	-0.2	-0.4	-0.6	-0.8
Carriers	0.6	0.4	0.1	-0.2	-0.6	-10	-15	-20
Difference	0.2	0.1	-0.1	-0.2	-0.4	-0.6	-0.9	-1.2
SE	0.2	0.2	0.2	0.2	0.2	0.2	0.2	0.3
pvalue	0.4662	0.7470	0.7716	0.2832	0.0355	0.0012	0.0002	0.0000
Trail Making Test Part B								
Non-carriers	0.6	0.4	0.3	0.2	<0.1	-0.2	-0.3	-0.5
Carriers	0.9	0.7	0.4	<0.1	-0.5	-10	-17	-25
Difference	0.3	0.2	0.1	-0.2	-0.5	-0.9	-14	-19
SE	0.2	0.2	0.2	0.2	0.2	0.2	0.2	0.3
pvalue	0.1730	0.2639	0.7317	0.3799	0.0072	<0.0001	<0.0001	<0.0001
Letter Fluency								
Non-carriers	0.1	-0.1	-0.2	-0.3	-0.4	-0.5	-0.6	-0.6
Carriers	0.2	0.2	<0.1	-0.3	-0.6	-11	-17	-24
Difference	-0.1	0.2	0.1	-0.1	-0.2	-0.6	-11	-18
SE	0.2	0.2	0.2	0.2	0.2	0.2	0.2	0.3
pvalue	0.6629	0.3280	0.3592	0.7952	0.2746	0.0015	<0.0001	<0.0001
Category Fluency								
Non-carriers	0.5	0.4	0.2	0.1	-0.1	-0.3	-0.4	-0.6
Carriers	0.6	0.5	0.3	<0.1	-0.4	-0.8	-13	-20
Difference	0.1	0.1	0.1	-0.1	-0.3	-0.5	-0.9	-14
SE	0.2	0.2	0.2	0.2	0.2	0.2	0.2	0.3
pvalue	0.6632	0.4945	0.6544	0.7932	0.1226	0.0007	<0.0001	<0.0001
Boston Naming Test								
Non-carriers	<0.1	-0.1	-0.2	-0.3	-0.3	-0.3	-0.3	-0.3
Carriers	0.4	0.2	-0.2	-0.6	-10	-16	-22	-29
Difference	0.4	0.3	0.1	-0.3	-0.7	-12	-19	-26
SE	0.3	0.3	0.3	0.3	0.3	0.2	0.3	0.4
pvalue	0.1763	0.2871	0.07965	0.3202	0.0047	<0.0001	<0.0001	<0.0001
Block Design								
Non-carriers	0.4	0.3	0.2	<0.1	-0.2	-0.3	-0.5	-0.7
Carriers	0.7	0.5	0.2	-0.1	-0.5	-10	-14	-20
Difference	0.3	0.2	<0.1	-0.2	-0.4	-0.6	-0.9	-13
SE	0.2	0.2	0.2	0.2	0.2	0.2	0.2	0.3
pvalue	0.2220	0.3911	0.8839	0.4029	0.0284	0.0001	<0.0001	<0.0001

Presymptomatic cognitive and neuroanatomical changes in genetic frontotemporal dementia in the Genetic Frontotemporal dementia Initiative (GENFI) study: a cross-sectional analysis

Jonathan D Rohrer, Jennifer M Nicholas, David M Cash, John van Swieten, Elise Dopper, Lize Jiskoot, Rick van Minkelen, Serge A Rombouts, M Jorge Cardoso, Shona Clegg, Miklos Espak, Simon Mead, David L Thomas, Enrico DeVita, Mario Masellis, Sandra E Black, Morris Freedman, Ron Keren, Bradley J Madintosh, Ekaterina Rogaeva, David Tang-Wai, Maria Carmela Tartaglia, Robert Laforce Jr, Fabrizio Tagliavini, Pietro Tiraboschi, Veronica Redaelli, Sara Prioni, Marina Grisoli, Barbara Borroni, Alessandro Padovani, Daniela Galimberti, Elvio Scarpini, Andrea Arighi, Giorgio Fumagalli, James B Rowe, Ian Coyle-Gilchrist, Caroline Graff, Marie Fallström, Vesna Jelic, Anne Kinhult Ståhlbom, Christin Andersson, Håkan Thörberg, Lena Lilius, Giovanni B Frisoni, Giuliano Binetti, Michela Pievan, Martina Bocchetta, Luisa Benussi, Roberta Ghidoni, Elizabeth Finger, Sandro Sorbi, Benedetta Nacmias, Gemma Lombardi, Cristina Polito, Jason D Warren, Sébastien Ourselin, Nick C Fox, Martin N Rossor

118 PS (MAPT, C9orf72, GRN)
49.2 ans (AAO 53.3)

	Non-carriers (n=102)	Mutation carriers (n=118)
Male	60 (59%)	57 (48%)
Mutated gene		
MAPT	18 (18%)	26 (22%)
GRN	60 (59%)	58 (49%)
C9orf72	24 (24%)	34 (29%)
Clinical status		
Asymptomatic	102 (100%)	78 (66%)
Symptomatic	0	40 (34%)
Right-handed	94 (92%)	106 (90%)
Age (years)	49.2 (36.3-61.7)	53.3 (41.4-62.7)
Education (years)	13 (11-16)	13 (10-16)
Years from expected onset		
-20 or longer	32 (31%)	21 (18%)
-20 up to -10	18 (18%)	21 (18%)
-10 up to 0	23 (23%)	24 (20%)
0 and beyond expected onset	29 (28%)	52 (44%)
Data are n (%) or median (IQR).		

Table 1: Characteristics of study participants

	-25 years	-20 years	-15 years	-10 years	-5 years	0 years	5 years	10 years
Whole-brain volume (% of TIV)								
Whole brain								
Non-carriers	86.1%	84.8%	83.7%	82.6%	81.6%	80.7%	79.8%	79.0%
Carriers	87.0%	85.7%	84.0%	82.1%	79.8%	77.2%	74.3%	71.1%
Difference	0.9%	0.8%	0.3%	-0.5%	-1.8%	-3.5%	-5.5%	-8.0%
SE	0.9	0.8	0.8	0.8	0.7	0.7	0.9	1.2
pvalue	0.3184	0.3198	0.6738	0.5004	0.0157	<0.0001	<0.0001	<0.0001
Cortical volume (% of TIV)								
Frontal lobe								
Non-carriers	12.9%	12.7%	12.4%	12.2%	12.0%	11.8%	11.7%	11.5%
Carriers	13.1%	12.8%	12.4%	12.0%	11.5%	11.1%	10.5%	10.0%
Difference	0.2%	0.1%	<0.1%	-0.2%	-0.5%	-0.8%	-1.1%	-1.5%
SE	0.2	0.2	0.2	0.2	0.2	0.2	0.2	0.3
pvalue	0.3208	0.5261	0.8689	0.1766	0.0023	<0.0001	<0.0001	<0.0001
Temporal lobe								
Non-carriers	8.8%	8.6%	8.5%	8.3%	8.2%	8.1%	8.0%	7.9%
Carriers	8.7%	8.6%	8.4%	8.1%	7.9%	7.6%	7.3%	6.9%
Difference	<0.1%	<0.1%	-0.1%	-0.2%	-0.3%	-0.5%	-0.7%	1.0%
SE	0.1	0.1	0.1	0.1	0.1	0.1	0.1	0.2
pvalue	0.8944	0.7049	0.3287	0.0483	0.0005	<0.0001	<0.0001	<0.0001
Parietal lobe								
Non-carriers	7.1%	7.0%	6.8%	6.7%	6.6%	6.4%	6.4%	6.3%
Carriers	7.0%	6.9%	6.7%	6.6%	6.4%	6.2%	5.9%	5.6%
Difference	-0.1%	-0.1%	-0.1%	-0.1%	-0.2%	-0.3%	-0.5%	-0.6%
SE	0.1	0.1	0.1	0.1	0.1	0.1	0.1	0.2
pvalue	0.2818	0.4546	0.4800	0.2820	0.0510	0.0010	<0.0001	<0.0001
Occipital lobe								
Non-carriers	5.6%	5.6%	5.5%	5.4%	5.4%	5.3%	5.2%	5.1%
Carriers	5.6%	5.5%	5.5%	5.4%	5.3%	5.2%	5.0%	4.9%
Difference	-0.1%	-0.1%	<0.1%	-0.1%	-0.1%	-0.1%	-0.2%	-0.3%
SE	0.1	0.1	0.1	0.1	0.1	0.1	0.1	0.1
pvalue	0.4022	0.5072	0.5377	0.4311	0.2181	0.0554	0.0166	0.0175
Insula								
Non-carriers	0.86%	0.85%	0.85%	0.84%	0.83%	0.82%	0.80%	0.79%
Carriers	0.85%	0.84%	0.82%	0.80%	0.77%	0.74%	0.71%	0.67%
Difference	-0.01%	-0.02%	-0.03%	-0.04%	-0.05%	-0.07%	-0.10%	-0.12%
SE	0.02	0.02	0.02	0.02	0.02	0.01	0.02	0.02
pvalue	0.5379	0.2992	0.1028	0.0131	0.0002	<0.0001	<0.0001	<0.0001
Cingulate								
Non-carriers	1.95%	1.91%	1.89%	1.86%	1.84%	1.82%	1.81%	1.79%
Carriers	1.98%	1.95%	1.91%	1.86%	1.80%	1.74%	1.67%	1.59%
Difference	0.04%	0.03%	0.02%	<0.01%	-0.04%	-0.08%	-0.14%	-0.20%
SE	0.04	0.03	0.03	0.03	0.03	0.03	0.03	0.05
pvalue	0.3386	0.3246	0.5478	0.8934	0.1935	0.0036	<0.0001	<0.0001
Subcortical volume (% of TIV)								
Hippocampus								
Non-carriers	0.70%	0.69%	0.68%	0.68%	0.67%	0.66%	0.65%	0.64%
Carriers	0.69%	0.69%	0.68%	0.66%	0.64%	0.62%	0.59%	0.55%
Difference	-0.01%	-0.01%	-0.01%	-0.01%	-0.02%	-0.04%	-0.06%	-0.09%
SE	0.01	0.01	0.01	0.01	0.01	0.01	0.01	0.02
pvalue	0.4421	0.6667	0.6464	0.3408	0.0441	0.0003	<0.0001	<0.0001

Neuroimaging signatures of frontotemporal dementia genetics: C9ORF72, tau, progranulin and sporadics

Jennifer L. Whitwell,¹ Stephen D. Weigand,² Bradley F. Boeve,³ Matthew L. Senjem,⁴ Jeffrey L. Gunter,⁴ Mariely DeJesus-Hernandez,⁵ Nicola J. Rutherford,⁵ Matthew Baker,⁵ David S. Knopman,³ Zbigniew K. Wszolek,⁶ Joseph E. Parisi,⁷ Dennis W. Dickson,⁸ Ronald C. Petersen,³ Rosa Rademakers,⁵ Clifford R. Jack Jr¹ and Keith A. Josephs³

Groups	MAPT (n = 25)	GRN (n = 12)	C9ORF72 (n = 19)	Sporadic FTD (n = 20)
model with 26 variables (overall classification 93%)				
	24	0	0	1
	0	12	0	0
C9ORF72	0	0	17	1
sporadic FTD	1	0	2	18
ative model with 14 variables (overall classification 74%)				
	23	3	0	3
	0	7	1	0
C9ORF72	1	1	13	4
sporadic FTD	1	1	5	13

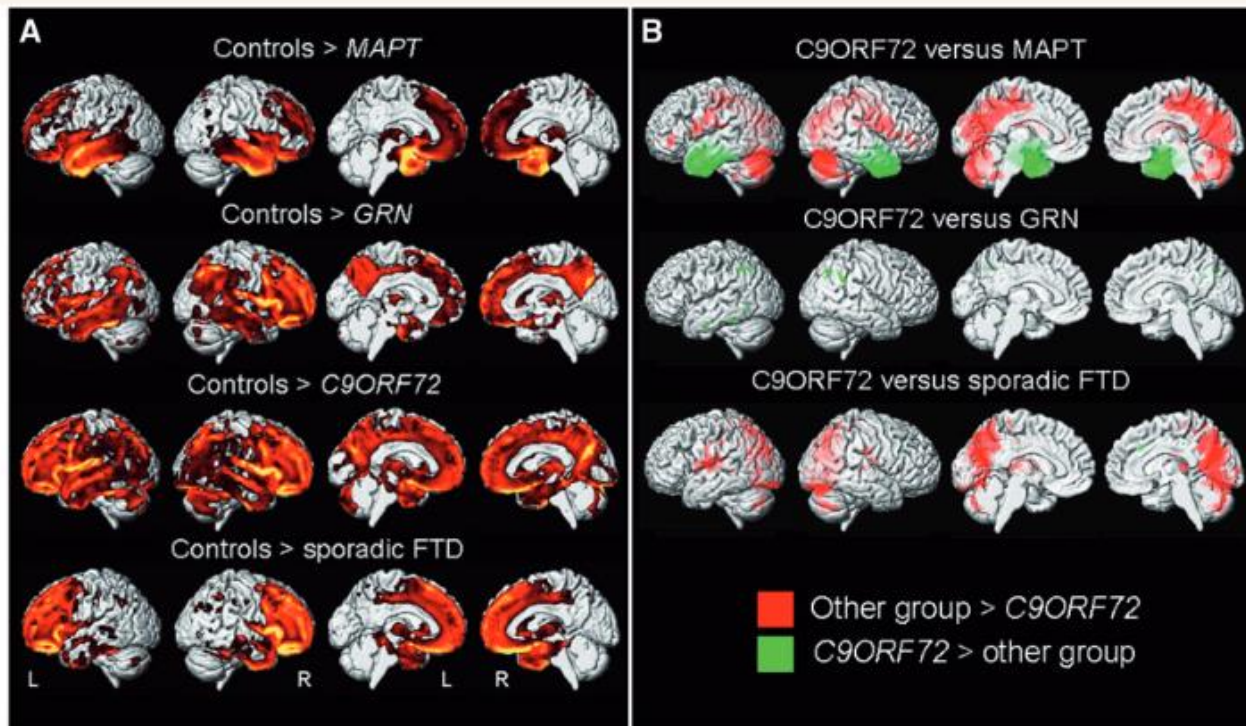


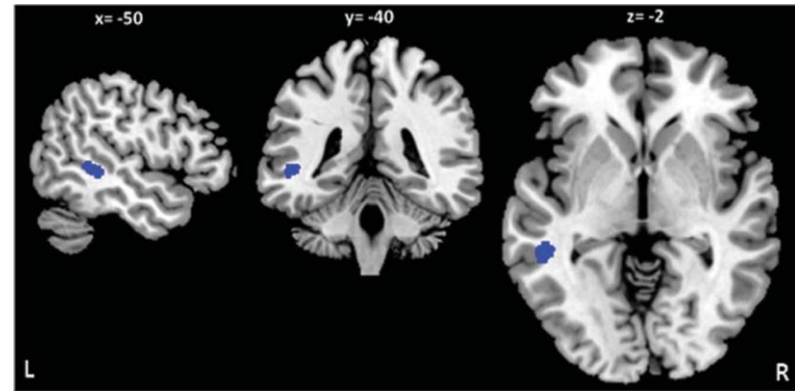
Figure 1 Results of the voxel-based morphometry analysis of grey matter volume. (A) Patterns of grey matter loss in MAPT, GRN, C9ORF72 and sporadic FTD groups compared with controls, at $P < 0.05$ (corrected for multiple comparisons using family-wise error). (B) Differences in grey matter volume between the C9ORF72 group and the other disease groups, at $P < 0.001$ (uncorrected for multiple comparisons). Results are shown in 3D renderings of the brain.

Early metabolic and structural changes in lateral temporal lobe precede cognitive & clinical symptoms in *GRN* disease

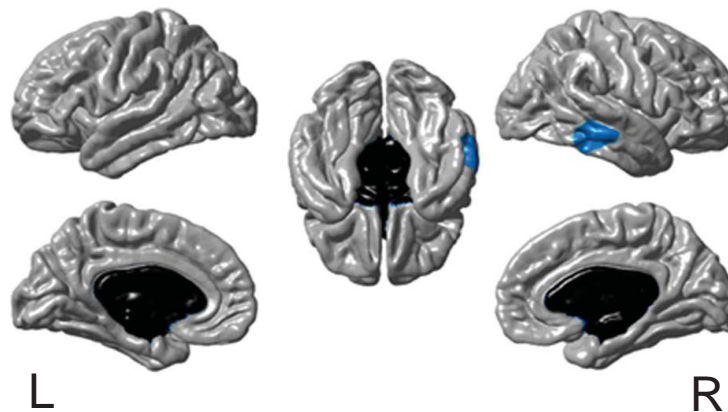
Lateral Temporal Lobe: An Early Imaging Marker of the Presymptomatic *GRN* Disease?

Paola Caroppo^{a,b,c,d,e}, Marie-Odile Habert^{f,g}, Stanley Durrleman^{a,b,c,d,h}, Aurélie Funkiewiez^{b,i,j}, Vincent Perlberg^{a,b,c,d,f,k}, Valérie Hahnⁱ, Hugo Bertin^{f,l}, Malo Gaubert^{f,l}, Alexandre Routier^{a,b,c,d,h,l}, Didier Hannequin^m, Vincent Deramecourtⁿ, Florence Pasquierⁿ, Sophie Rivaud-Pechoux^{a,b,c,d}, Martine Vercelletto^o, Geoffrey Edouart^{a,b,c,d,p}, Romain Valabregue^{a,b,c,d,q}, Pascal Lejeune^r, Mira Didic^s, Jean-Christophe Corvol^{a,b,c,d,p,t}, Habib Benali^f, Stéphane Lehericy^{a,b,c,d,q}, Bruno Dubois^{a,b,c,d,i,j,t}, Olivier Collot^{a,b,c,d,h}, Alexis Brice^{a,b,c,d,t,u,*}, Isabelle Le Ber^{a,b,c,d,j,t,*} and the Predict-PGRN study group

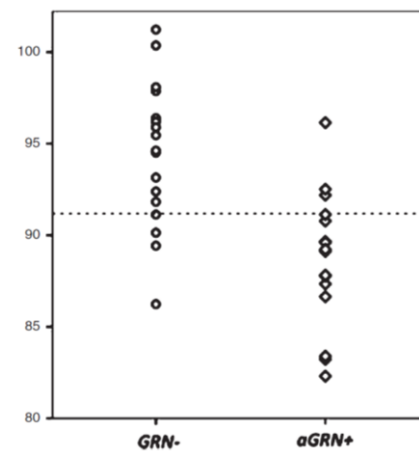
Mean age in *GRN* carriers =40 ys
≈ 20 years before disease onset



PET-FDG hypometabolism in *GRN*+ compared to *GRN*- at baseline ($p < 0.001$ uncorrected).



MRI - Cortical thickness changes in presymptomatic *GRN*+ over a 20-months follow-up period ($p < 0.05$ corrected).



Plot of the adjusted values of [18F]FDG uptake in the cluster is reported.

Is the temporal region an early marker of the presymptomatic stage?

Neurobiology of Aging 34 (2013) 1462–1468

Contents lists available at SciVerse ScienceDirect



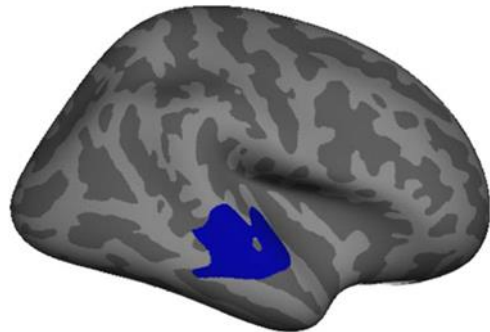
Neurobiology of Aging

journal homepage: www.elsevier.com/locate/neuaging



Distinctive age-related temporal cortical thinning in asymptomatic granulin gene mutation carriers

Fermín Moreno^{a,b,c,*†}, Roser Sala-Llonch^{d,e,1}, Myriam Barandiaran^{a,b,c}, Raquel Sánchez-Valle^{e,f}, Ainara Estanga^{b,c}, David Bartrés-Faz^{d,e}, Andone Sistiaga^{b,c,g}, Ainhoa Alzualde^{b,c}, Esther Fernández^h, José Félix Martí Massó^{a,b,c}, Adolfo López de Munain^{a,b,c}, Begoña Indakoetxea^{a,b,c}



Articles

Presymptomatic cognitive and neuroanatomical changes in genetic frontotemporal dementia in the Genetic Frontotemporal dementia Initiative (GENFI) study: a cross-sectional analysis

Jonathan D Rohrer, PhD, Jennifer M Nicholas, PhD, David M Cash, PhD, Prof John van Swieten, MD, Elise Doppler, MD, Lize Jiskoot, MSc, Rick van Minkelen, PhD, Prof Serge A Rombouts, PhD, M Jorge Cardoso, PhD, Shona Clegg, BSc, Miklos

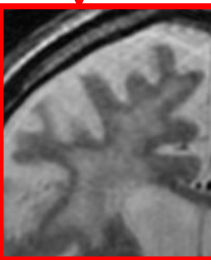
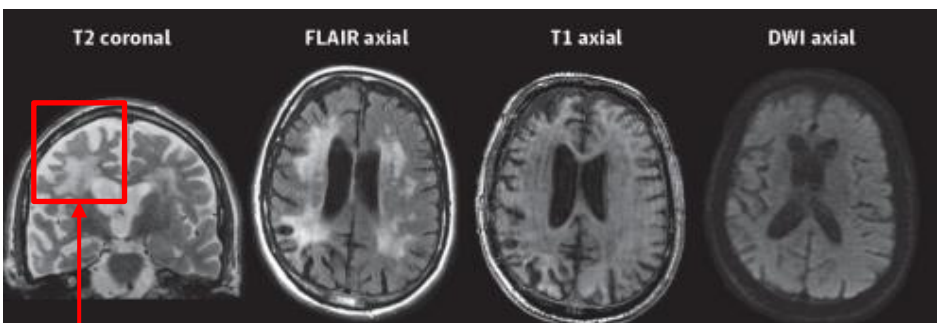
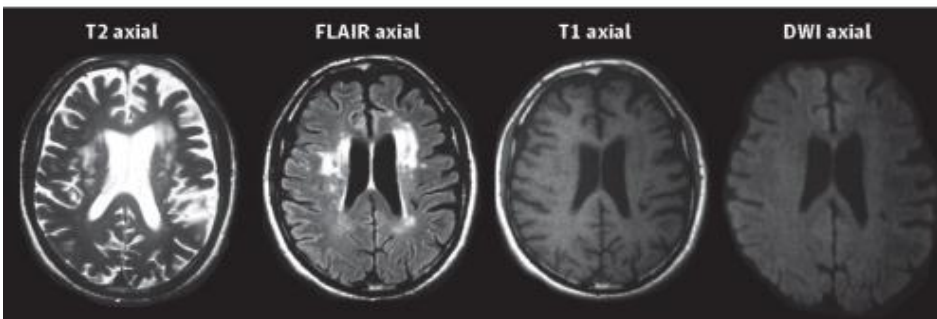
Lancet Neurol 2015; 14: 253–62

	-25	-20	-15	-10	-5	0	5	10
Frontal	0.3543	0.7745	0.5031	0.0522	0.0016	0.0001	<0.0001	<0.0001
Temporal	0.9473	0.5782	0.2101	0.0348	0.0049	0.0021	0.0024	0.0038
Parietal	0.8236	0.7587	0.2768	0.0361	0.0030	0.0008	0.0009	0.0013
Occipital	0.4961	0.6711	0.9823	0.5805	0.2502	0.1271	0.0938	0.0863
Insula	0.3702	0.1736	0.0471	0.0074	0.0019	0.0021	0.0049	0.0112

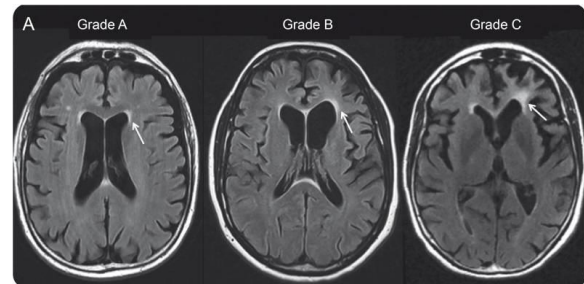
Extensive white matter involvement in *GRN* carriers



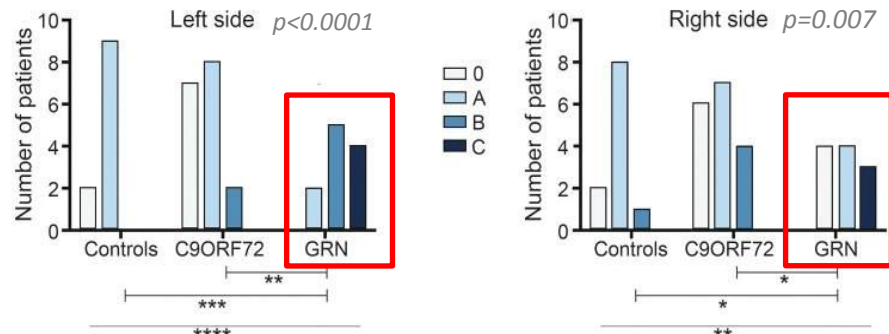
Le Ber et al., 2008; Caroppo et al., 2014 ; Ameur et al., 2016



- Supra-tentorial/Frontal > posterior
- Hyper-T2 & FLAIR/HypoT1
- Normal diffusion & T2*
- Peri-ventricular/U-fibers/Confluent



B. Grade of periventricular frontal WM lesions



	controls	C9ORF72	GRN	p-values
n	11	17	11	
Gender, female (%)	45.4	29.4	58.3	.29
Age at MRI (ys)	62 (51-76)	61 (48-73)	63 (48-76)	.99
Age at onset (ys)	n.a.	56 (47-71)	57 (48-72)	.99
Disease duration (mths)	n.a.	36 (12-168)	36 (12-60)	.88

Collaborations: A. Bertrand & O. Colliot

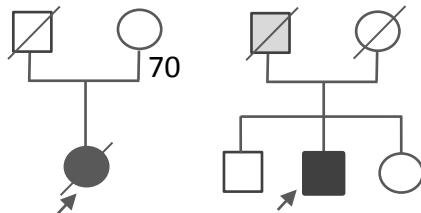


Defining the phenotypic spectrum of *GRN* disease

Loss of function mutations & pleiotropic effects

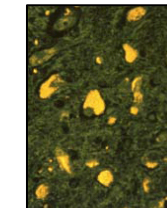
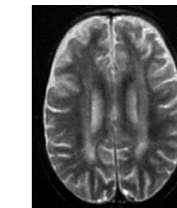
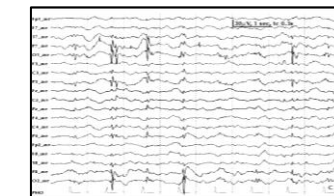
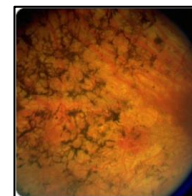


Homozygous mutations lead to adult CLN-like phenotype



Visual deficit (1/2)
Cerebellar ataxia (2/2)
Epilepsy (2/2)
FTD (2/2)
Skin biopsy (1/2)

Ceroid lipofuscinosis
(Batten disease)



Portuguese family with the co-occurrence of frontotemporal lobar degeneration and neuronal ceroid lipofuscinosis phenotypes due to progranulin gene mutation

Maria R. Almeida^{a,c,*}, Maria C. Macário^b, Lina Ramos^c, Inês Baldeiras^d, Maria H. Ribeiro^d, Isabel Santana^{b,c}

Strikingly Different Clinicopathological Phenotypes Determined by Progranulin-Mutation Dosage

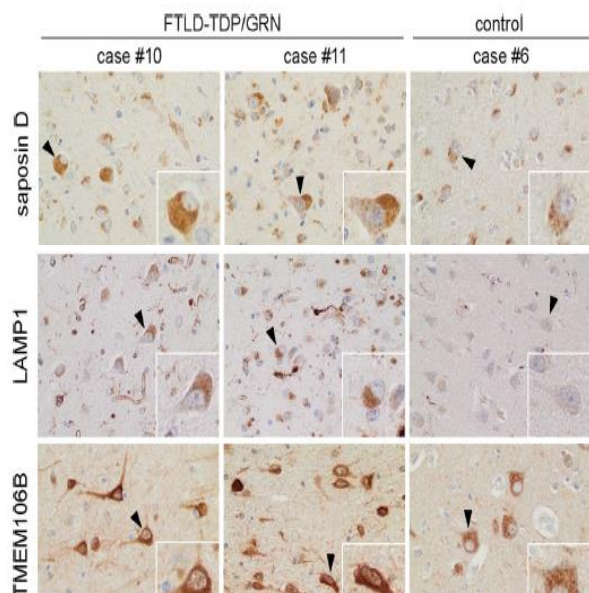
Katherine R. Smith,^{1,2} John Damiano,³ Silvana Franceschetti,⁴ Stirling Carpenter,⁵ Laura Canafoglia,⁴ Michela Morbin,⁶ Giacomina Rossi,⁶ Davide Pareyson,⁷ Sara E. Mole,⁸ John F. Staropoli,⁹ Katherine B. Sims,⁹ Jada Lewis,¹⁰ Wen-Lang Lin,¹¹ Dennis W. Dickson,¹¹ Hans-Henrik Dahl,³ Melanie Bahlo,^{1,12,*} and Samuel F. Berkovic^{3,*}

- Pleiotropic effect of PGRN
- GRN mutations lead to both FTLD/CLN
- Lysosomal pathway

Impaired lysosomal function in *GRN* disease

① FTLD-TDP/GRN patients have NCL-like pathology

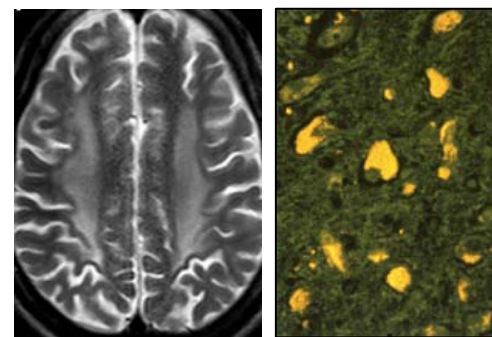
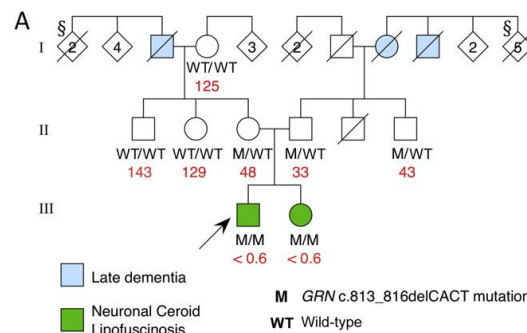
Increase of the major NCL storage components and of lysosomal proteins in brains of FTLD-TDP/GRN patients



② Patients with homozygous GRN mutations present with NCL

Strikingly Different Clinicopathological Phenotypes Determined by Progranulin-Mutation Dosage

Katherine R. Smith,^{1,2} John Damiano,³ Silvana Franceschetti,⁴ Stirling Carpenter,⁵ Laura Canafoglia,⁴ Michela Morbin,⁶ Giacomina Rossi,⁶ Davide Pareyson,⁷ Sara E. Mole,⁸ John F. Staropoli,⁹ Katherine B. Sims,⁹ Jada Lewis,¹⁰ Wen-Lang Lin,¹¹ Dennis W. Dickson,¹¹ Hans-Henrik Dahl,³ Melanie Bahlo,^{1,12,*} and Samuel E. Berkovic^{3,*}



③ GRN -/- models recapitulate pathological features of FTLD-TDP and NCL

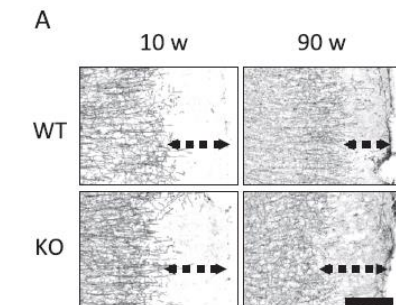


Possible involvement of lysosomal dysfunction in pathological changes of the brain in aged progranulin-deficient mice

GRN -/-

PGRN deficiency leads to

- Impaired lysosomal function
- Lipofuscin accumulation in neurons & microglia
- Impaired myelination in the cerebral cortex
- Microglial activation & microgliosis
- TDP-43 accumulation in neurons



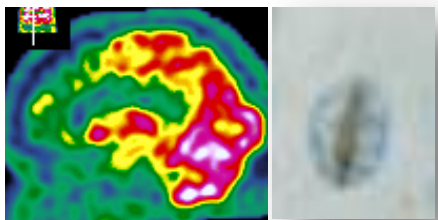
Ahmed et al., 2010; Tanaka et al., 2014



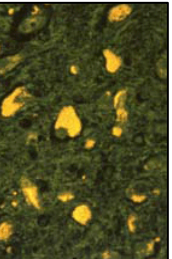
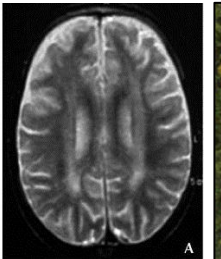
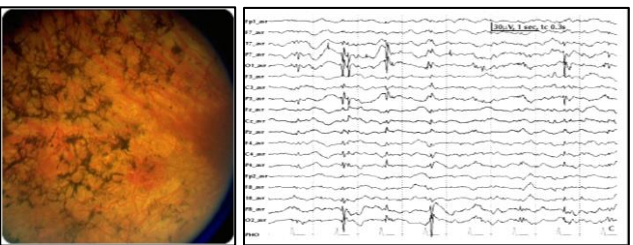
GRN: loss of function mutations & pleiotropic effects



GRN haploinsufficiency
lead to FTLD



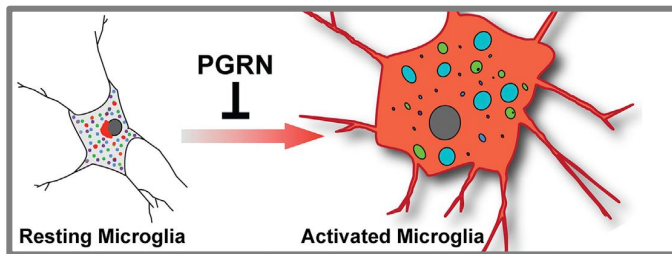
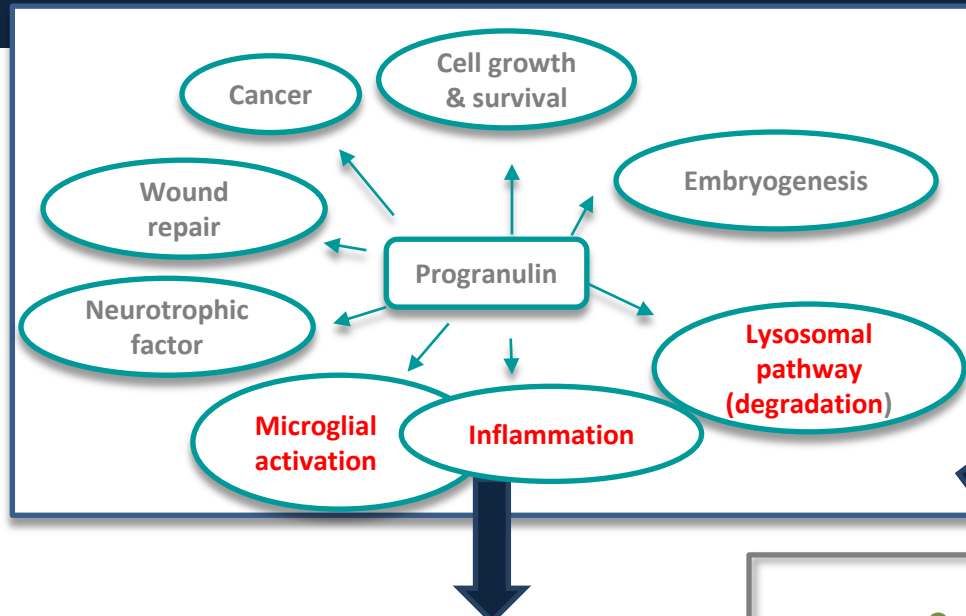
Complete GRN loss lead to CLN
Batten disease - CLN11



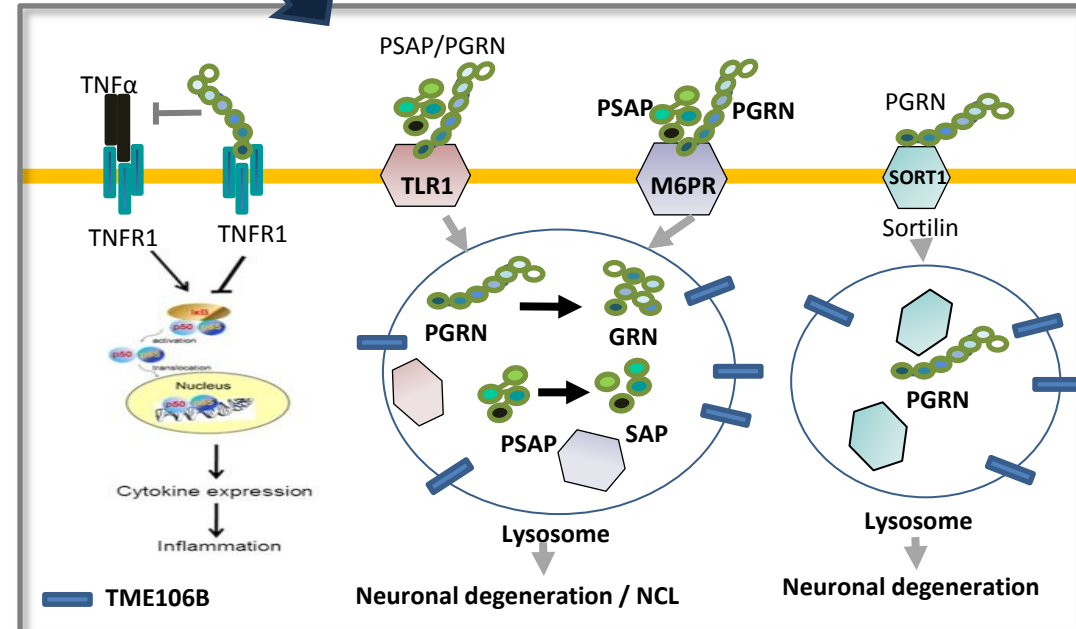
- Pleiotropic effect of PGRN
- GRN mutations lead to both FTLD/CLN
- Lysosomal pathway

Progranulin functions: Pleiotrophic factor

GRN disease a lysosomal disease

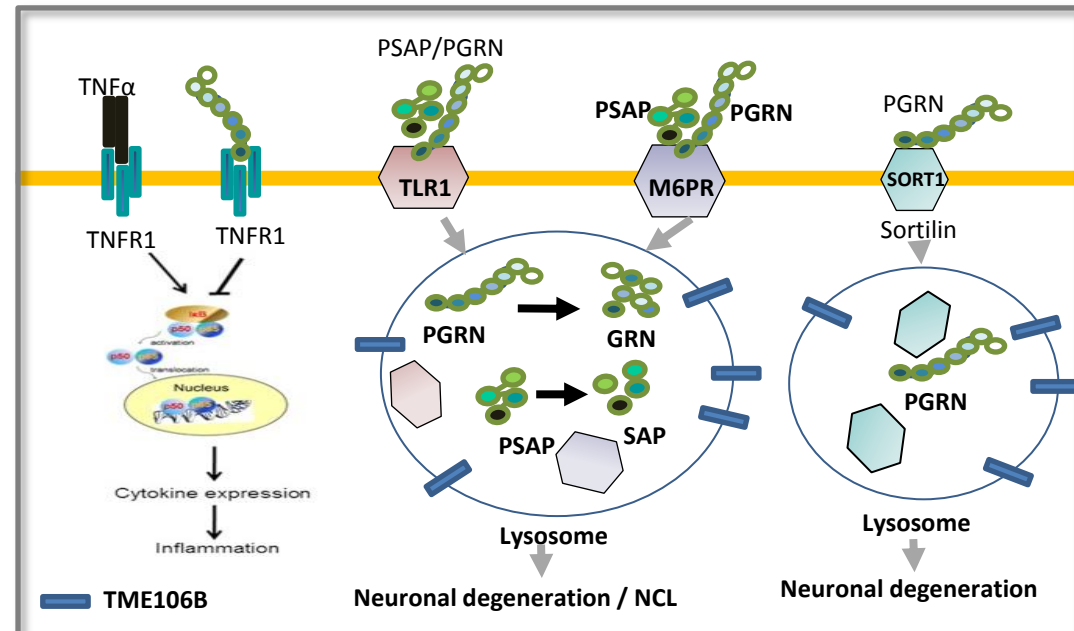
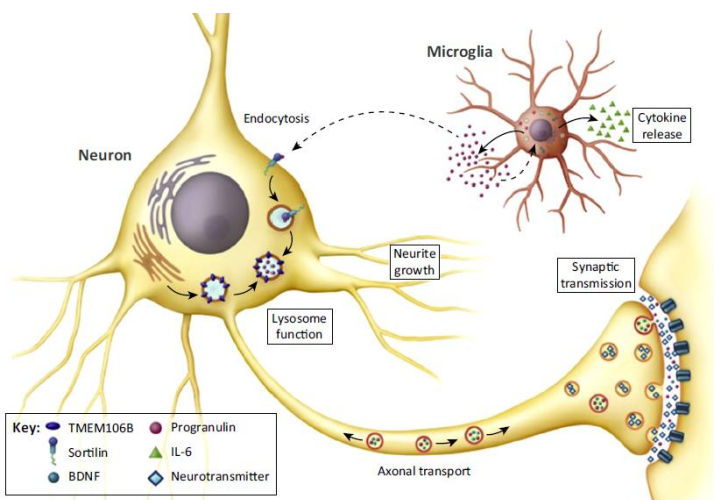
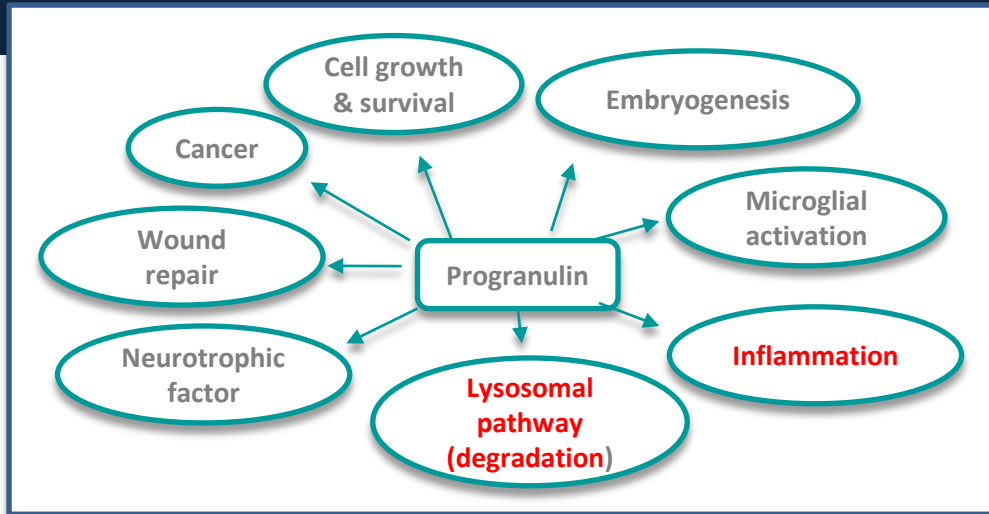


Adapted from Zhou et al., 2012



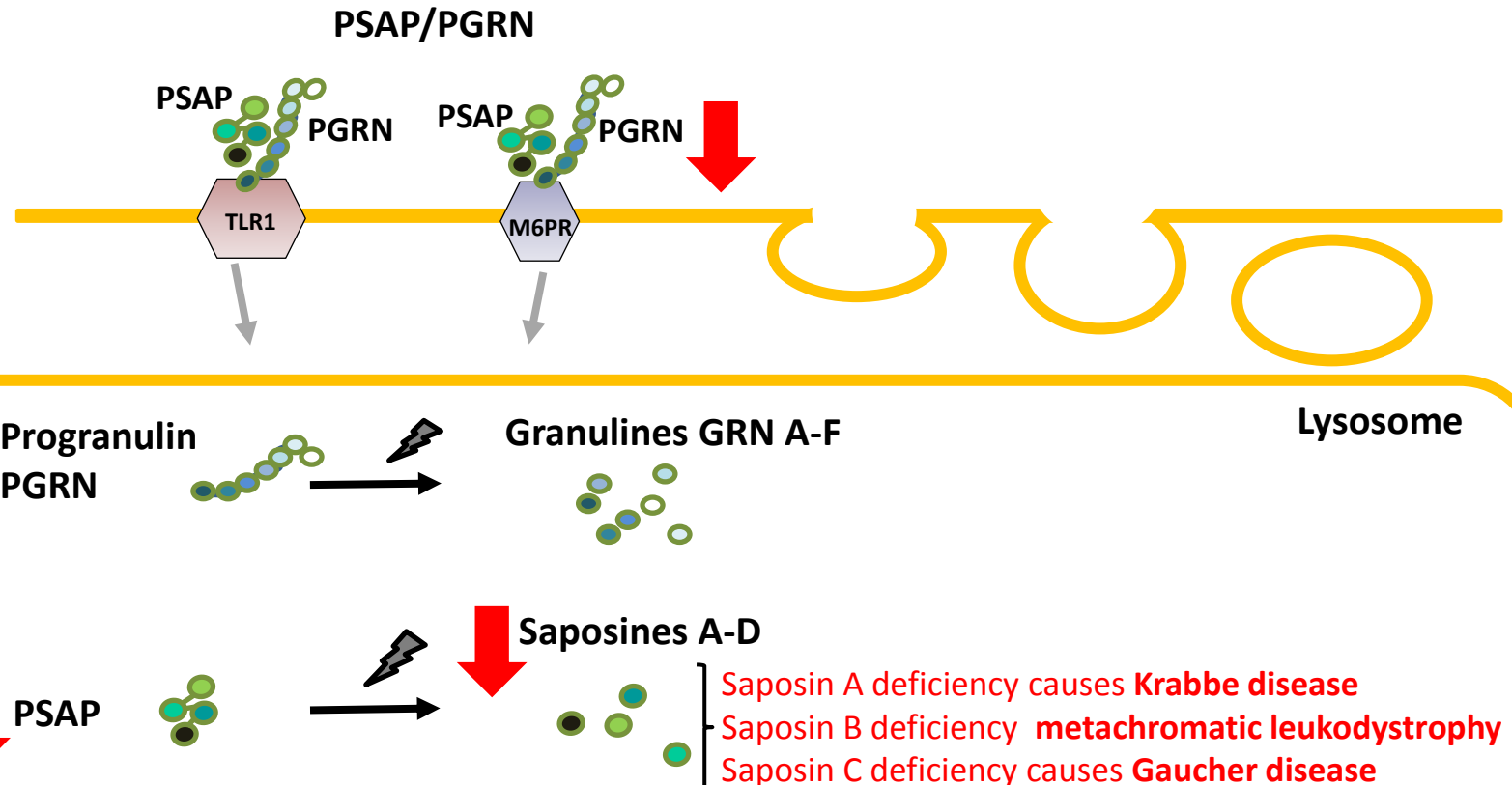
Progranulin functions: Pleiotrophic factor

GRN disease a lysosomal disease



Progranulin might regulate PSAP processing & saposin function in lysosomes

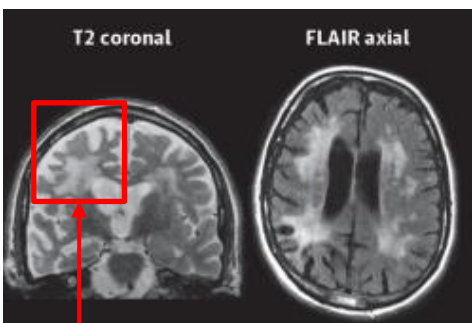
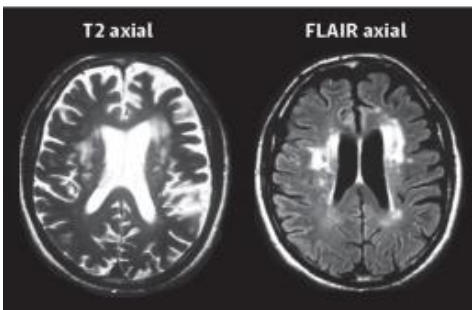
- Prosaposin facilitates lysosomal trafficking of progranulin
- Saposins serve as activator for sphingolipid degradation



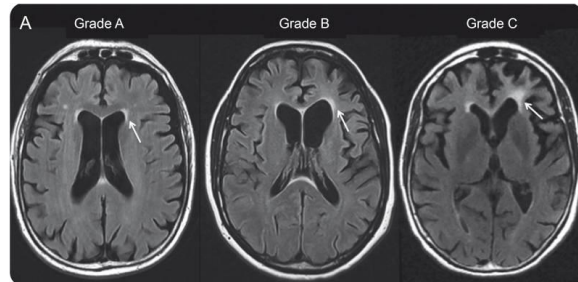
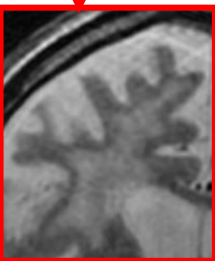
Extensive white matter involvement in *GRN* carriers



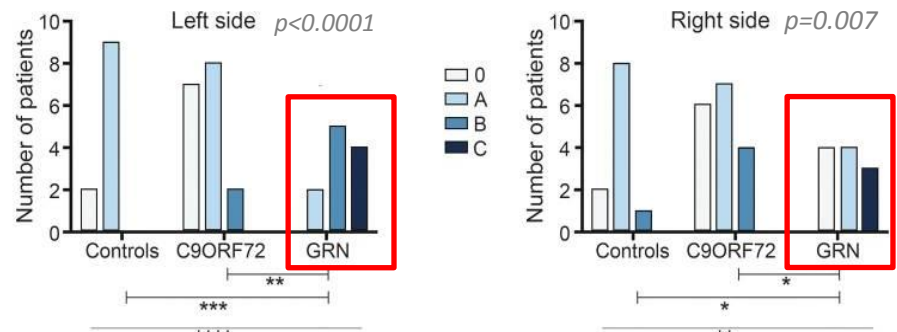
Le Ber et al., 2008; Caroppo et al., 2014 ; Ameur et al., 2016



- Supra-tentorial/Frontal > posterior
- Hyper-T2 & FLAIR/HypoT1
- Normal diffusion & T2*
- Peri-ventricular/U-fibers/Confluent



B. Grade of periventricular frontal WM lesions



	controls	C9ORF72	GRN	p-values
n	11	17	11	
Gender, female (%)	45.4	29.4	58.3	.29
Age at MRI (ys)	62 (51-76)	61 (48-73)	63 (48-76)	.99
Age at onset (ys)	n.a.	56 (47-71)	57 (48-72)	.99
Disease duration (mths)	n.a.	36 (12-168)	36 (12-60)	.88

TMEM106B is associated with late endosome/lysosome in neurons

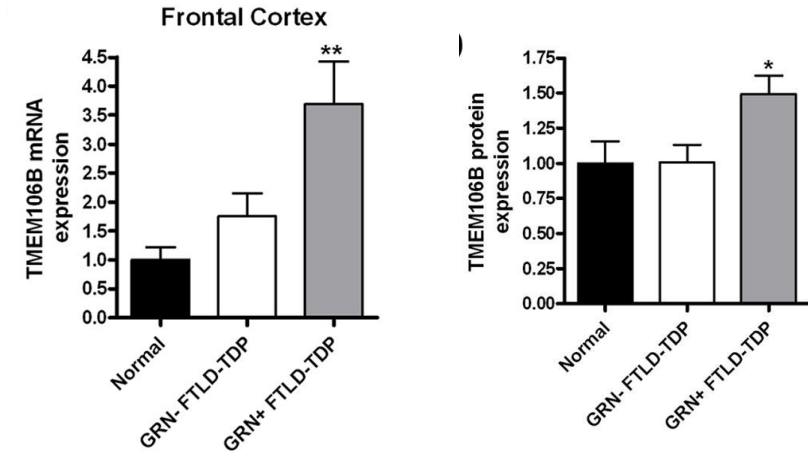
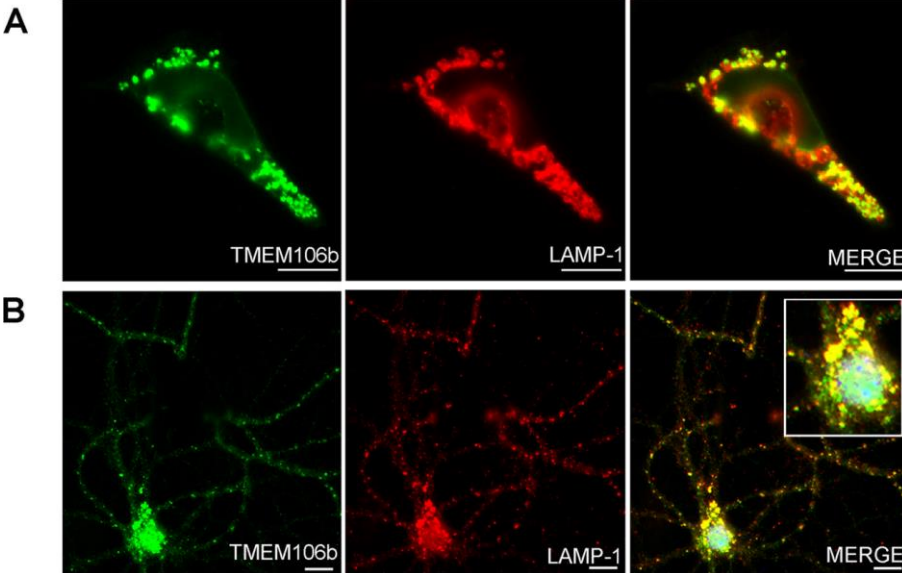
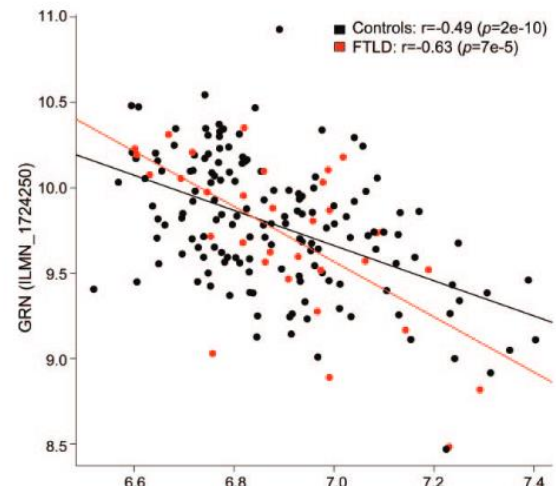


Figure 1 Peripheral blood **TMEM106B** and **GRN**mRNA expression levels in patients with FTLD and controls.



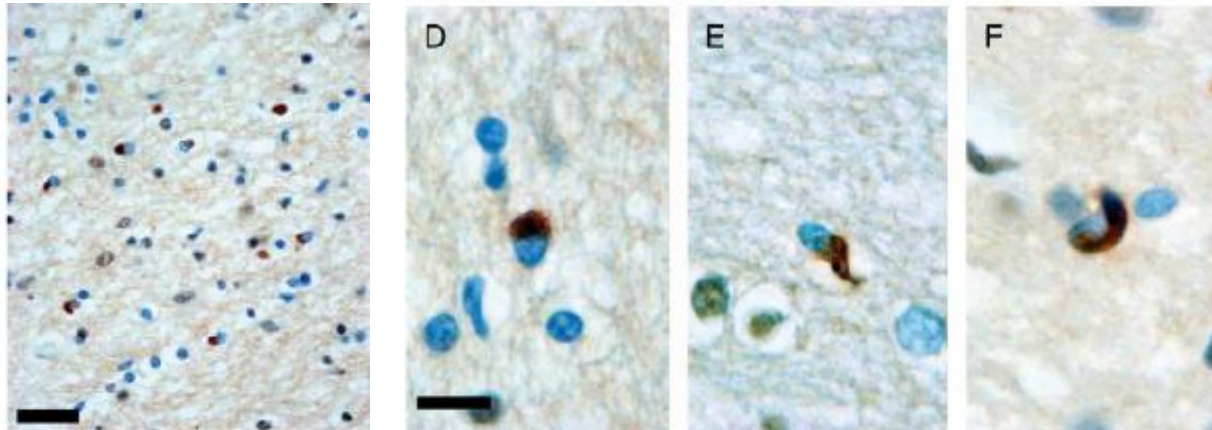
Over-expression of TMEM106B alters the compartmentalization of progranulin



Extensive White Matter Involvement in *GRN* carriers

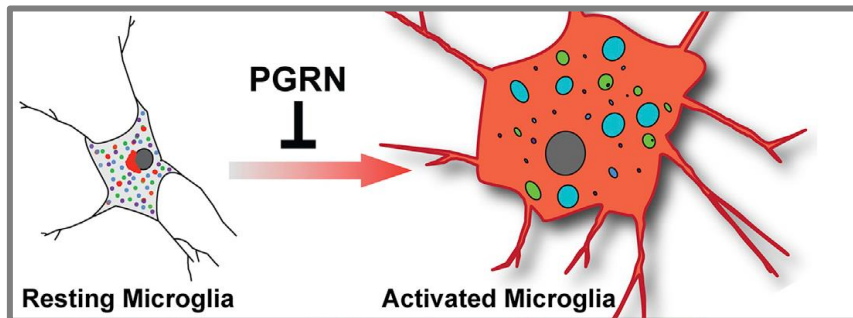
TDP-43-Positive White Matter Pathology in Frontotemporal Lobar Degeneration With Ubiquitin-Positive Inclusions

Manuela Neumann, MD, Linda K. Kwong, PhD, Adam C. Truax, BSc, Ben Vanmassenhove, MTA,
Hans A. Kretzschmar, MD, Vivianna M. Van Deerlin, MD, PhD, Christopher M. Clark, MD,
Murray Grossman, MD, Bruce L. Miller, MD, John Q. Trojanowski, MD, PhD,
and Virginia M.-Y. Lee, PhD

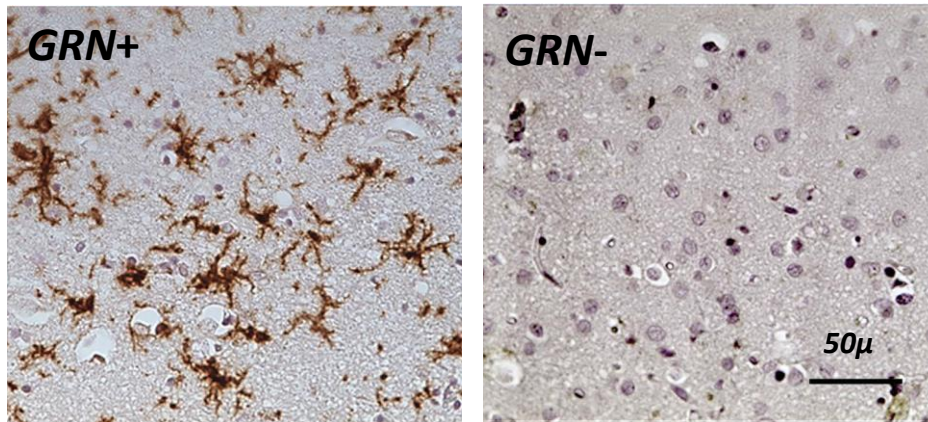
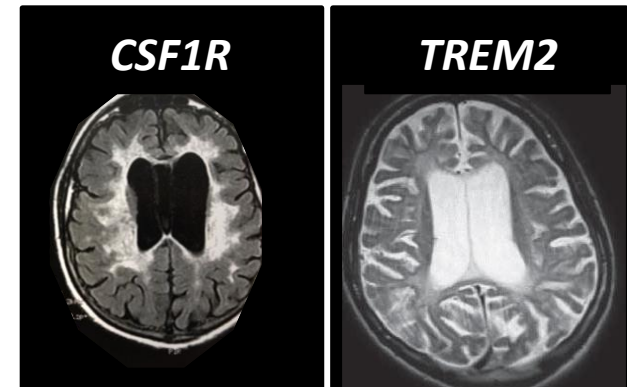




Extensive White Matter Involvement in *GRN* carriers



Adapted from Zhou et al., 2012

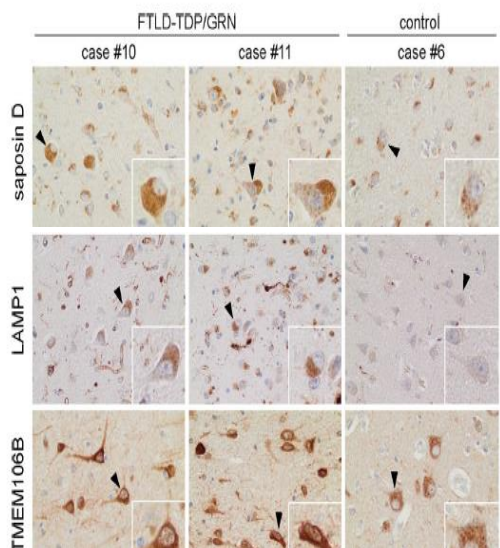


Adapted from Kim et al., 2016

Impaired lysosomal function in *GRN* disease

① FTLD-TDP/GRN patients have NCL-like pathology

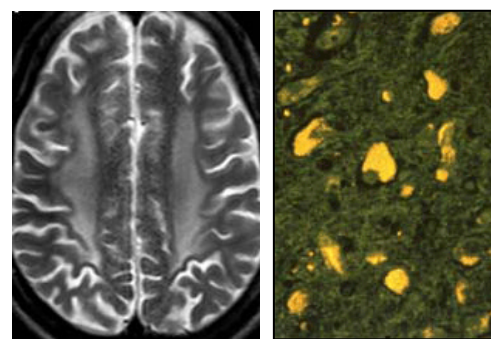
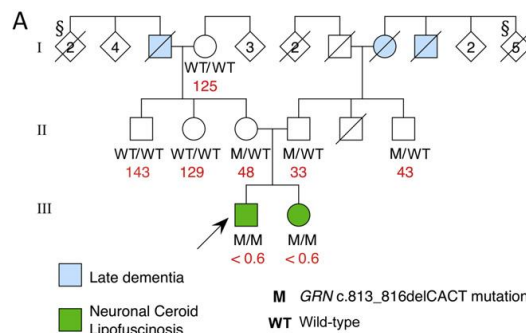
Increase of the major NCL storage components and of lysosomal proteins in brains of FTLD-TDP/GRN patients



② Patients with homozygous GRN mutations present with NCL

Strikingly Different Clinicopathological Phenotypes Determined by Progranulin-Mutation Dosage

Katherine R. Smith,^{1,2} John Damiano,³ Silvana Franceschetti,⁴ Stirling Carpenter,⁵ Laura Canafoglia,⁴ Michela Morbin,⁶ Giacomina Rossi,⁶ Davide Pareyson,⁷ Sara E. Mole,⁸ John F. Staropoli,⁹ Katherine B. Sims,⁹ Jada Lewis,¹⁰ Wen-Lang Lin,¹¹ Dennis W. Dickson,¹¹ Hans-Henrik Dahl,³ Melanie Bahlo,^{1,12,*} and Samuel E. Berkovic^{3,*}



③ GRN -/- models recapitulate pathological features of FTLD-TDP and NCL

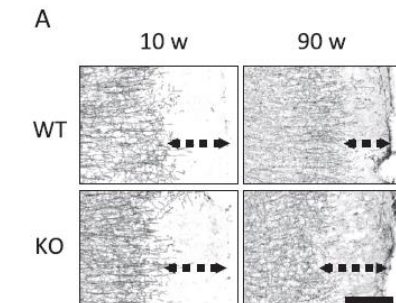


Possible involvement of lysosomal dysfunction in pathological changes of the brain in aged progranulin-deficient mice

GRN -/-

PGRN deficiency leads to

- Impaired lysosomal function
- Lipofuscin accumulation in neurons & microglia
- Impaired myelination in the cerebral cortex
- Microglial activation & microgliosis
- TDP-43 accumulation in neurons



Ahmed et al., 2010; Tanaka et al., 2014

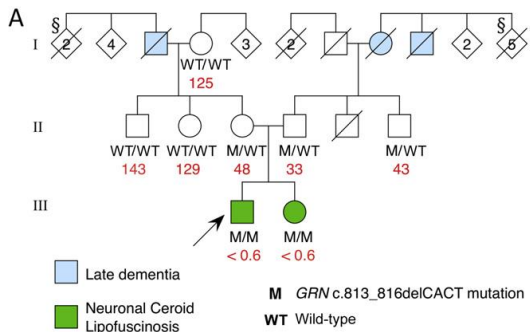
Extensive White Matter Involvement in *GRN* carriers

GRN disease is also a lysosomal disorder

Strikingly Different Clinicopathological Phenotypes Determined by Progranulin-Mutation Dosage

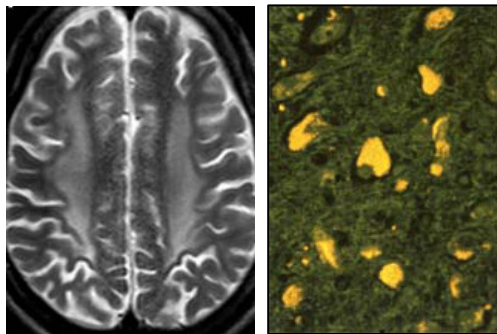
Katherine R. Smith,^{1,2} John Damiano,³ Silvana Franceschetti,⁴ Stirling Carpenter,⁵ Laura Canafoglia,⁴ Michela Morbin,⁶ Giacomina Rossi,⁶ Davide Pareyson,⁷ Sara E. Mole,⁸ John F. Staropoli,⁹ Katherine B. Sims,⁹ Jada Lewis,¹⁰ Wen-Lang Lin,¹¹ Dennis W. Dickson,¹¹ Hans-Henrik Dahl,³ Melanie Bahlo,^{1,12,*} and Samuel F. Berkovic^{3,*}

p.Thr272Serfs*10



Possible involvement of lysosomal dysfunction in pathological changes of the brain in aged progranulin-deficient mice

Yoshinori Tanaka^{1,2}, James K Chambers³, Takashi Matsuwaki¹, Keitaro Yamanouchi¹ and Masugi Nishihara^{1*}

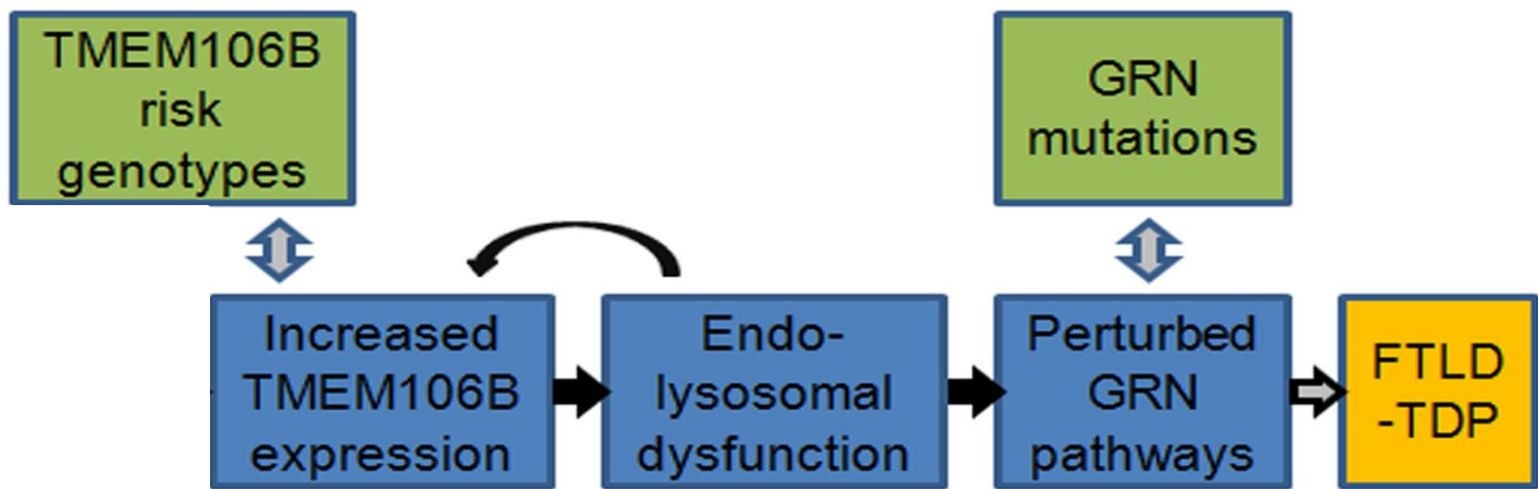


Accelerated Lipofuscinosis and Ubiquitination in Granulin Knockout Mice Suggest a Role for Progranulin in Successful Aging

Zeshan Ahmed,* Hong Sheng,* Ya-fei Xu,* Wen-Lang Lin,* Amy E. Innes,* Jennifer Gass,* Xin Yu,* Harold Hou,* Shuichi Chiba,† Keitaro Yamanouchi,† Malcolm Leisring,* Leonard Petrucelli,* Masugi Nishihara,† Michael L. Hutton,* Eileen McGowan,* Dennis W. Dickson,* and Jada Lewis*

associated with aging and cellular decline in humans and animal models. Our data suggests that PGRN plays a key role in maintaining neuronal function during aging and supports the notion that PGRN is a trophic factor essential for long-term neuronal survival. (*Am J Pathol* 2010; 177:311–324; DOI: 10.2353/ajpath.2010.090915)

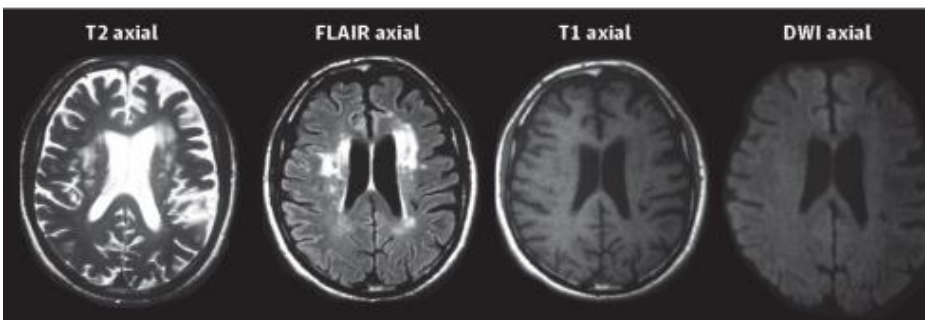
Hypothetical model of causes and effects of TMEM106B over-expression in FTLD-TDP



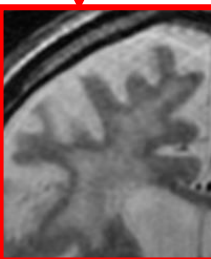
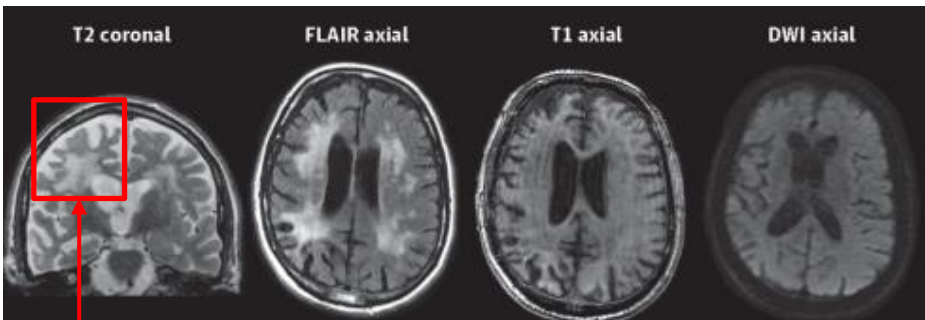
Adapted from Chen-Plotkin et al. 2012



Extensive white matter involvement in *GRN* carriers



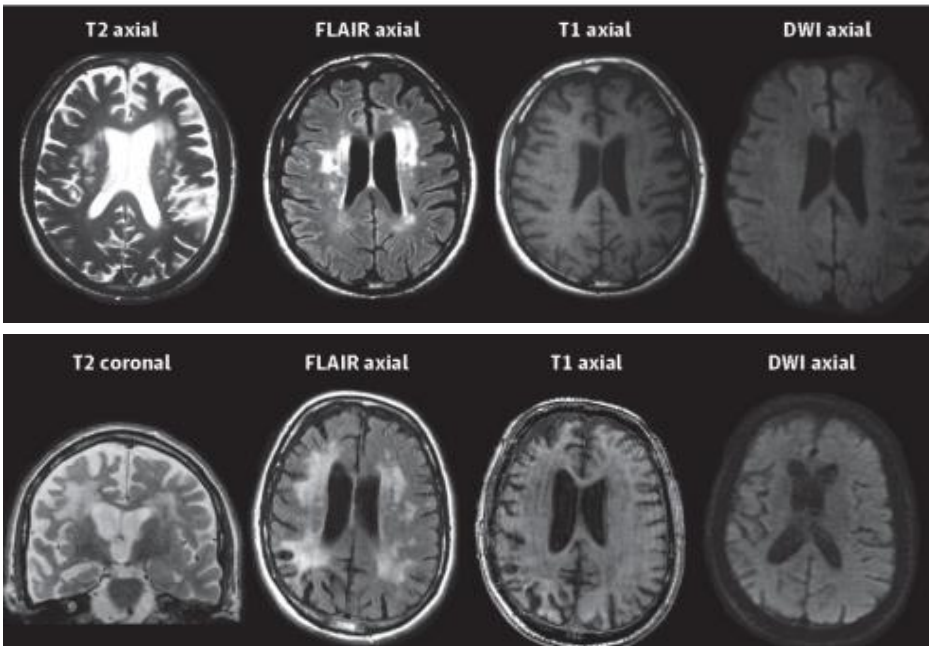
Le Ber et al., 2008; Caroppo et al., 2014 ; Ameur et al., 2016



- *Supra-tentorial/Frontal > posterior*
- *Hyper-T2 & FLAIR/HypoT1*
- *Normal diffusion*
- *Peri-ventricular/U-fibers/Confluent*



Extensive white matter involvement in *GRN* carriers



Clinical/Scientific Notes

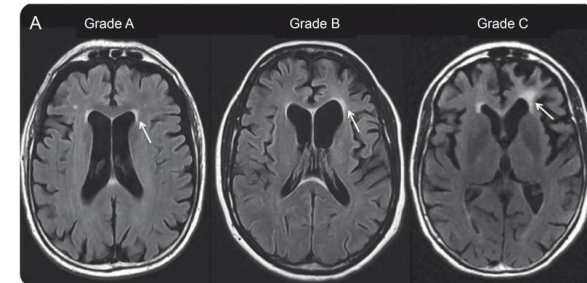
Fatima Ameur, MD
Olivier Colliot, PhD
Paola Caroppo, MD, PhD
Sebastian Sträter

WHITE MATTER LESIONS IN FTLD: DISTINCT PHENOTYPES CHARACTERIZE *GRN* AND *C9ORF72* MUTATIONS

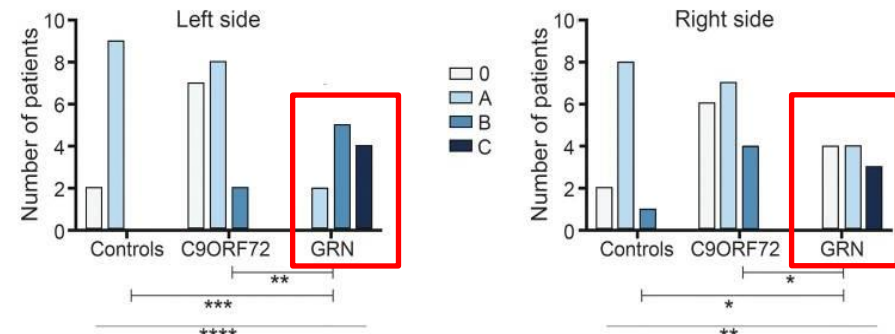
OPEN

of sex and symptoms between the 3 groups were assessed using the χ^2 test; other comparisons were assessed using the Kruskal-Wallis test and Dunn post hoc test (when comparing 3 groups) or the Mann-

Le Ber et al., 2008; Caroppo et al., 2014 ; Ameur et al., 2016



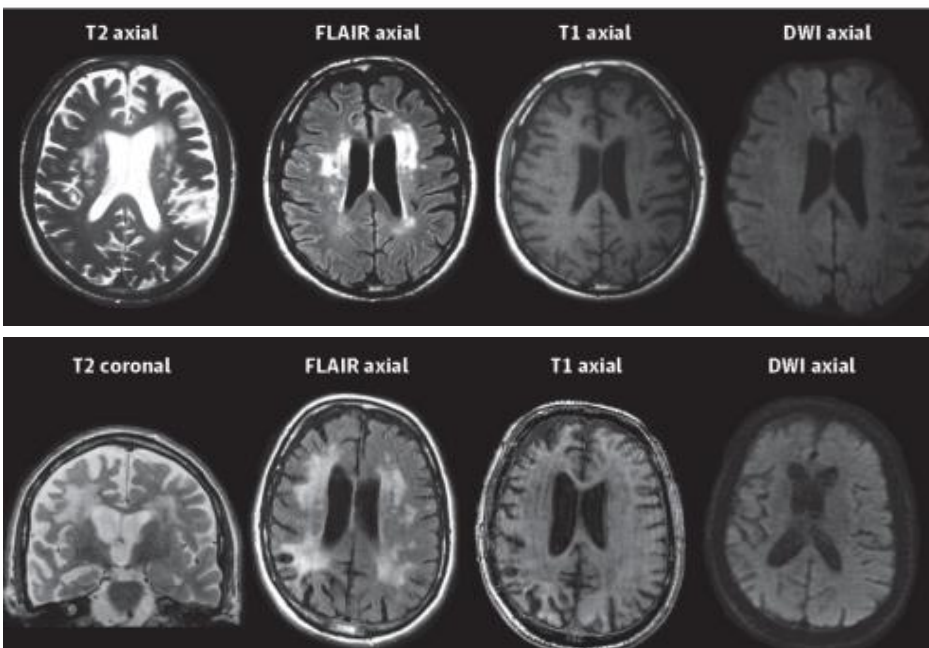
B. Grade of periventricular frontal WM lesions



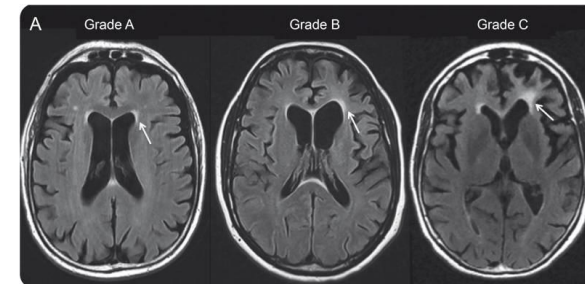
	controls	<i>C9ORF72</i>	<i>GRN</i>	p-values
n	11	17	11	
Gender, female (%)	45.4	29.4	58.3	.29
Age at MRI (ys)	62 (51-76)	61 (48-73)	63 (48-76)	.99
Age at onset (ys)	n.a.	56 (47-71)	57 (48-72)	.99
Disease duration (mths)	n.a.	36 (12-168)	36 (12-60)	.88



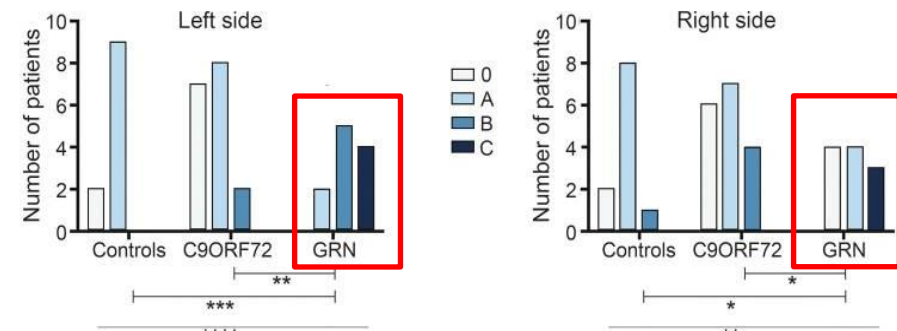
Extensive white matter involvement in *GRN* carriers



Le Ber et al., 2008; Caroppo et al., 2014 ; Ameur et al., 2016



B. Grade of periventricular frontal WM lesions



- Microglial activation & neuronflammation
- WM TDP-43 inclusions in oligodendrocytes
- Lysosomal dysfunction (SAPS)

	controls	C9ORF72	GRN	p-values
n	11	17	11	
Gender, female (%)	45.4	29.4	58.3	.29
Age at MRI (ys)	62 (51-76)	61 (48-73)	63 (48-76)	.99
Age at onset (ys)	n.a.	56 (47-71)	57 (48-72)	.99
Disease duration (mths)	n.a.	36 (12-168)	36 (12-60)	.88

Increase of the major NCL storage components and of lysosomal proteins in brains of FTLD-TDP/GRN patients.



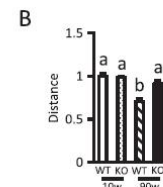
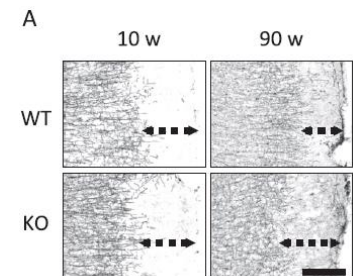
GRN -/-

Possible involvement of lysosomal dysfunction in pathological changes of the brain in aged progranulin-deficient mice

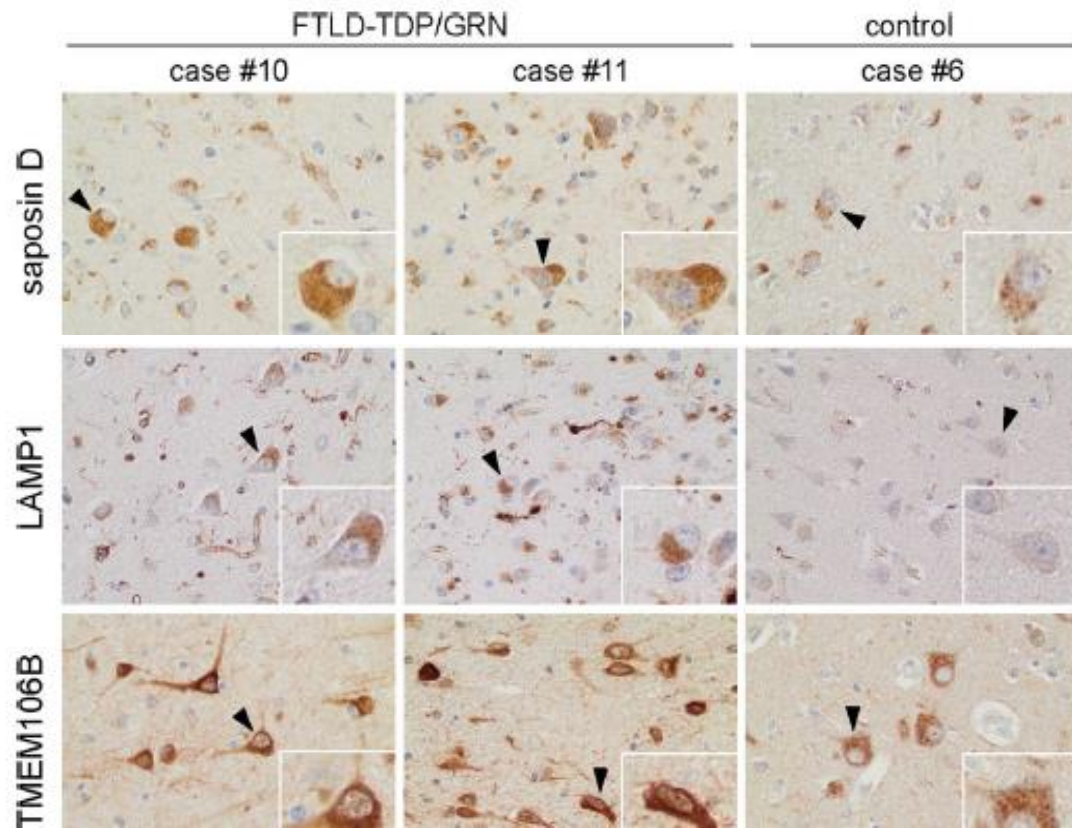
Yoshinori Tanaka^{1,2}, James K Chambers³, Takashi Matsuwaki¹, Keitaro Yamanouchi¹ and Masugi Nishihara^{1*}

PGRN deficiency leads to

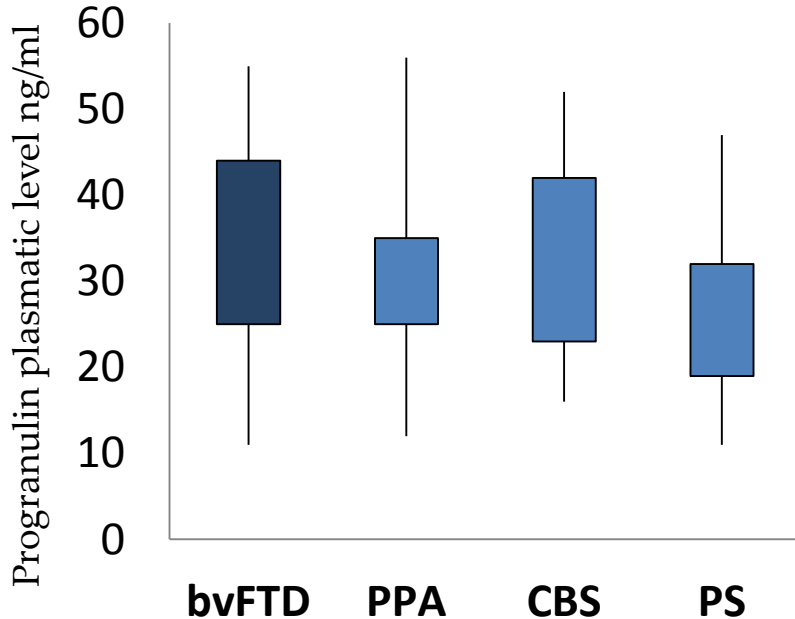
- Impaired lysosomal function
- Lipofuscin accumulation in neurons & microglia
- Impaired myelination in the cerebral cortex
- Microglial activation & microgliosis
- TDP-43 accumulation in neurons



Increase of the major NCL storage components and of lysosomal proteins in brains of FTLD-TDP/GRN patients.



In search of modifiers in FTLD: State of the art



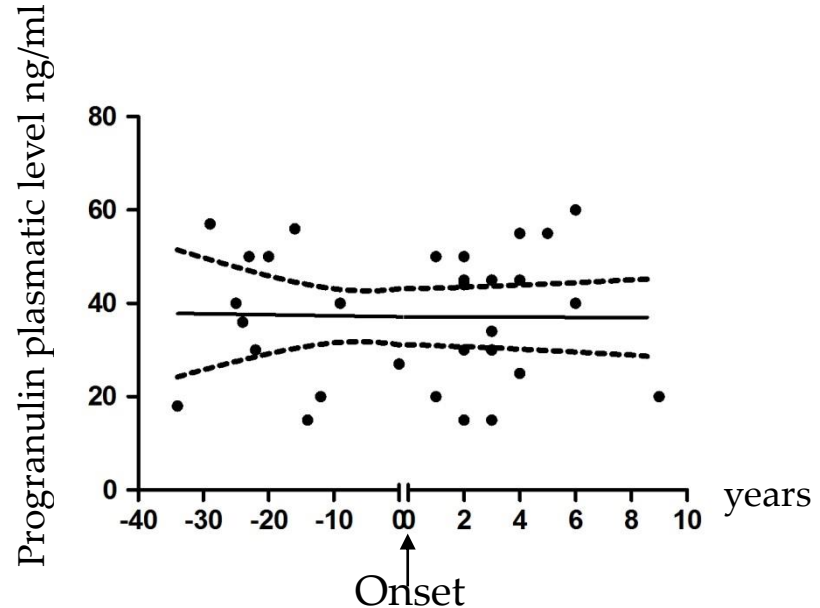
- Plasmatic progranulin is not predictive of the phenotype
- *TMEM106B rs1990622* is also excluded as a modifier (Lattante *et al.* 2014)



Brief communication

Defining the association of *TMEM106B* variants among frontotemporal lobar degeneration patients with GRN mutations and *C9orf72* repeat expansions

Serena Lattante^a, Isabelle Le Ber^{a,b}, Daniela Galimberti^c, Maria Serpente^c, Sophie Rivaud-Péchoux^a, Agnès Camuzat^d, Fabienne Clot^{b,d}, Chiara Fenoglio^c, The French research network on FTD and FTD-ALS^e, Elio Scarpini^c, Alexis Brice^{a,d}, Edor Kabashi^{a,*}



No effect on onset age of (*Cruts, 2011*)

- ApoE genotype
- TAU haplotype
- Normal GRN allele
- *C9orf72* size alleles
- *TMEM106B rs1990622*

WES in 51 unresolved families

Work In Progress

LoF in 2
families

TBK1
SLC1A7
RMI1

TBK1:

Freischmidt et al. Nature neuroscience 2015 (ALS-FTD)
Cirulli et al. Science 2015 (ALS)

Not expressed in brain

Not found by Sanger sequencing

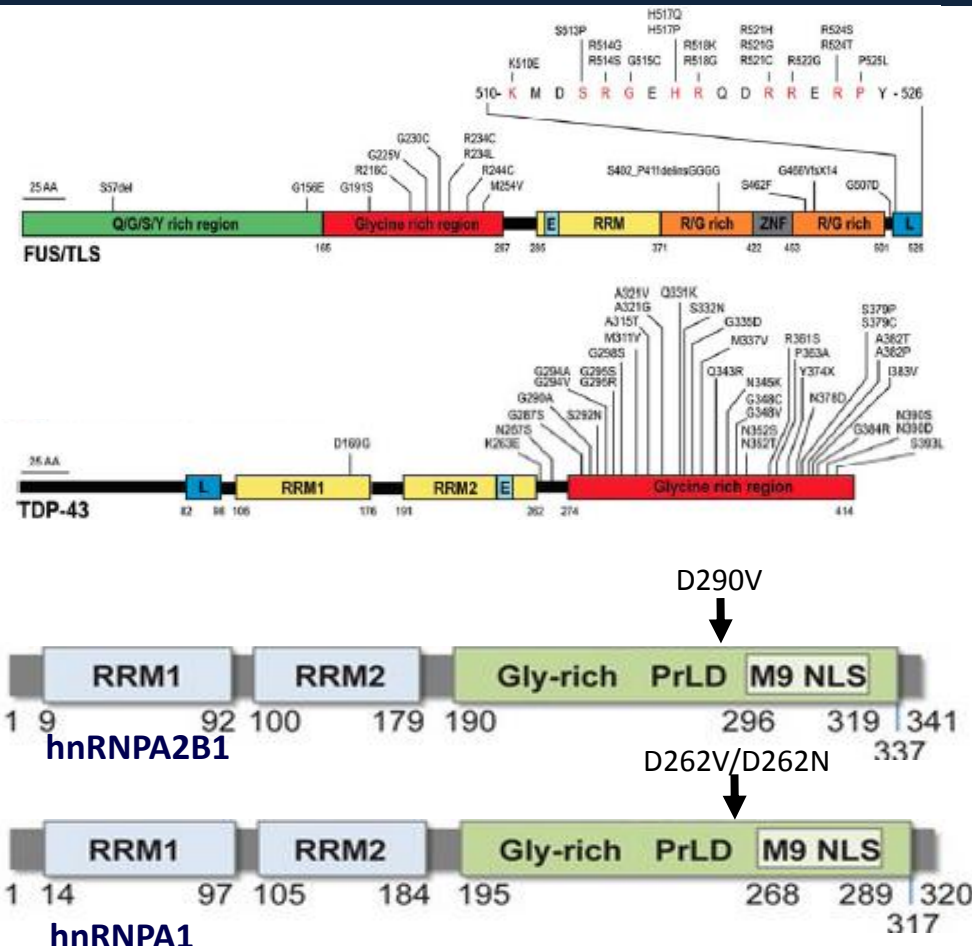
LoF in 1
family
+
Missense in
1 family at
least

RBM12B
PPP1R21
OBSL1
MDN1
DFNA5
CNNM1
SIGIRR
RNF213
ZNF253
ARHGAP8
TRMT44
HYDIN
SOWAHC
MEGF8
SNRNP70

hnRNPAB: a novel Prion-like protein in FTLD/ALS disease ?

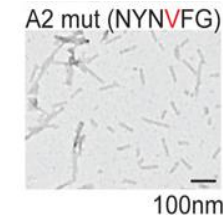
PrLD proteins

Gene	PrLD rank among all proteins	PrLD Score
FUS	13	37.6
TAF15	22	33.2
EWSR1	25	32.4
HNRPDL	28	31.5
HNRNPD	30	30.6
HNRNPA2B1	32	29.9
HNRNPA1	38	28.2
HNRNPAB	39	27.3
HNRNPA3	41	27.2
TARDBP	43	26.5
TIA1	55	23.2
HNRNPA1L2	57	22.8
HNRNPH1	63	22.3
AC021224.2	68	21.6
SFPQ	79	20.8
HNRNPA0	81	20.6
HNRNPH2	98	17.5
RBMB14	117	16.1
CSTF2	122	15.7
AC021593.2	124	15.4
DAZ3	136	14.6
DAZ1	143	14.1
DAZ2	143	14.1
DAZ4	143	14.1
CSTF2T	148	14
HNRNPH3	147	14
TIAL1	158	13.5
RBMB33	172	12.9
CELF4	176	12.8
DAZAP1	198	11.7
PSPC1	226	10



Mutations in prion-like domains in hnRNPAB1 and hnRNPAB1 cause multisystem proteinopathy and ALS

Hong Joo Kim^{1*}, Nam Chul Kim^{1*}, Yong-Dong Wang^{2*}, Emily A. Scarborough^{3*}, Jennifer Moore⁴, Zamira Diaz², Kyle S. MacLea⁴, Brian Freibam¹, Songqing Li¹, Amandine Molleix¹, Anderson P. Kanaganay¹, Robert Carter⁵, Kevin B. Boylan⁶, Aleksandra M. Wojtas⁸, Rose Rademakers⁷, Jack L. Pinsky⁸, Steven A. Greenberg⁹, John Q. Trojanowski⁹, Bryan J. Traynor⁹, Bradley N. Smith¹⁰, Simon Topp¹⁰, Athina Soraga Gkazi¹⁰, Jack Miller¹⁰, Christopher E. Shaw¹⁰, Michael Kotilinek¹¹, Janbernd Kirschner¹¹, Alan Pestronk¹², Yun R. Li¹², Alice Flynn Ford¹³, Aaron D. Gitler¹⁴, Michael Benatar¹⁵, Oliver D. King¹⁶, Virginia E. Kironis¹⁷, Eric D. Ross⁴, Conrad C. Weihl¹², James Shorter¹⁸ & J. Paul Taylor¹



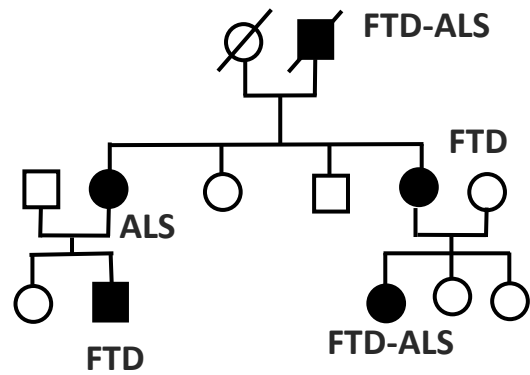
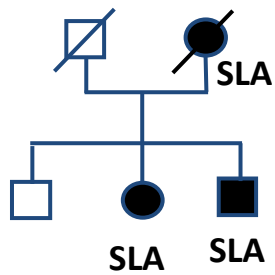
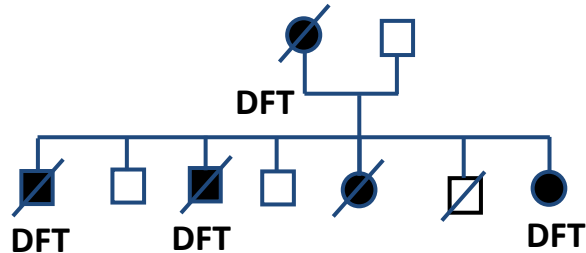
c9orf72: Un lien génétique majeur entre DLFT et SLA

A Hexanucleotide Repeat Expansion in *C9ORF72* Is the Cause of Chromosome 9p21-Linked ALS-FTD

Alan E. Renton,^{1,38} Elisa Majounie,^{2,39} Adrian Waite,^{3,38} Javier Simón-Sánchez,^{4,5,38} Sara Rollinson,^{6,38} J. Raphael Gibbs,^{7,8,38} Jennifer C. Schymick,^{1,38} Hannu Laaksovirta,^{9,38} John C. van Swieten,^{4,5,38} Liisa Mallykangas,¹⁰ Hannu Kalimo,¹⁰ Anders Paetau,¹⁰ Yevgeniya Abramzon,¹ Anne M. Remes,¹¹ Alice Kaganovich,¹² Sonja W. Scholz,^{2,13,14} Jamie Duckworth,⁷ Jinhuai Ding,⁷ Daniel W. Harmer,¹⁵ Dena G. Hernandez,^{2,8} Janeil O. Johnson,^{1,8} Kin Mok,⁸ Mina Ryten,⁸ Danyah Trabzuni,⁸ Rita J. Guerreiro,⁸ Richard W. Orell,¹⁶ James Neal,¹⁷ Alex Murray,¹⁸ Justin Pearson,³ Iris E. Jansen,⁴ David Sondervan,⁴ Harro Seelaar,⁵ Derek Blaak,³ Kate Young,⁵ Nicola Halliwell,⁵ Janis Bennion Callister,⁶ Greg Tolison,⁶ Anna Richardson,¹⁰ Alex Gerhard,¹⁰ Julie Snowden,¹⁰ David Mann,¹⁰ David Neary,¹⁰ Michael A. Nalls,² Terhi Pernalinna,⁹ Liila Jansson,⁹ Veli-Matti Isoviita,⁹ Anna-Lotta Kaivorinne,¹¹ Maarit Hölttä-Vuori,²⁰ Elina Ikonen,²⁰ Raimo Sulkava,²¹

Expanded GGGGCC Hexanucleotide Repeat in Noncoding Region of *C9ORF72* Causes Chromosome 9p-Linked FTD and ALS

Mariely DeJesus-Hernandez,^{1,10} Ian R. Mackenzie,^{2,10,*} Bradley F. Boeve,³ Adam L. Boxer,⁴ Matt Baker,¹ Nicola J. Rutherford,¹ Alexandra M. Nicholson,¹ Nicole A. Finch,¹ Heather Flynn,⁵ Jennifer Adamson,¹ Naomi Kouri,¹ Aleksandra Wojtas,¹ Pheth Sengdy,⁶ Ging-Yuek R. Hsiung,⁶ Anna Karydas,⁴ William W. Seeley,⁴ Keith A. Josephs,³ Giovanni Coppola,⁷ Daniel H. Geschwind,⁷ Zbigniew K. Wszolek,⁸ Howard Feldman,^{6,8} David S. Knopman,³ Ronald C. Petersen,³ Bruce L. Miller,⁴ Dennis W. Dickson,¹ Kevin B. Boylan,⁸ Neill R. Graff-Radford,⁸ and Rosa Rademakers^{1,*}



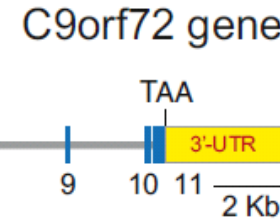
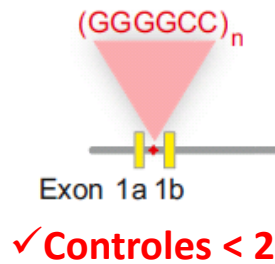
c9orf72: Un lien génétique majeur entre DLFT et SLA

A Hexanucleotide Repeat Expansion in C9ORF72 Is the Cause of Chromosome 9p21-Linked ALS-FTD

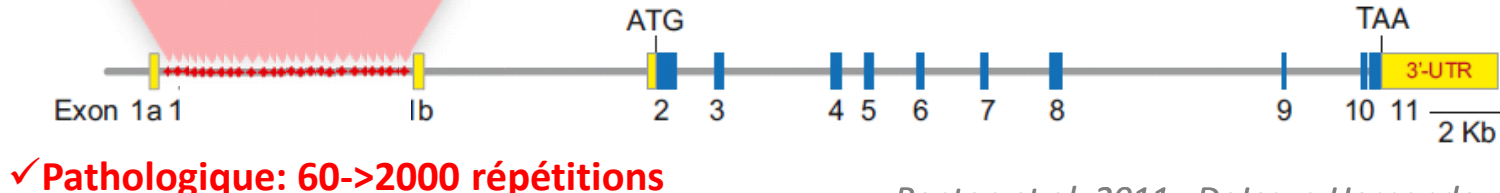
Alan E. Renton,^{1,38} Elisa Majounie,^{2,38} Adrian Waite,^{3,38} Javier Simón-Sánchez,^{4,5,38} Sara Rollinson,^{6,38} J. Raphael Gibbs,^{7,8,38} Jennifer C. Schymick,^{1,38} Hannu Laaksovirta,^{9,38} John C. van Swieten,^{4,5,38} Liisa Mälykangas,¹⁰ Hannu Kalimo,¹⁰ Anders Paetau,¹⁰ Yevgeniya Abramzon,¹ Anne M. Remes,¹¹ Alice Kaganovich,¹² Sonja W. Scholz,^{2,13,14} Jamie Duckworth,⁷ Jinhuai Ding,⁷ Daniel W. Harmer,¹⁵ Dena G. Hernandez,^{2,8} Janeil O. Johnson,^{1,8} Kin Mok,⁸ Mina Ryten,⁸ Danyah Trabzuni,⁸ Rita J. Guerreiro,⁸ Richard W. Orell,¹⁶ James Neal,¹⁷ Alex Murray,¹⁸ Justin Pearson,³ Iris E. Jansen,⁴ David Sondervan,⁴ Harro Seelaar,⁵ Derek Blaak,³ Kate Young,⁵ Nicola Halliwell,⁵ Janis Bennion Callister,⁶ Greg Toulson,⁶ Anna Richardson,¹⁰ Alex Gerhard,¹⁰ Julie Snowden,¹⁰ David Mann,¹⁰ David Neary,¹⁰ Michael A. Nalls,² Terhi Pernalinna,⁹ Liila Jansson,⁹ Veli-Matti Isoviita,⁹ Anna-Lotta Kaivorinne,¹¹ Maarit Hölttä-Vuori,²⁰ Elina Ikonen,²⁰ Raimo Sulkava,²¹

Expanded GGGGCC Hexanucleotide Repeat in Noncoding Region of C9ORF72 Causes Chromosome 9p-Linked FTD and ALS

Mariely DeJesus-Hernandez,^{1,10} Ian R. Mackenzie,^{2,10,*} Bradley F. Boeve,³ Adam L. Boxer,⁴ Matt Baker,¹ Nicola J. Rutherford,¹ Alexandra M. Nicholson,¹ Nicole A. Finch,¹ Heather Flynn,⁵ Jennifer Adamson,¹ Naomi Kouri,¹ Aleksandra Wojtas,¹ Pheth Sengdy,⁶ Ging-Yuek R. Hsiung,⁶ Anna Karydas,⁴ William W. Seeley,⁴ Keith A. Josephs,³ Giovanni Coppola,⁷ Daniel H. Geschwind,⁷ Zbigniew K. Wszolek,⁸ Howard Feldman,^{6,8} David S. Knopman,³ Ronald C. Petersen,³ Bruce L. Miller,⁴ Dennis W. Dickson,¹ Kevin B. Boylan,⁸ Neill R. Graff-Radford,⁸ and Rosa Rademakers^{1,*}

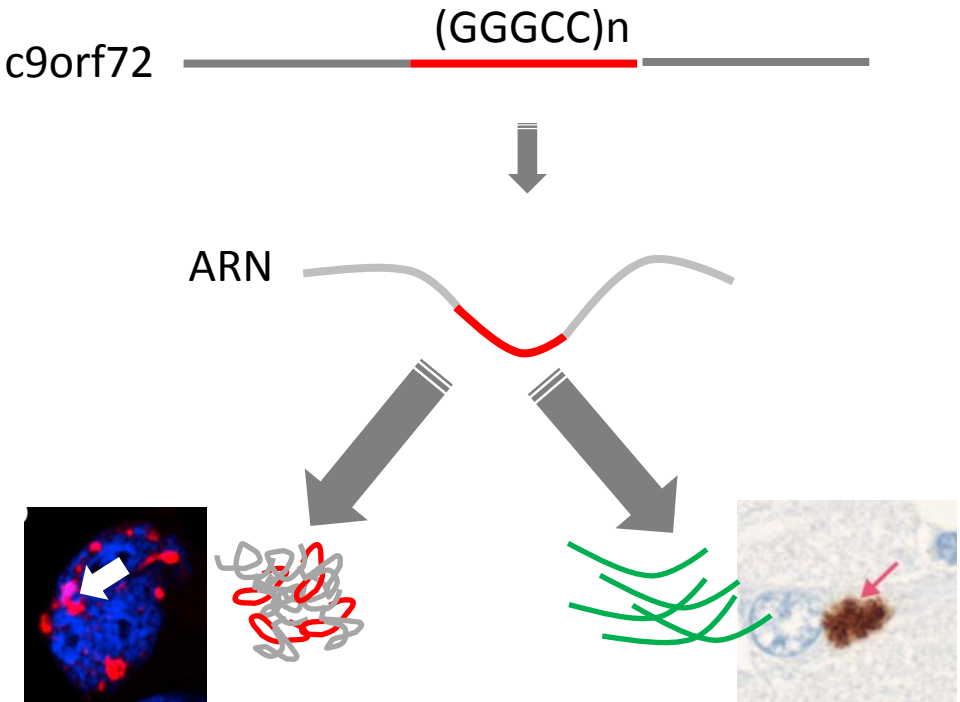


(GGGGCC GGGGCC GGGGCC GGGGCC GGGGCC...) n 60-1600



Perspectives thérapeutiques

Thérapie antisense dans les DLFT/SLA c9orf72



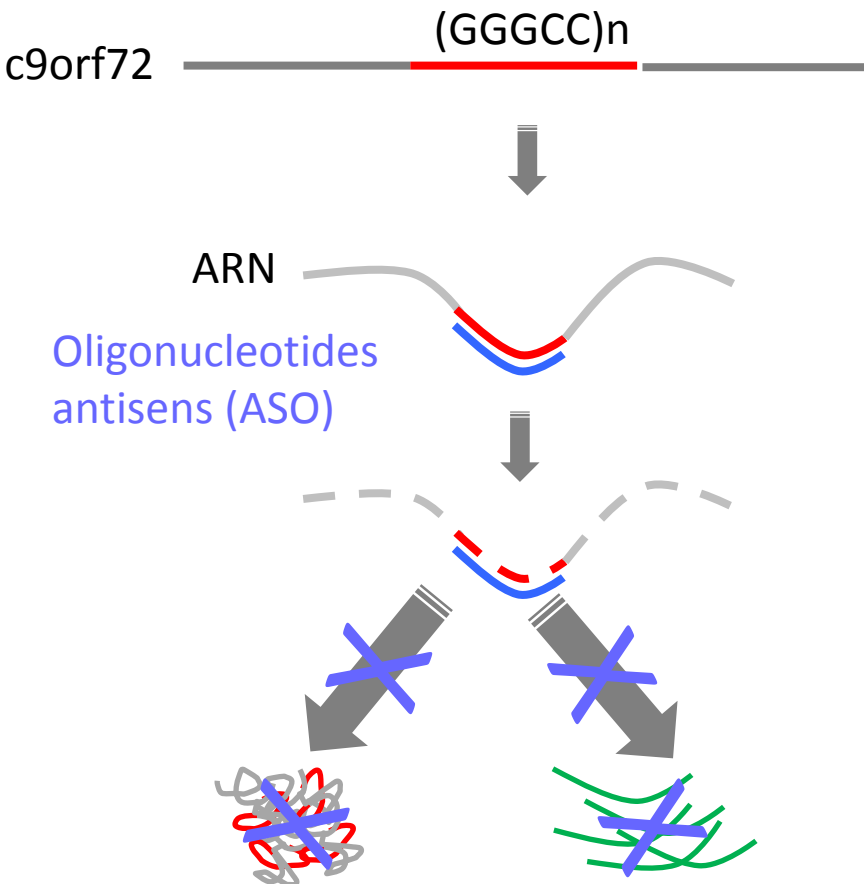
Agrégation d'ARN
dans les noyaux

Traduction 'autonome' de
l'expansion (dipeptides)

- Foci d'ARN
- Agrégats de dipeptides

Perspectives thérapeutiques

Thérapie antisense dans les DLFT/SLA c9orf72



Targeted degradation of sense and antisense *C9orf72* RNA foci as therapy for ALS and frontotemporal degeneration

Clotilde Lagier-Tourenne, Michael Baughn, [...], and John Ravits

Discovery of a Biomarker and Lead Small Molecules to Target r(GGGGCC)-Associated Defects in c9FTD/ALS

Zhaoming Su, Yongjie Zhang, Tania F. Gendron, Peter O. Bauer, Jeannie Chew, Wang-Yong Yang, Erik Fostvedt, Karen Jansen-West, Veronique V. Belzil, Pamela Desaro, Amelia Johnston, Karen Overstreet, Seok-Yoon Oh, Peter K. Todd, James D. Berry, Merit E. Cudkowicz, Bradley F. Boeve, Dennis Dickson, Mary Kay Floeter, Bryan J. Traynor, Claudia Morelli, Antonia Ratti, Vincenzo Silani, Rosa Rademakers, Robert H. Brown, Jeffrey D. Rothstein, Kevin B. Boylan, Leonard Petrucci, * and Matthew D. Disney*

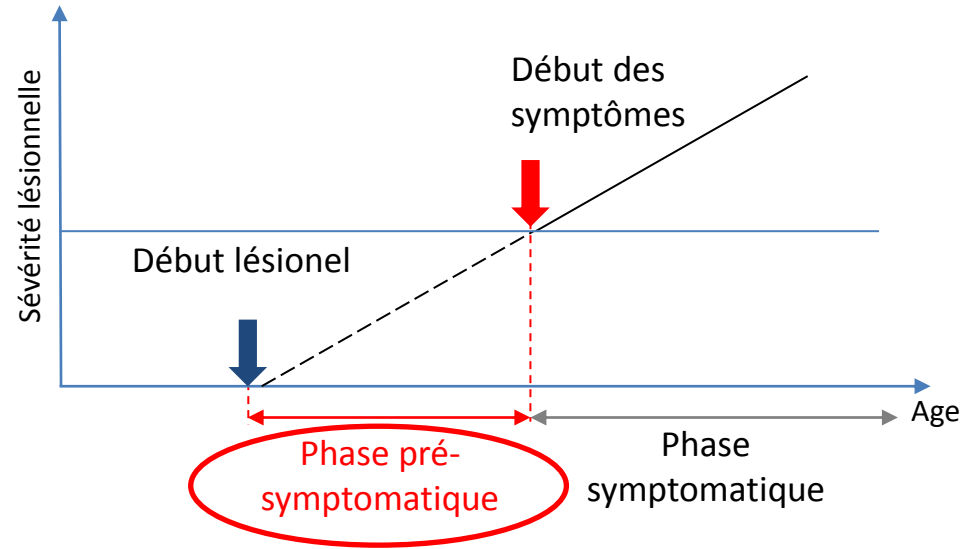
Quels marqueurs précoce pour les essais thérapeutiques ?

L'initiation des traitements à la phase symptomatique de la maladie est inefficace
(lésions neuronales irréversibles, cf. maladie d'Alzheimer)

Quels marqueurs précoce pour les essais thérapeutiques ?

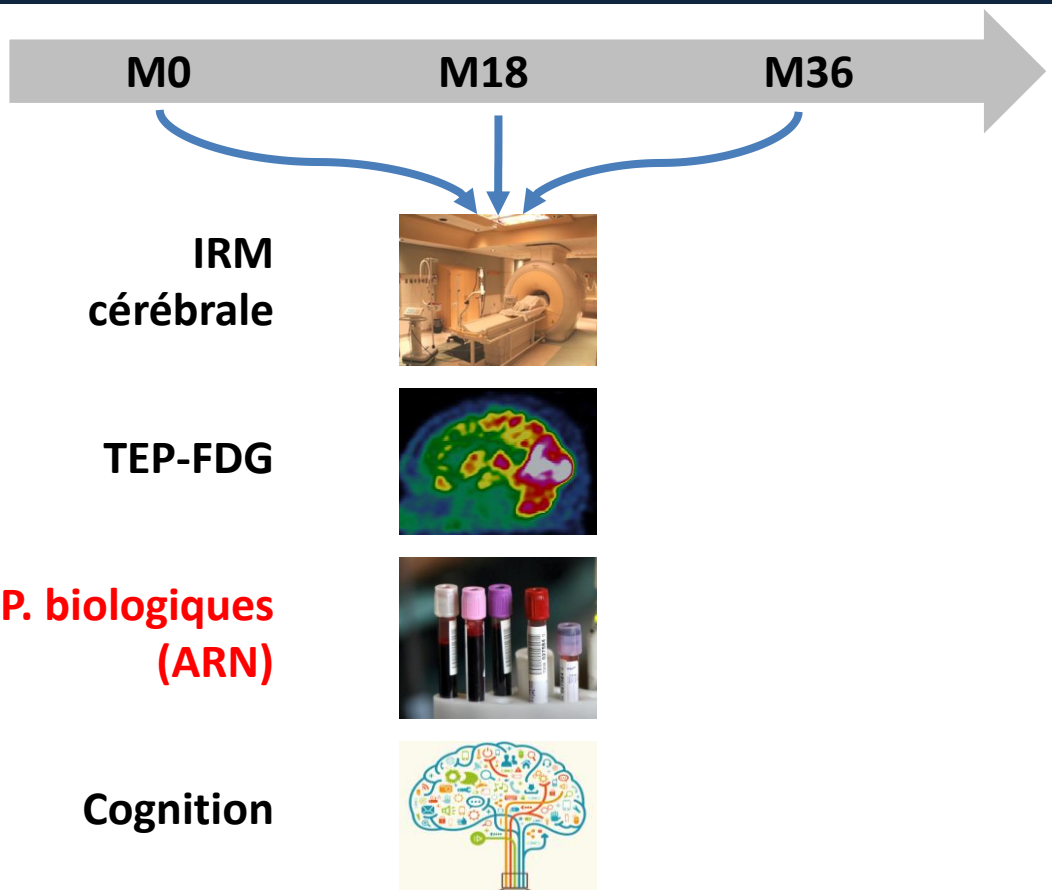
L'initiation des traitements à la phase symptomatique de la maladie est inefficace
(lésions neuronales irréversibles, cf. maladie d'Alzheimer)

- La phase symptomatique est précédée d'une longue **phase pré-symptomatique**, cliniquement silencieuse pendant laquelle les lésions neuronales se développent sans symptômes cliniques
- Objectif : **initier des traitements précocement** durant la phase pré-symptomatique de la maladie, avant le début des symptômes et la survenue de lésions irréversibles.



Projet PrevDemAls (2015-2019)

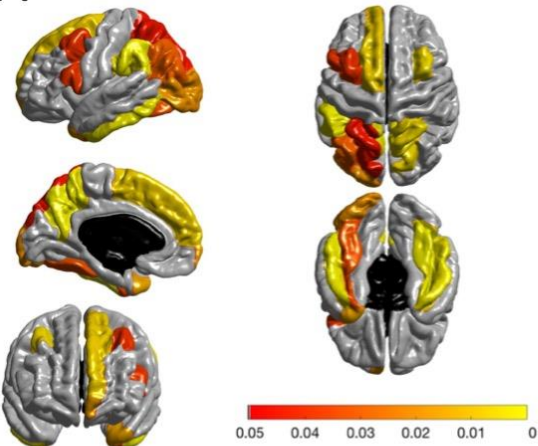
Etude de la phase presymptomatique C9orf72



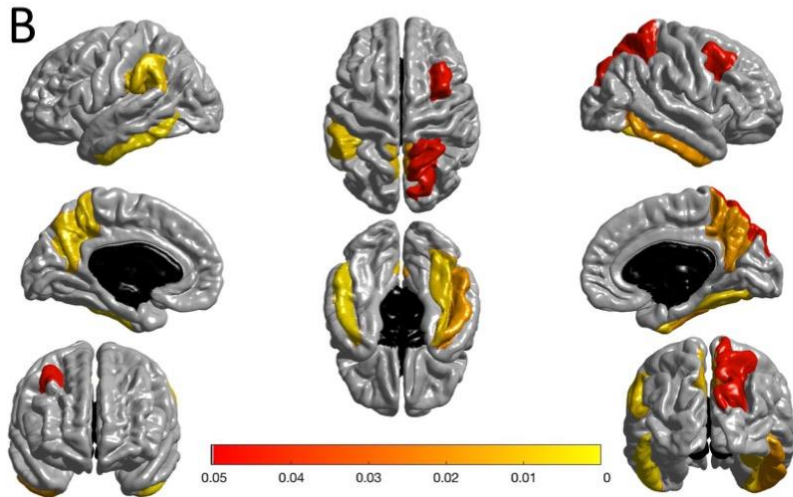
Modifications structurelles et microstructurelles précoces

Modifications structurelles et microstructurelles précoces

A

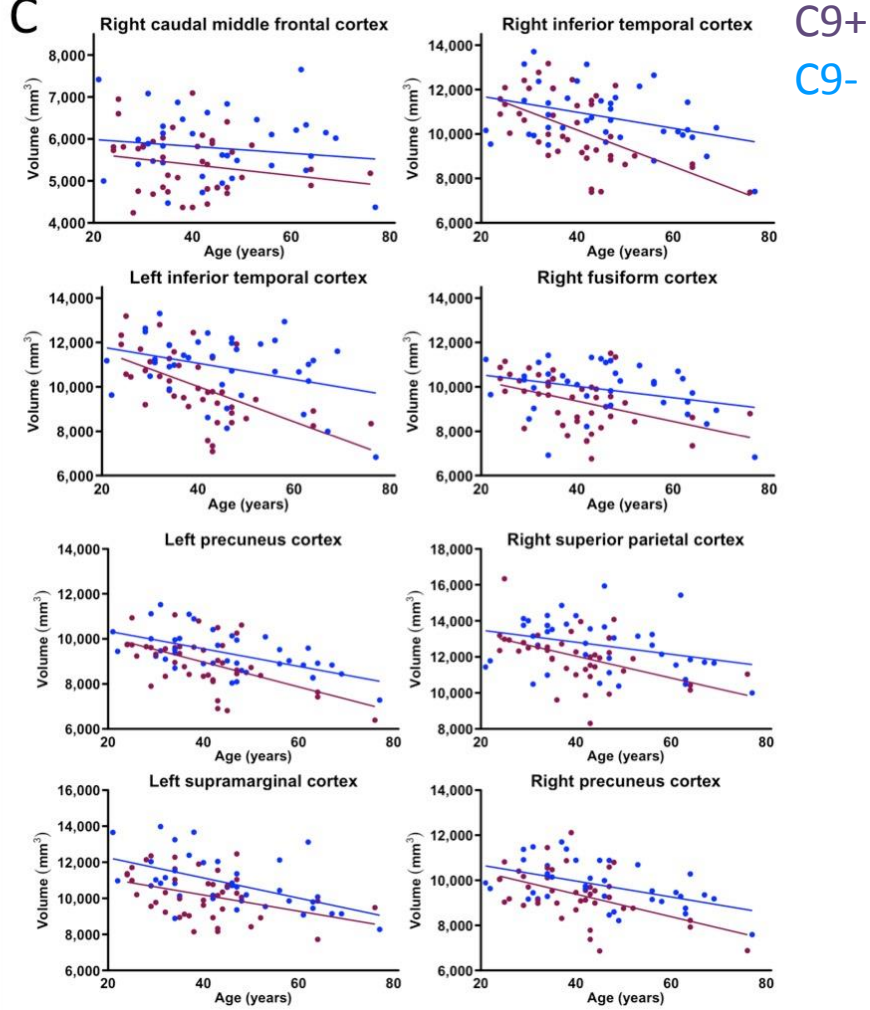


B



A Sans correction; B avec corrections pour comparaisons multiples

C



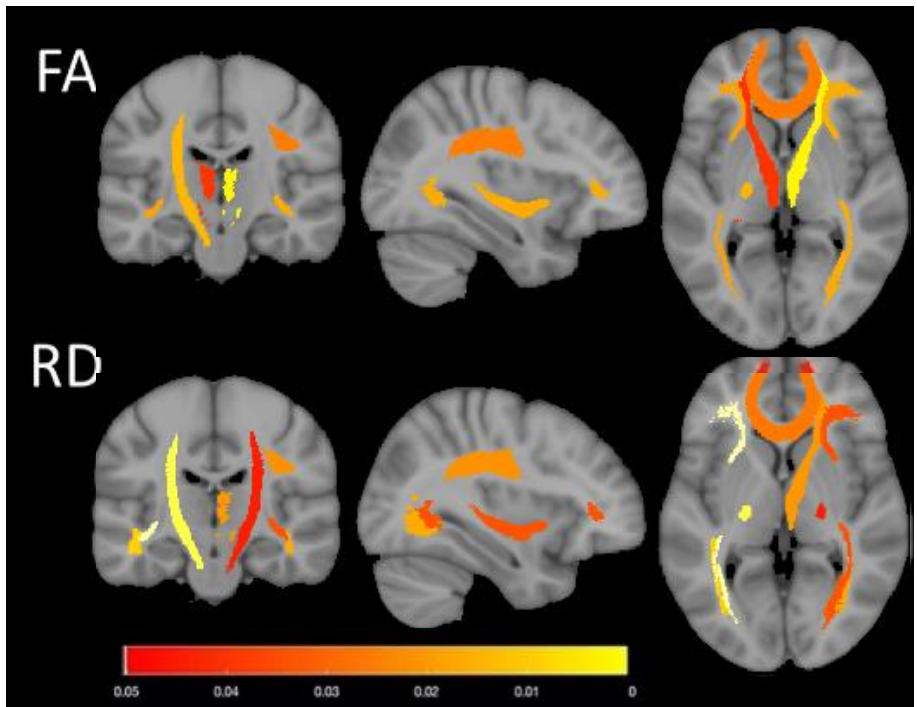
Diffuse cortical atrophy within the associative cortex

Sparing of primary sensorimotor and visual cortex, frontobasal cortex, and superior temporal cortex

C9+
C9-

Modifications structurelles et microstructurelles précoces

IRM de diffusion



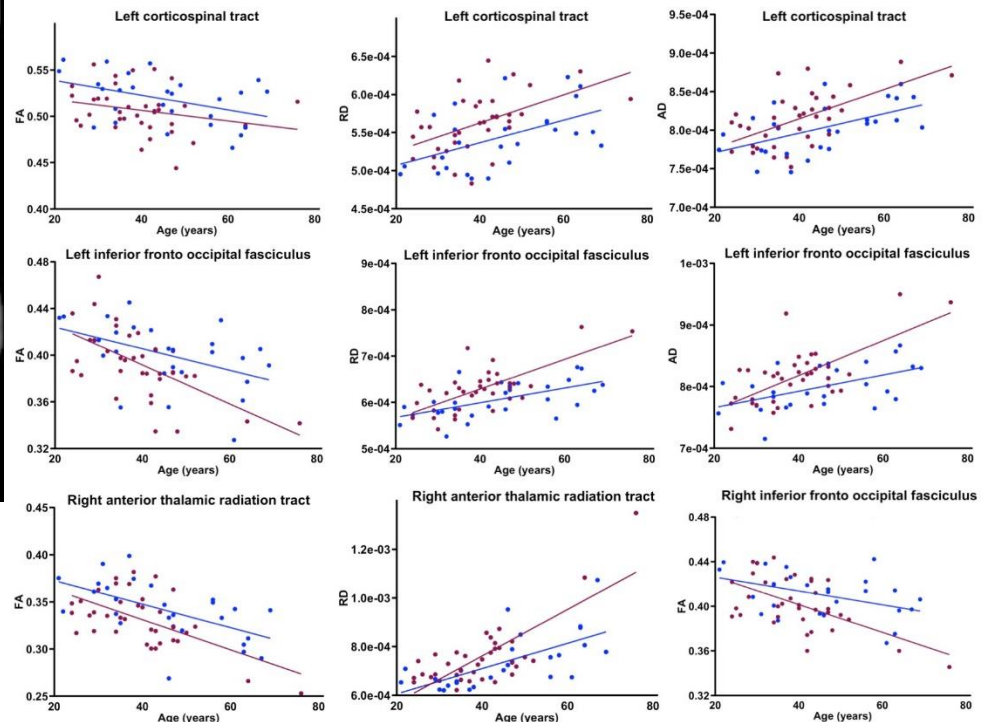
FA: Fractional anisotropy

RD: Radial diffusivity

- Faisceaux connectant les lobes frontaux ou temporaux

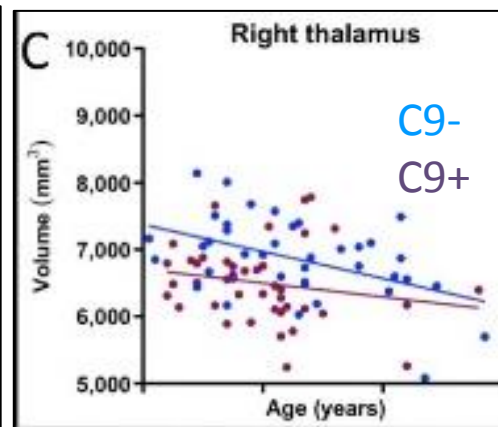
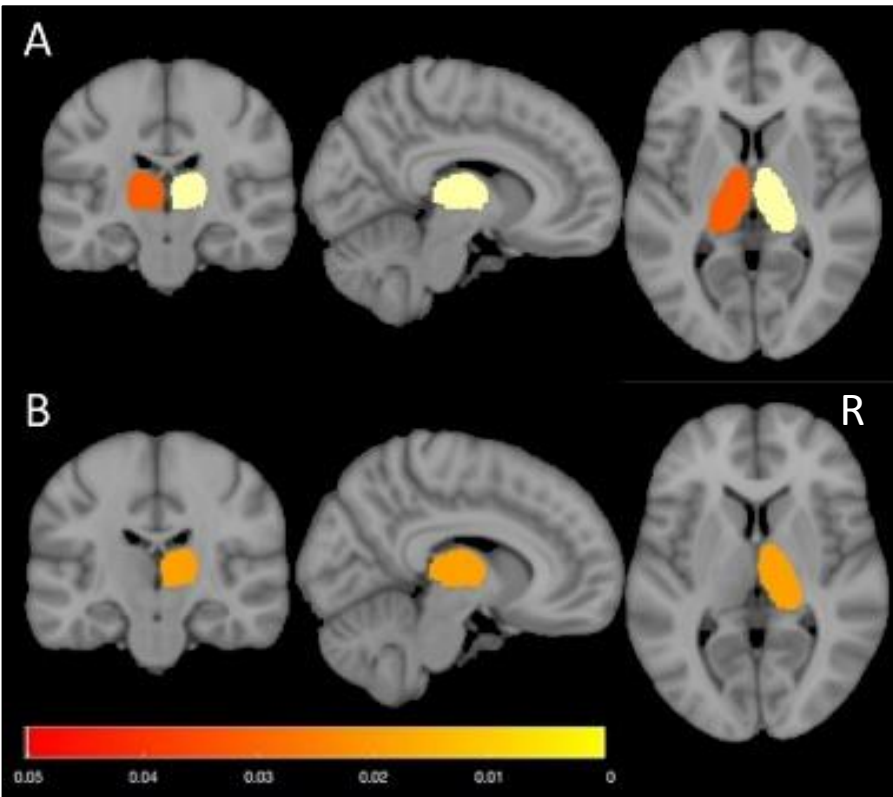
Forces minor, bilateral inferior fronto-occipital fasciculus and right superior longitudinal fasciculus bilateral inferior longitudinal fasciculus

- Faisceaux corticospinaux (G)
- Radiations thalamiques antérieures



Volumes corticaux normalisés en fonction de l'âge

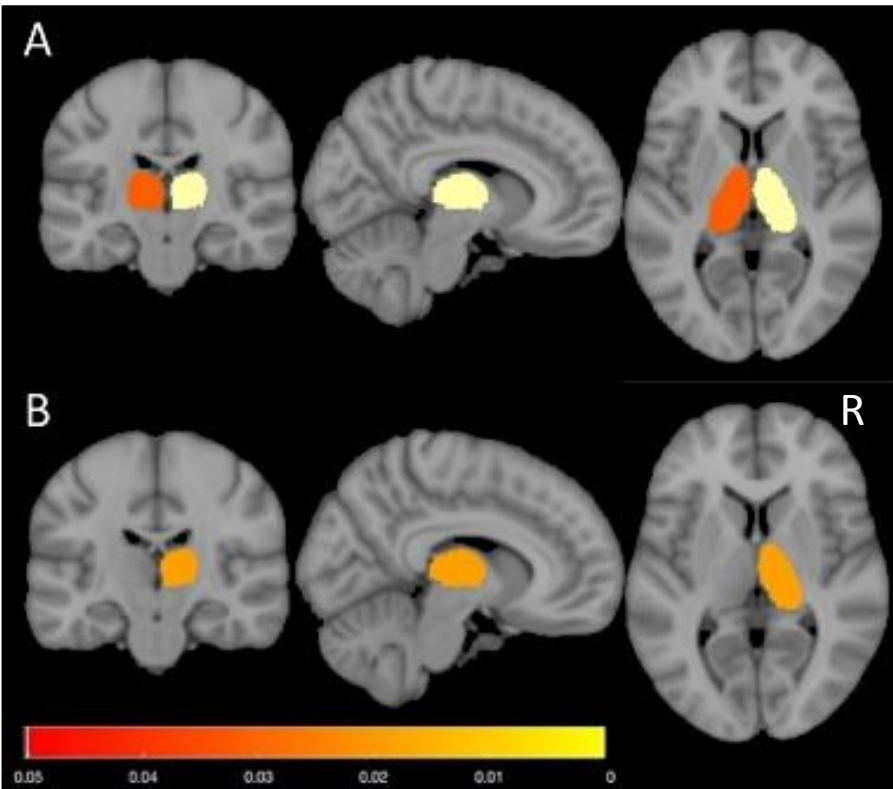
Atteinte thalamique spécifique et précoce



A Sans correction; B avec corrections pour comparaisons multiples

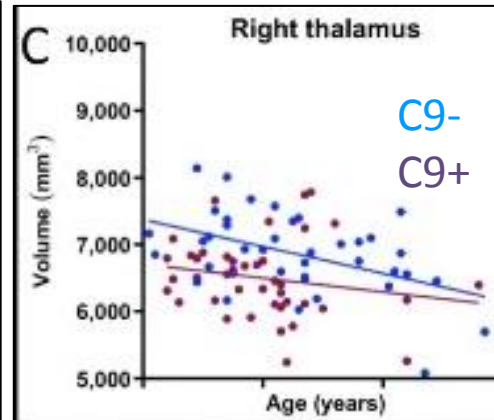
Sous groupe <40 ans

Atteinte thalamique spécifique et précoce



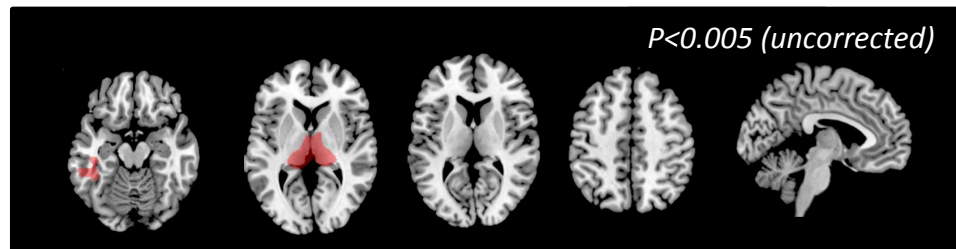
A Sans correction; B avec corrections pour comparaisons multiples

Sous groupe <40 ans



Atrophy in the Thalamus But Not Cerebellum Is Specific for C9orf72 FTD and ALS Patients – An Atlas-Based Volumetric MRI Study

Sonja Schönecker¹, Christiane Neuhofer¹, Markus Otto², Albert Ludolph², Jan Kassubek², Bernhard Landwehrmeyer², Sarah Anderl-Straub², Elisa Semler², Janine Diehl-Schmid³, Catharina Prix¹, Christian Vollmar¹, Juan Fortea⁴, Deutsches FTLD-Konsortium^{2†}, Hans-Jürgen Huppertz⁵, Thomas Arzberger⁶, Dieter Edbauer^{7,8,9}, Berend Feddersen¹⁰, Marianne Dieterich^{1,7,9}, Matthias L. Schroeter^{11,12}, Alexander E. Volk¹³, Klaus Fließbach^{14,15}, Anja Schneider^{14,15}, Johannes Kornhuber¹⁶, Manuel Maler¹⁶, Johannes Prudlo^{17,18}, Holger Jahn^{19,20}, Tobias Boeckh-Behrens²¹, Adrian Danek¹, Thomas Klopstock^{7,9,22} and Johannes Levin^{1,7*}



Col MO Habert, L Miggliaccio

Conclusions de l'analyse baseline

- Modifications structurelles et microstructurelles très précoces (< 40 ans)
Progression lésionnelle lente à la phase PS (âge moyen 65 ans)
- La pathologie C9orf72 est elle aussi une maladie neuro-développementale ?
C9orf72 s'exprime durant la vie fœtale...
Agrégation de pathologie développementale dans les familles C9
- La DLFT C9orf72 est elle une pathologie thalamique ?
Atteinte précoce
Atteinte spécifique
- DLFT C9orf72 est elle une ‘nexopathie’ ?
- Essais thérapeutiques AntiC9... début 2019!

Collaborators & friends

Team members, Genetic lab, ICM

Agnès Camuzat

Vincent Anquetil

Mathieu Barbier

Clémence Fournier

Daisy Rinaldi

Dario Saracino

Sabrina Sayah

Morwena Latouche

Alexis Brice

ARAMIS et LIB

Anne Bertrand

Junhao Wen

Olivier Colliot

Marie-Odile Habert

IMMA & UNPC clinical units

Bruno Dubois

Richard Levy

Lara Migliaccio

Aurélie Guignebert

Carole Azuar

Béatrice Garcin

Sophie Ferrieux

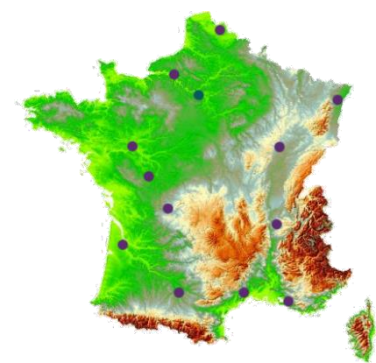
Marie Noguès

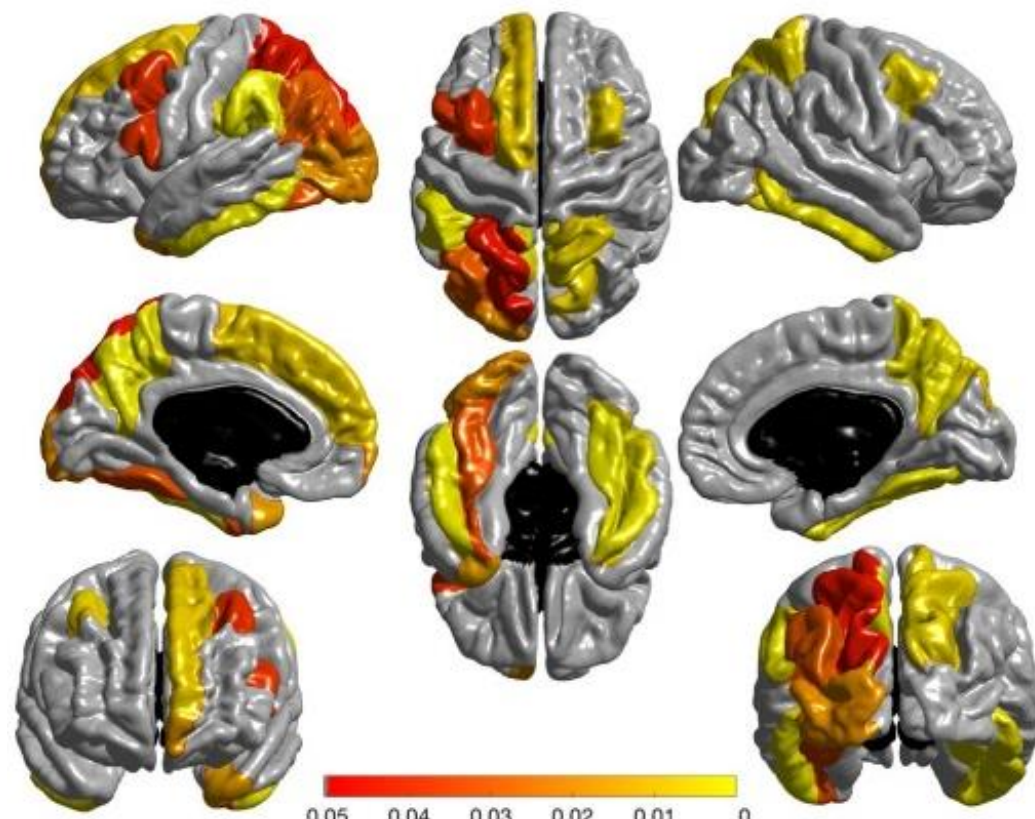
Guilhem Carle

Marion Huot



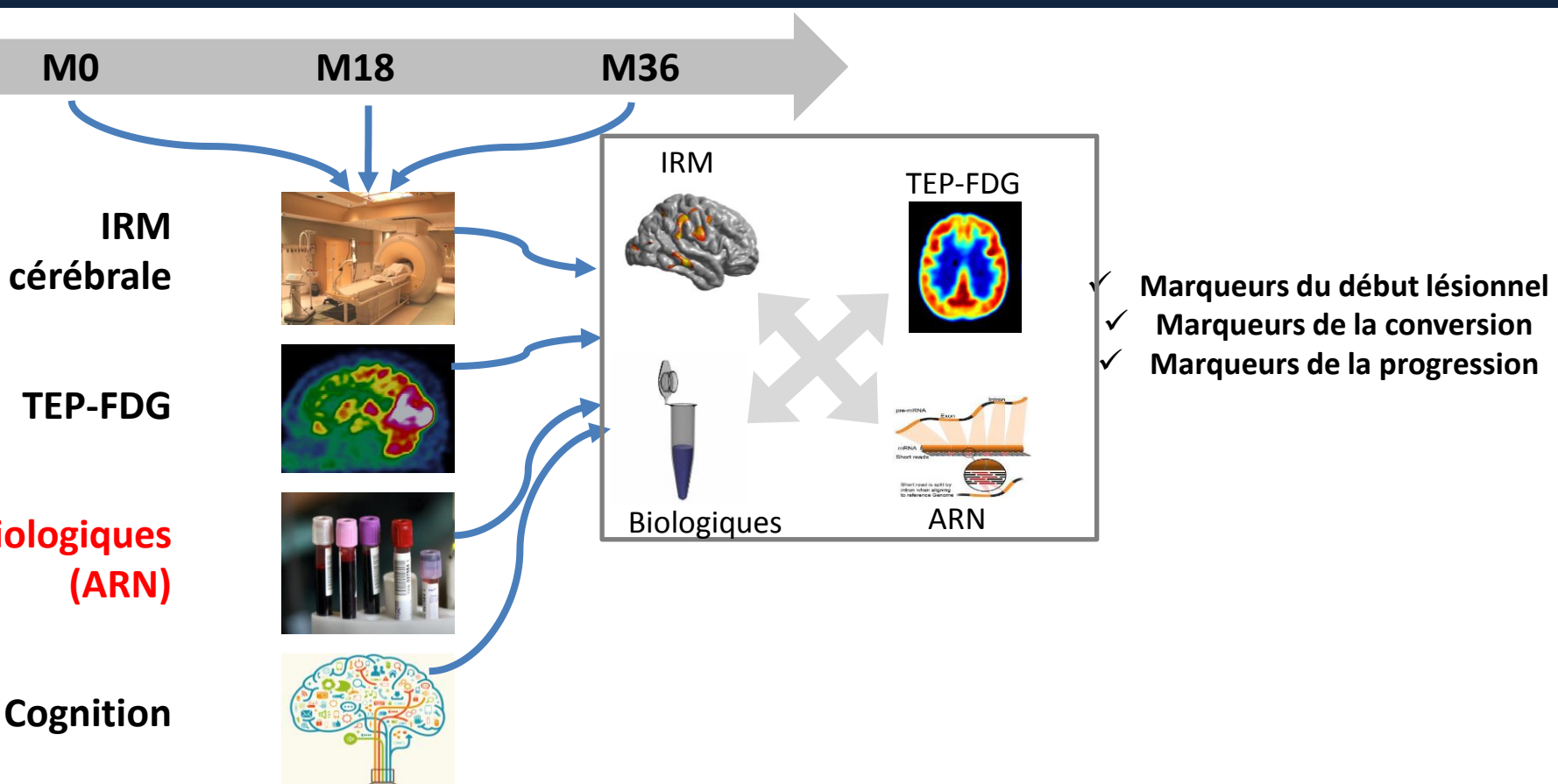
DNA and cell bank, ICM





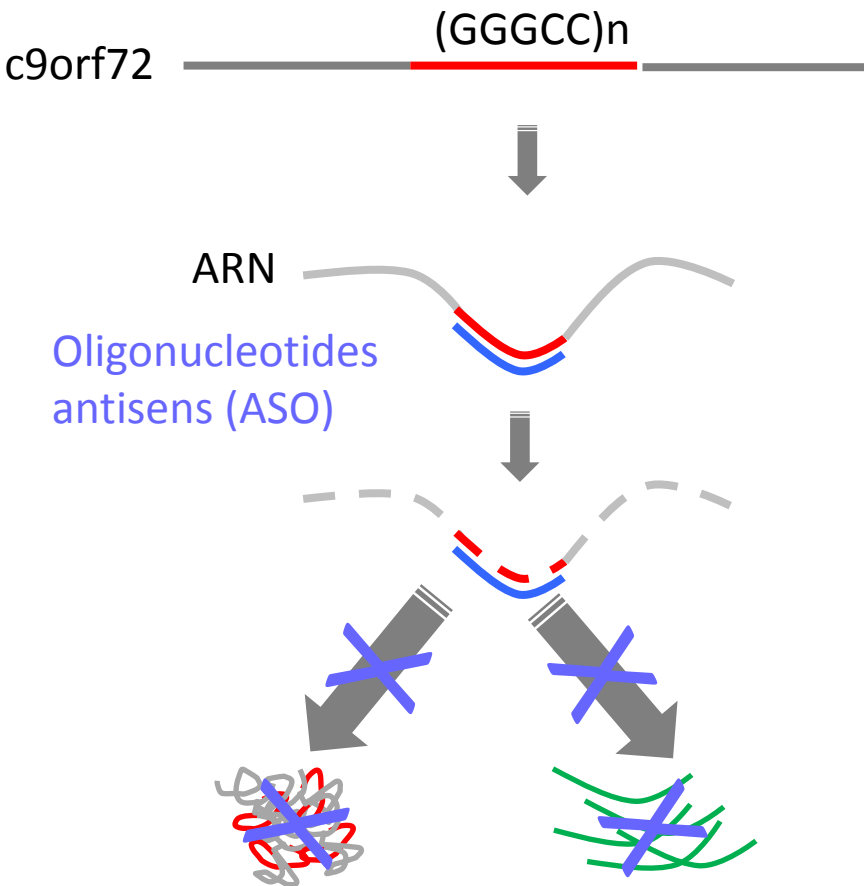
Projet PrevDemAls (2015-2019)

Etude de la phase presymptomatique C9orf72



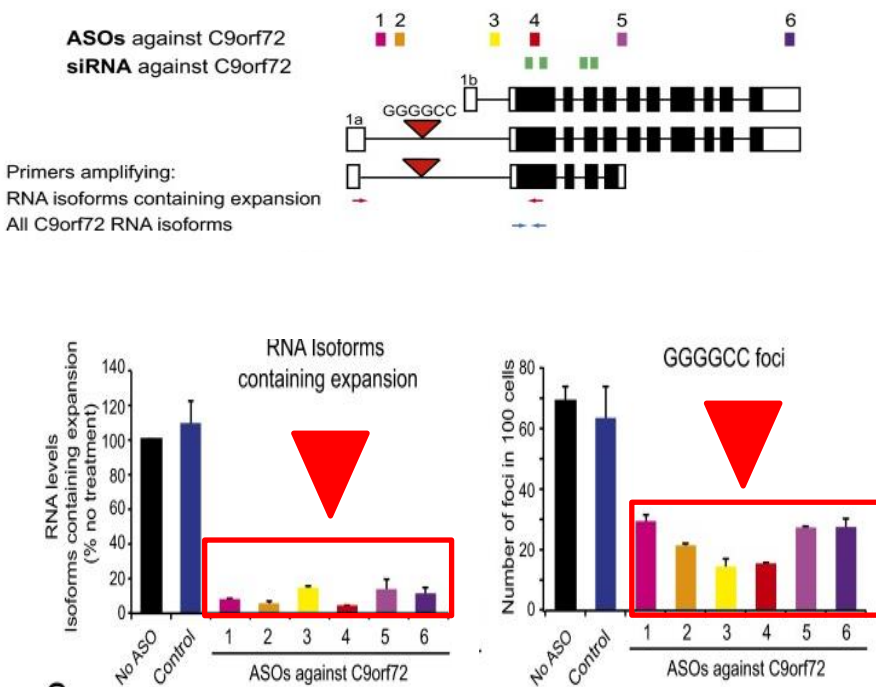
Perspectives thérapeutiques

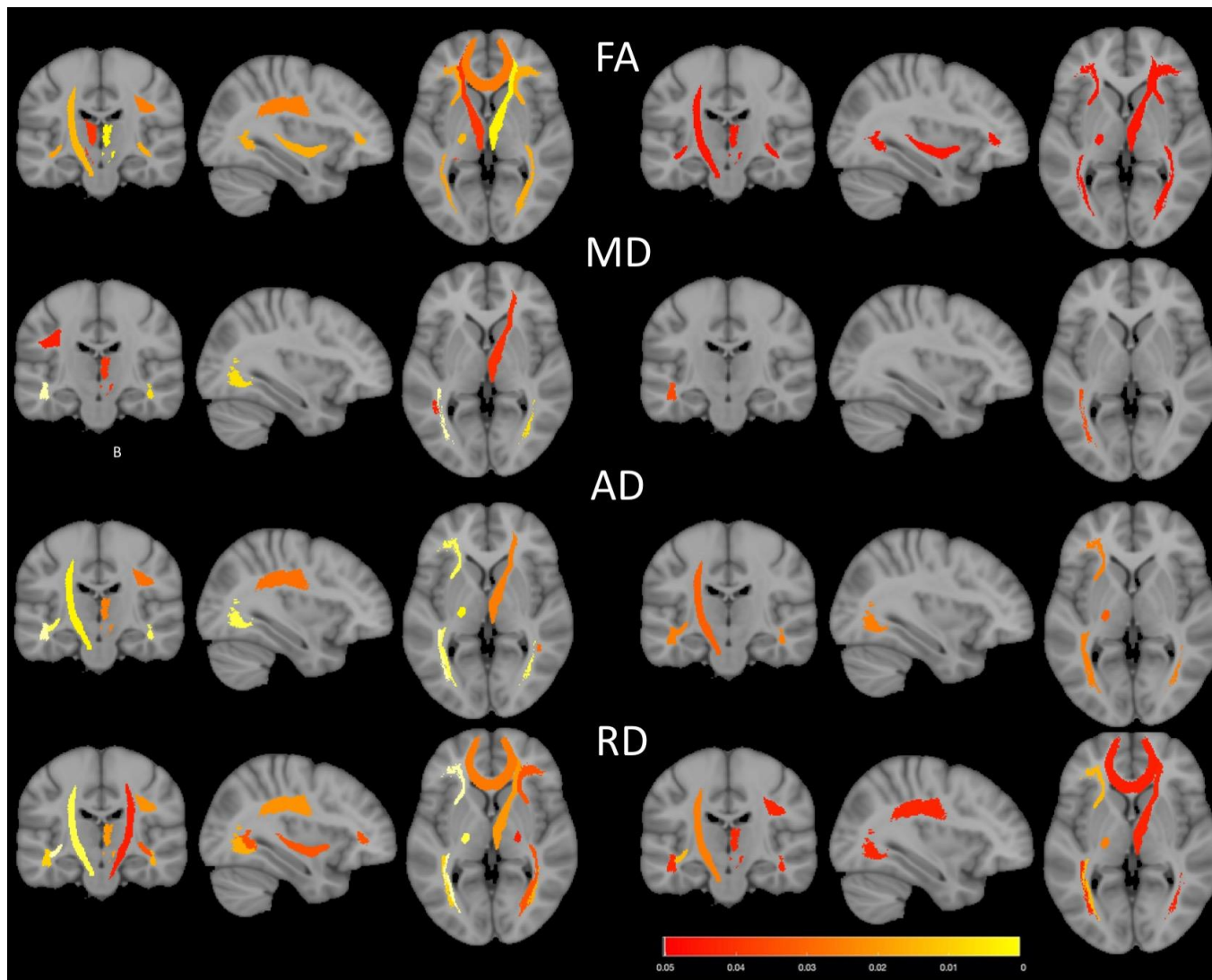
Thérapie antisense dans les DLFT/SLA c9orf72



Targeted degradation of sense and antisense *C9orf72* RNA foci as therapy for ALS and frontotemporal degeneration

Clotilde Lagier-Tourenne, Michael Baughn, [...], and John Ravits







Identifying early brain metabolism changes

18F-Fluorodeoxyglucose PET

2 Mbq/kg of 18F-FDG

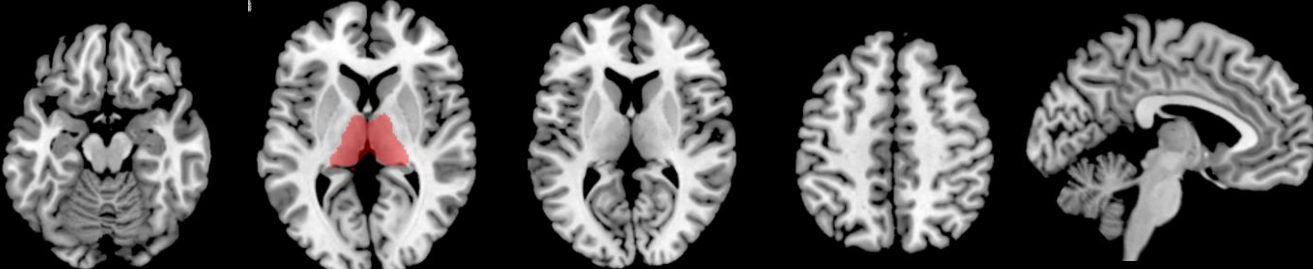
15min 3D acquisition

Whole brain voxel-wise analysis, SPM12

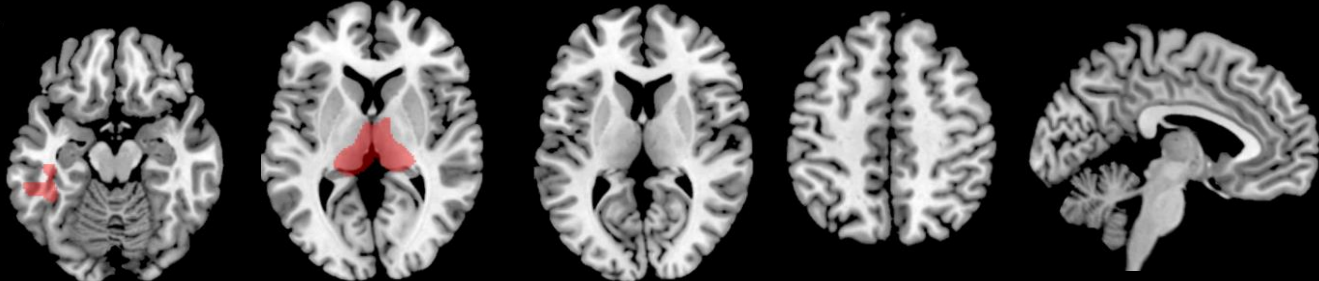
Volume of interest analysis (VOIs)

41 non carriers vs 46 asymptomatic carriers

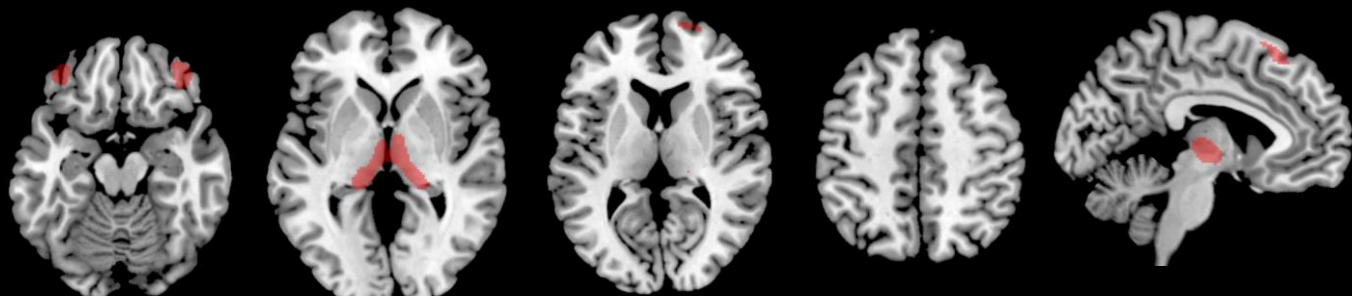
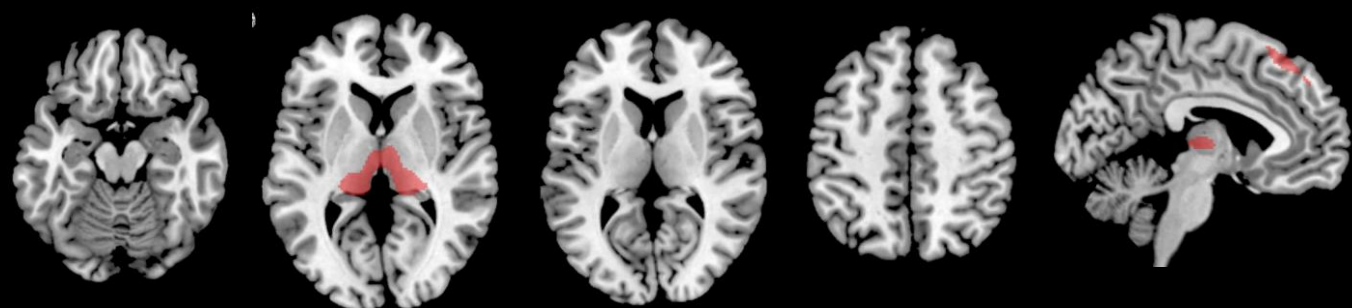
P<0.005 (uncorrected)



Non carriers vs asymptomatic carriers > 40 years

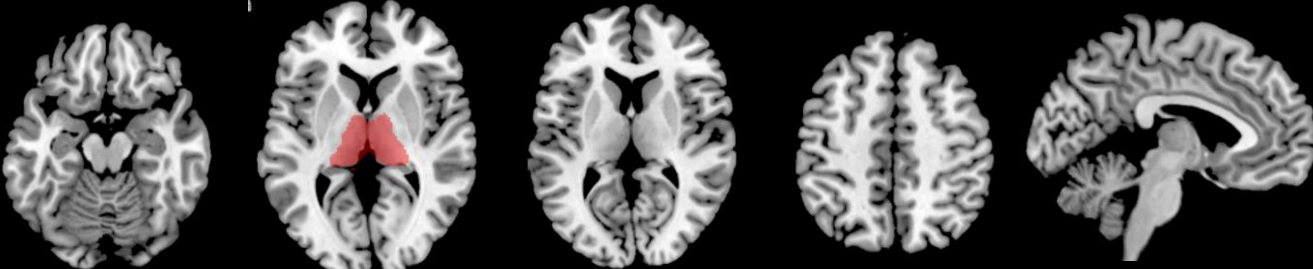


Non carriers vs asymptomatic carriers > 46 years

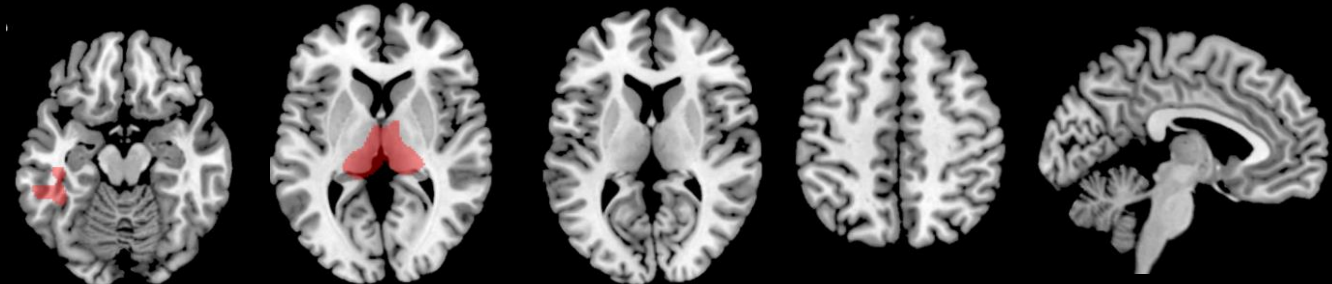


41 non carriers vs 46 asymptomatic carriers

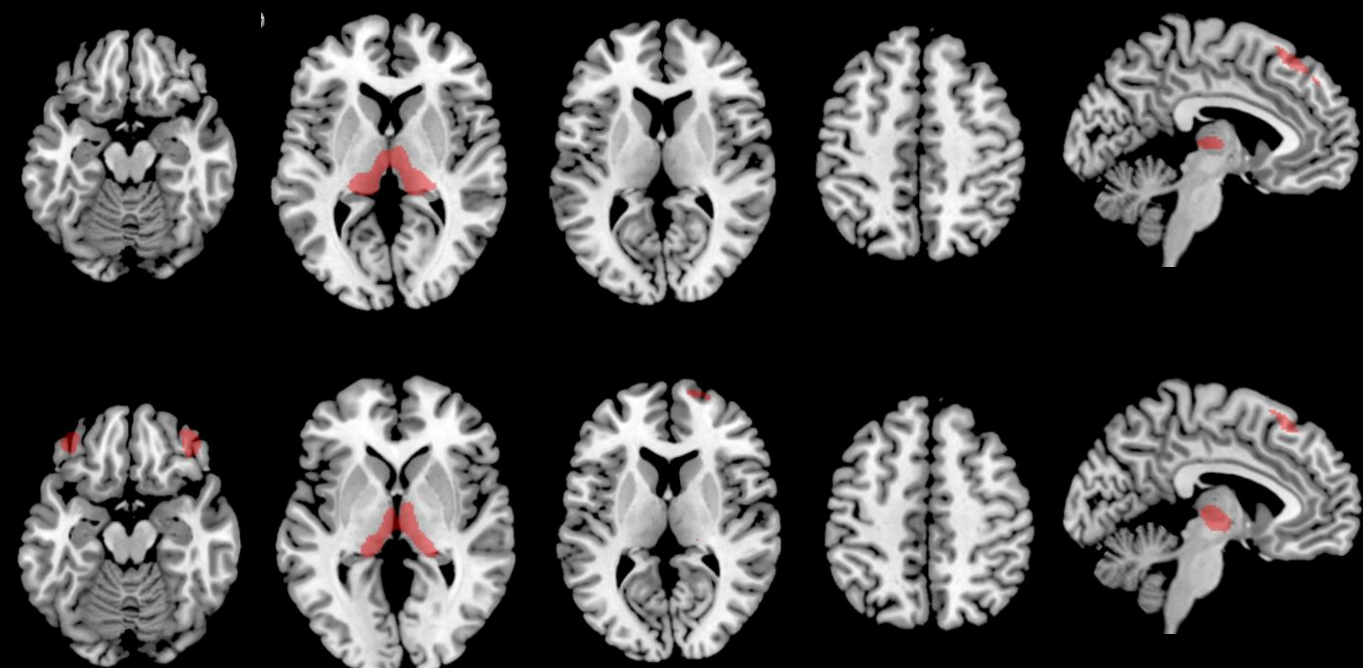
P<0.005 (uncorrected)



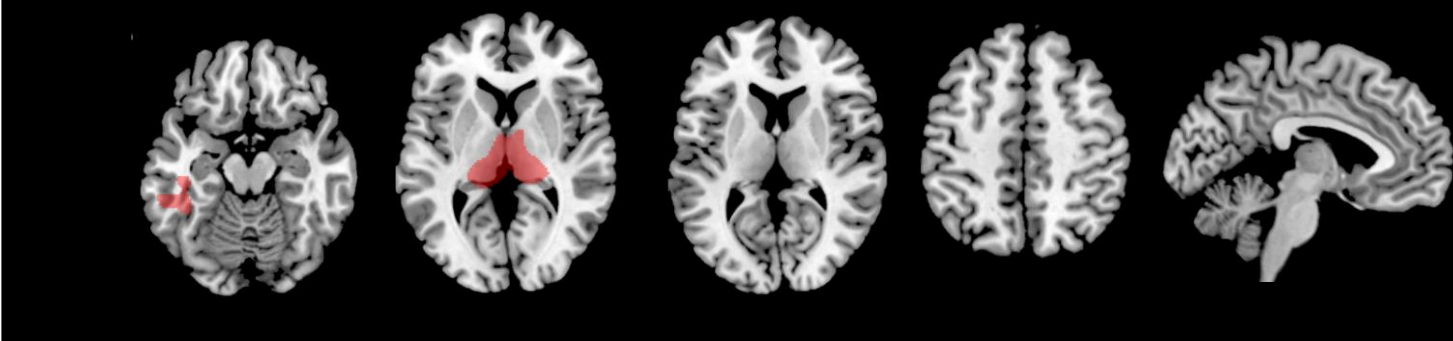
Non carriers vs asymptomatic carriers > 40 years



Non carriers vs asymptomatic carriers > 46 years

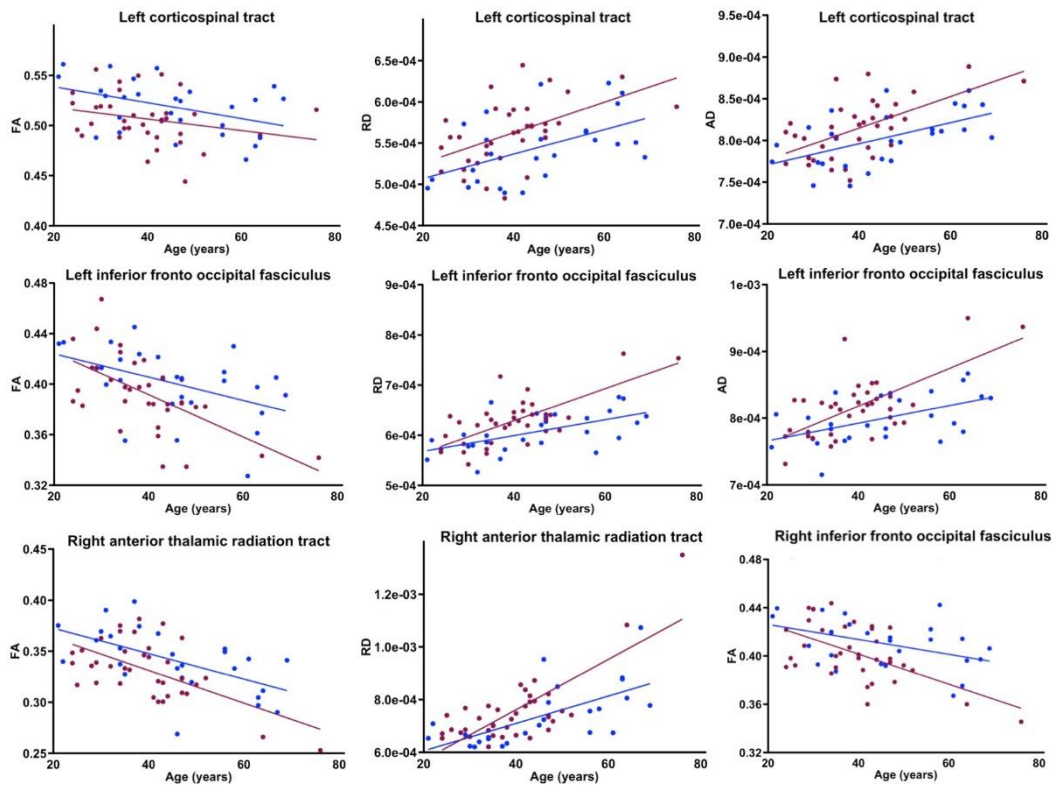


P<0.005 (uncorrected)



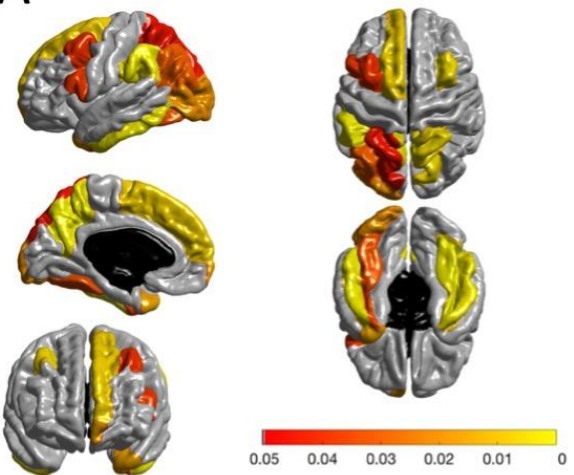
Atrophy in the Thalamus But Not Cerebellum Is Specific for C9orf72 FTD and ALS Patients – An Atlas-Based Volumetric MRI Study

*Sonja Schönecker¹, Christiane Neuhofer¹, Markus Otto², Albert Ludolph²,
Jan Kassubek², Bernhard Landwehrmeyer², Sarah Anderl-Straub², Elisa Semler²,
Janine Diehl-Schmid³, Catharina Prix¹, Christian Vollmar¹, Juan Fortea⁴,
Deutsches FTLD-Konsortium²¹, Hans-Jürgen Huppertz⁵, Thomas Arzberger⁶,
Dieter Edbauer^{7,8,9}, Berend Feddersen¹⁰, Marianne Dieterich^{1,7,9},
Matthias L. Schroeter^{11,12}, Alexander E. Volk¹³, Klaus Fleißbach^{14,15}, Anja Schneider^{14,15},
Johannes Kornhuber¹⁶, Manuel Mäler¹⁶, Johannes Prudlo^{17,18}, Holger Jahn^{19,20},
Tobias Boeckh-Behrens²¹, Adrian Danek¹, Thomas Klopstock^{7,9,22} and Johannes Levin^{1,7*}*

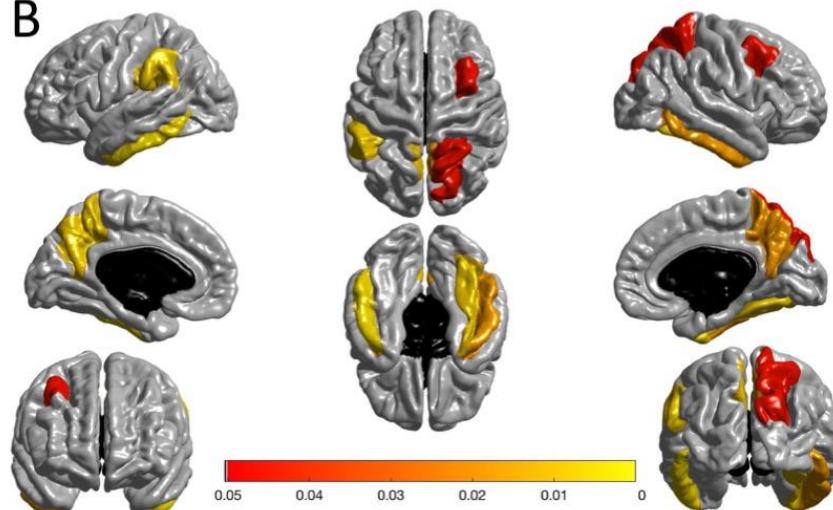


Modifications structurelles et microstructurelles précoces

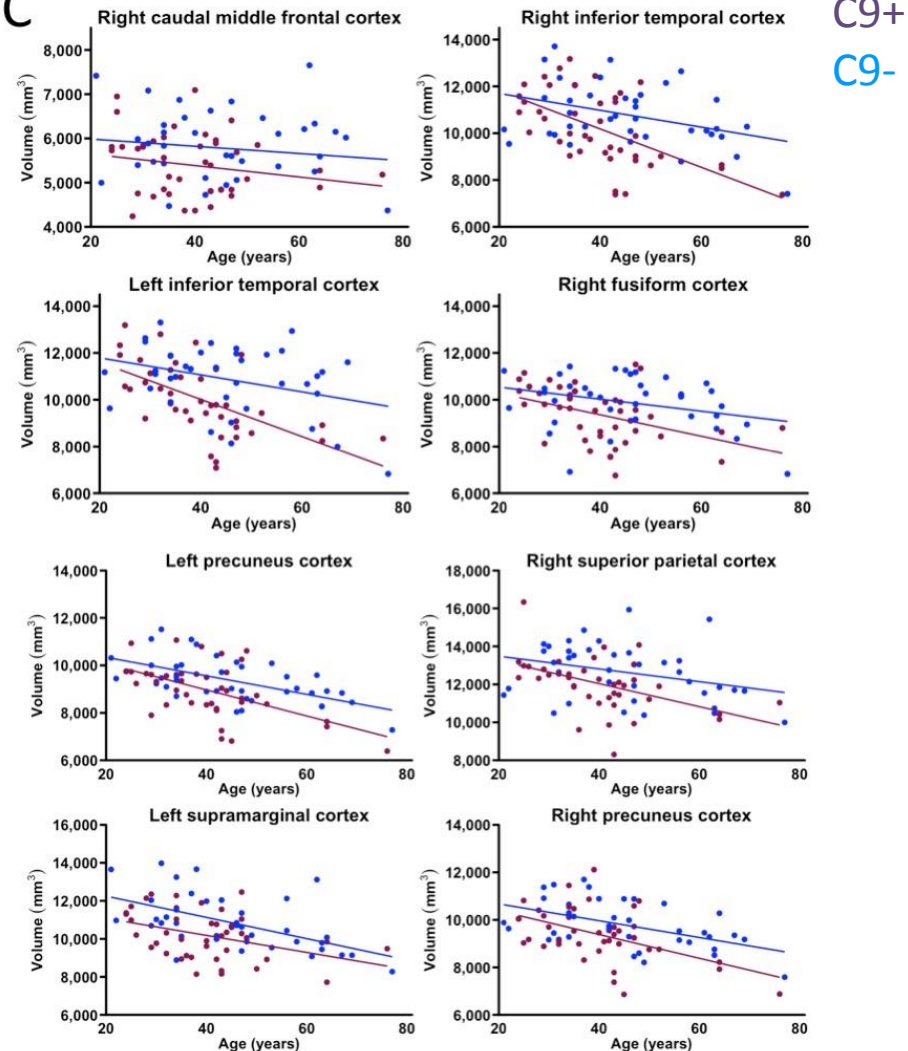
A



B



C



A Sans correction; B avec corrections analyses multiples

Study design & protocol



Team R Levy – FrontalLab -ICM

- 1) Global cognitive efficiency : MMSE, MDRS
- 2) Executive functions : FAB, WCST, TMT
- 3) Memory : FCRT
- 4) Categorical fluency & phonetic fluency, denomination, Semantical words coupling
- 5) Visual gnosies : Semantical coupling images
- 6) Gestual praxies
- 7) Visuospatial abilities : Rey figure copy , barrage test, VOSQP
- 8) Social cognition (SEA), emotional recognition, Moral judgment

Behavioral & psychiatric scales

- 1) EDF (Echelle de dysfonctionnement frontal)
- 2) Frontal Behavioral Inventory
- 3) FTD Rating Scale
- 4) Neuro Psychiatry Inventory
- 5) DIGS, PSAS/SANS, Y-BOCS



**F Eustache,
M Laisney – Caen**

Emotional recognition, social rules,
MASC (ToM), IRMf



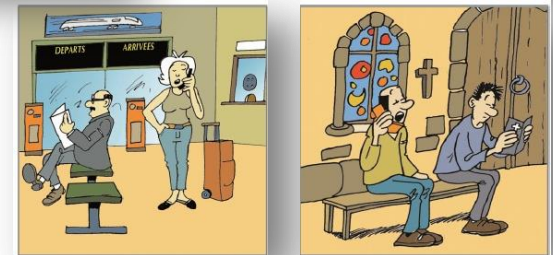
Etude de la phase presymptomatique des DFT C9orf72 et GRN



F Eustache,
M Laisney – Caen

- 1) Global cognitive efficiency : MMSE, MDRS
- 2) Executive functions : FAB, WCST, TMT
- 3) Memory : FCRT
- 4) Categorical fluency & phonetic fluency, denomination, Semantical words coupling
- 5) Visual gnosies : Semantical coupling images
- 6) Gestual praxies
- 7) Visuospatial abilities : Rey figure copy , barrage test, VOSQP
- 8) Social cognition (SEA), emotional recognition

Emotional recognition, social rules,
MASC (ToM), IRMf



Behavioral & psychiatric scales

- 1) EDF (Echelle de dysfonctionnement frontal)
- 2) Frontal Behavioral Inventory
- 3) FTD Rating Scale
- 4) Neuro Psychiatry Inventory



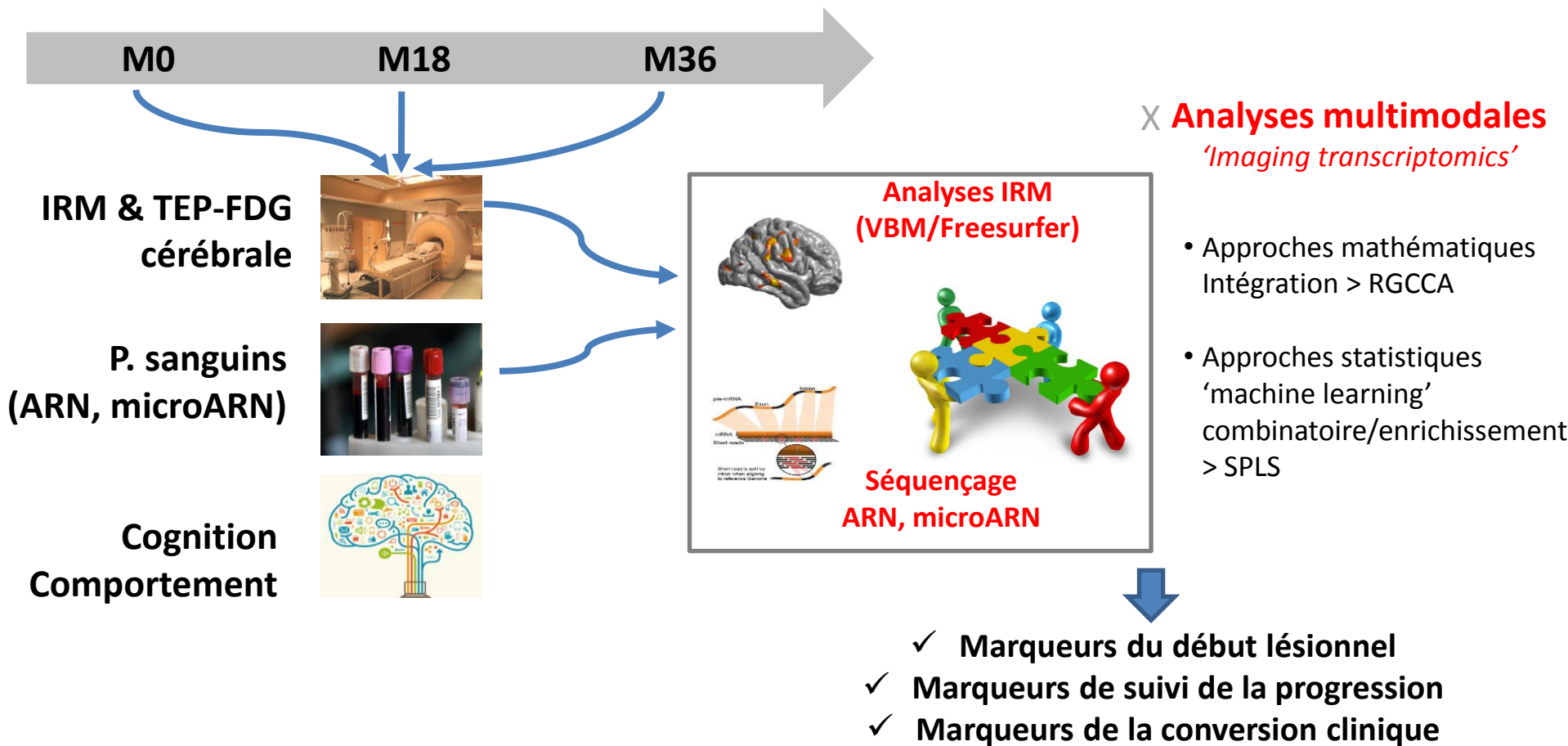
Projet - 'Prédire pour prévenir la DFT et la SLA'

Cohorte de 113 individus issus des familles C9orf72

47 individus porteurs de la mutation pré-symptomatiques (stade pré-symptomatique)

22 patients (stade symptomatique)

44 individus non porteurs (contrôles)



pTDP-43 inclusion-bearing neurons: Regional and sequential patterns

Sequential distribution of pTDP-43 pathology in behavioral
variant frontotemporal dementia (bvFTD)

39 bvFTD
(12 *c9orf72*+; 6 *GRN*+) #

Johannes Brettschneider#

Pattern I:

- Orbital gyri, gyrus rectus, amygdala

Pattern II:

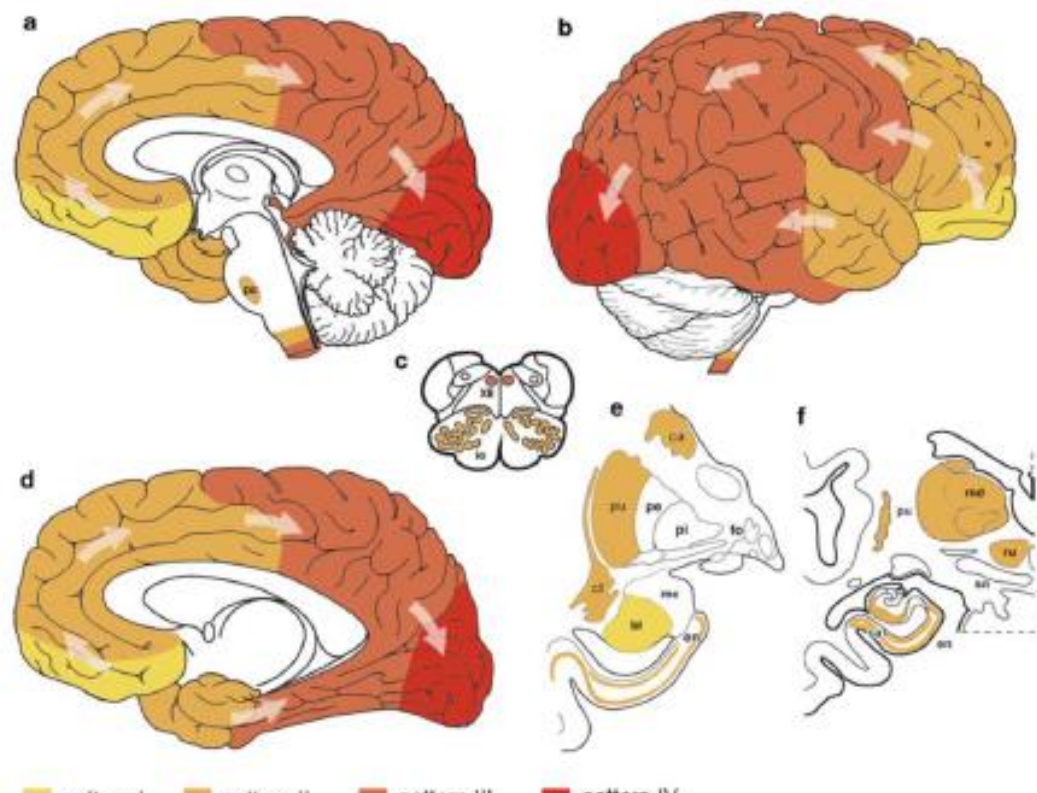
- Middle frontal
- Anterior cingulate gyrus
- Anteromedial temporal lobe
- Superior & medial temporal gyri
- Striatum, red nucleus, thalamus & precerebellar nuclei

Pattern III:

- motor cortex
- bulbar somatomotor neurons
- spinal cord anterior horn

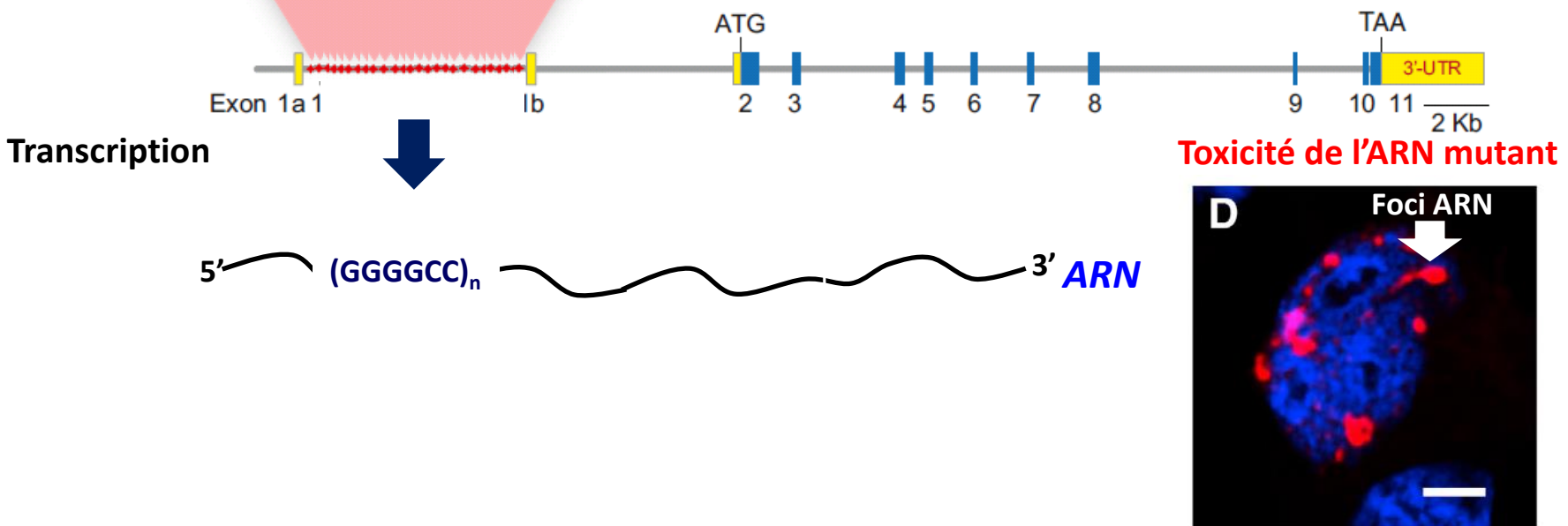
Pattern IV:

- Visual cortex

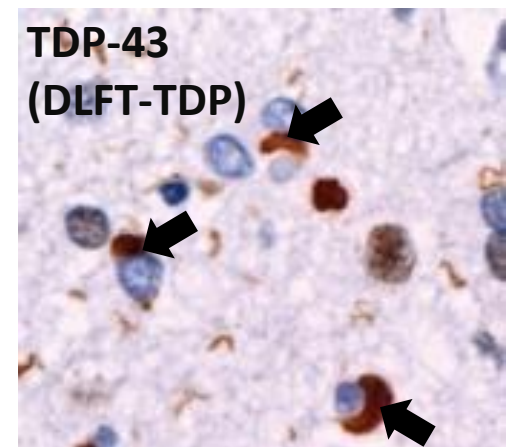
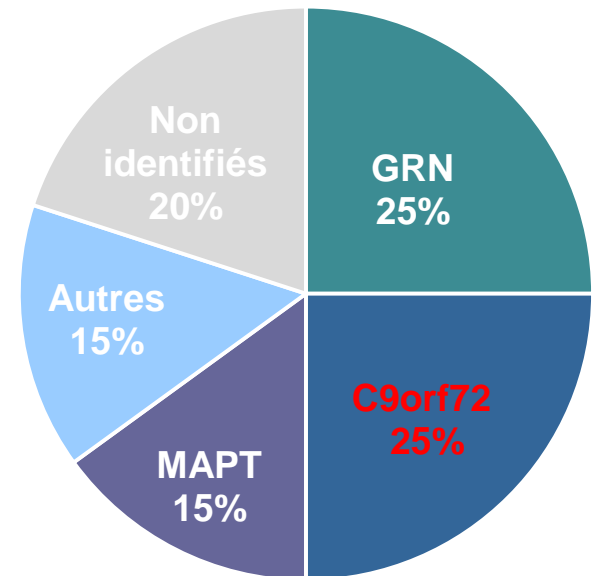
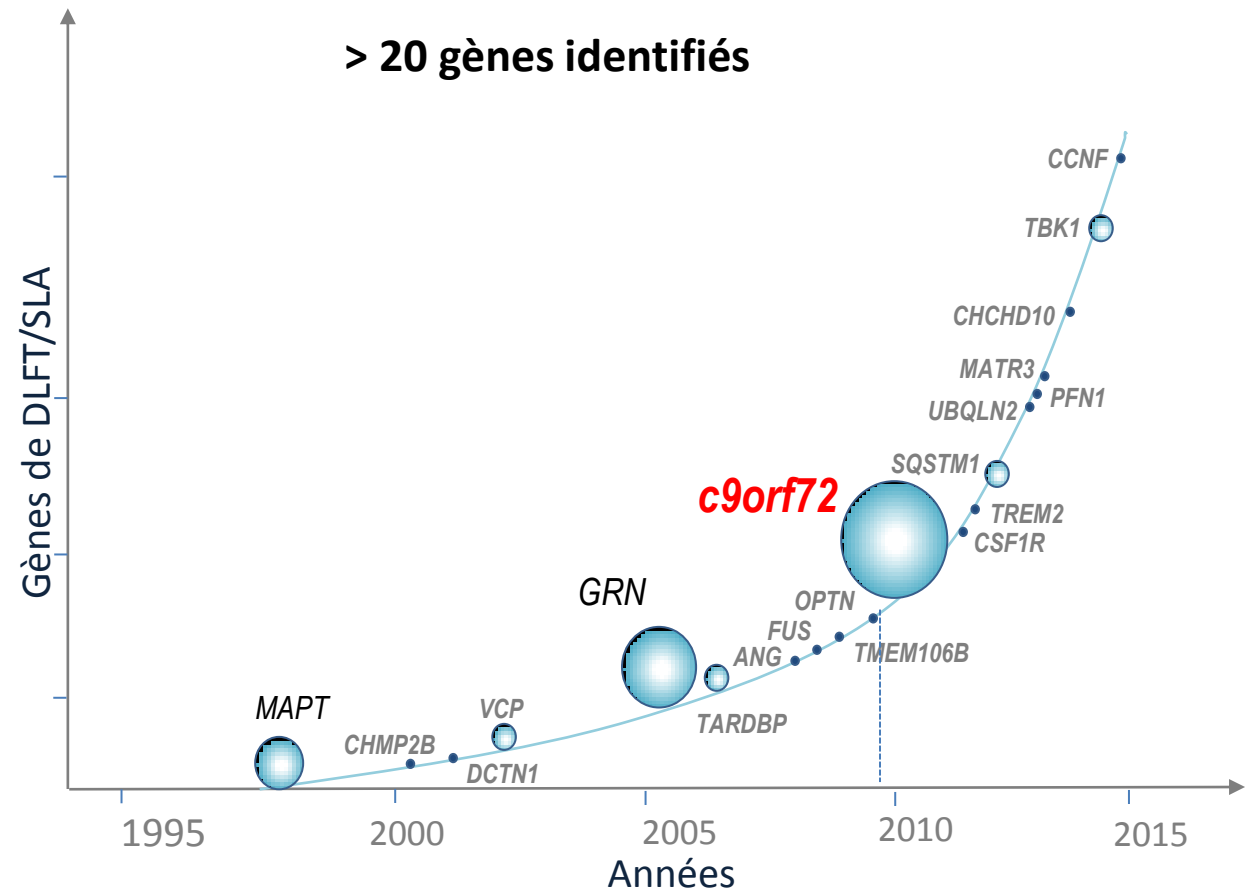


Mécanismes pathogéniques des expansions *c9orf72*

(GGGGCC GGGGCC GGGGCC GGGGCC GGGGCC...) n 60-1600

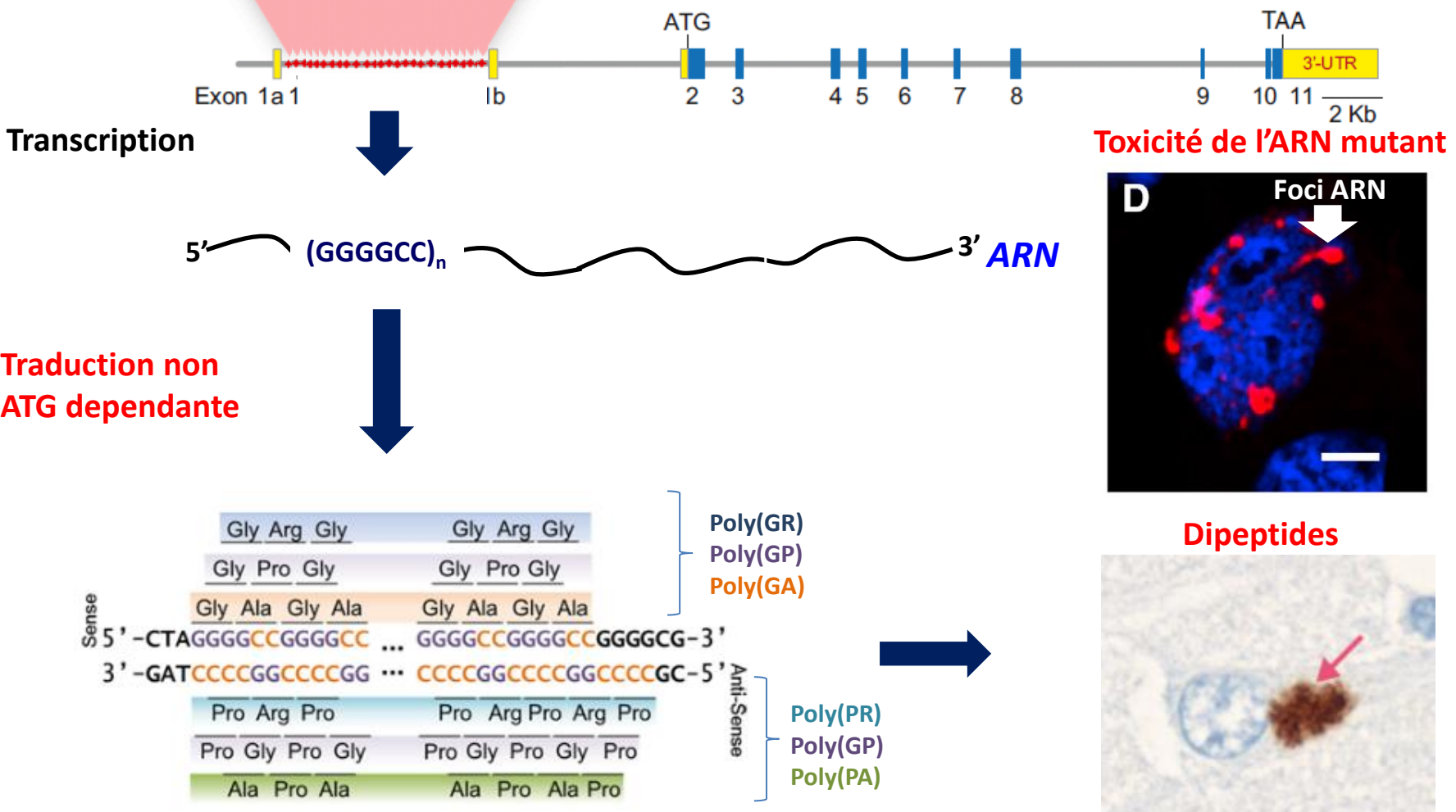


Les DLFT : Une complexité génétique croissante



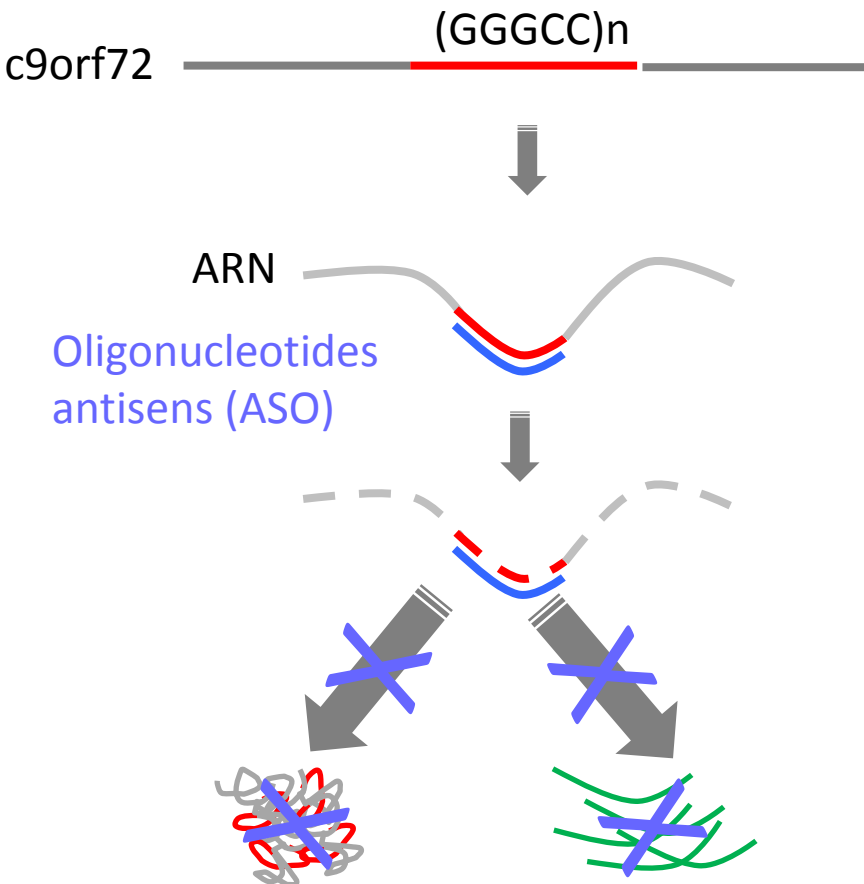
Mécanismes pathogéniques des expansions *c9orf72*

(GGGGCC GGGGCC GGGGCC GGGGCC GGGGCC...) n 60-1600



Perspectives thérapeutiques

Thérapie antisense dans les DLFT/SLA c9orf72



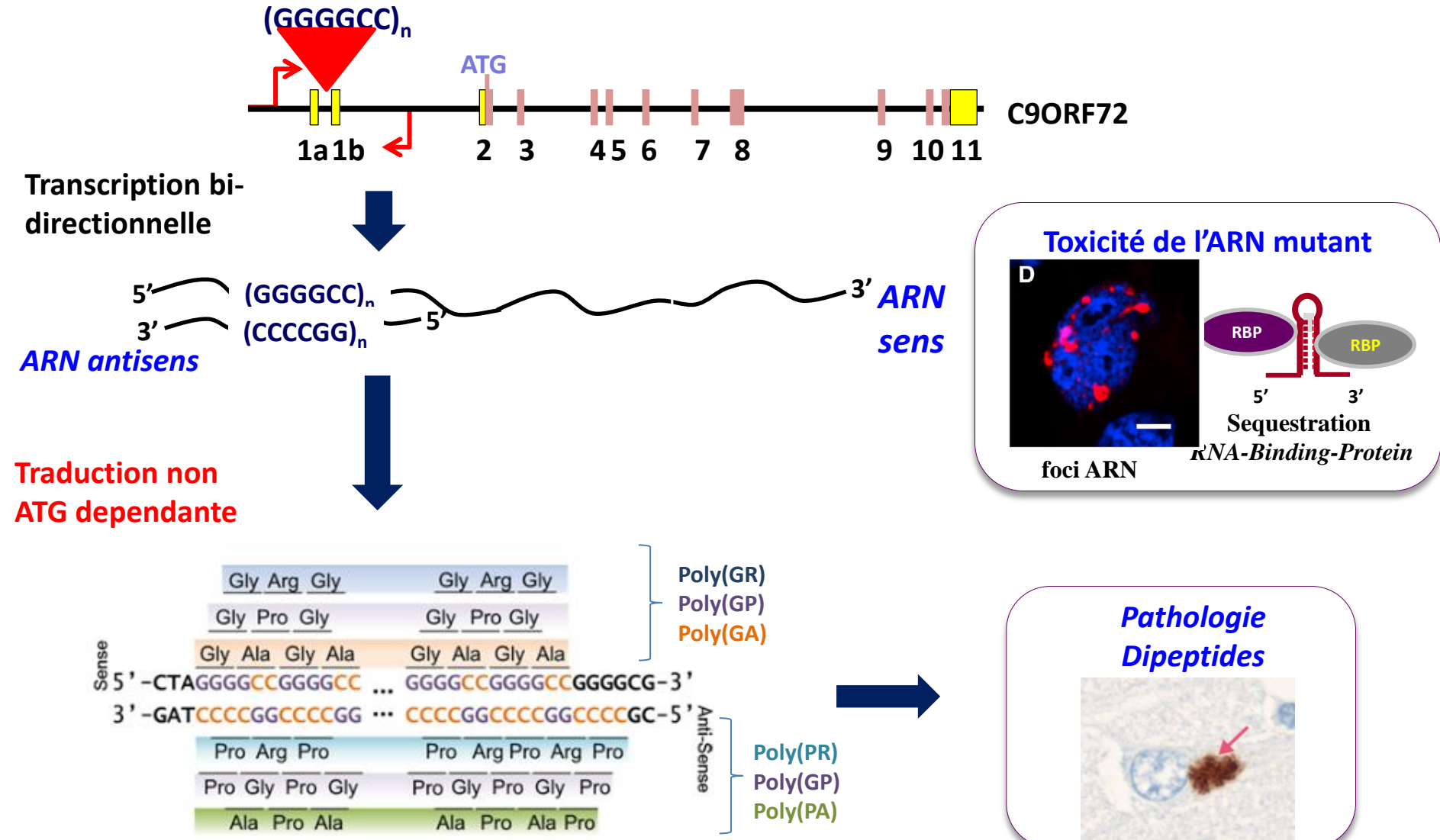
Targeted degradation of sense and antisense *C9orf72* RNA foci as therapy for ALS and frontotemporal degeneration

Clotilde Lagier-Tourenne, Michael Baughn, [...], and John Ravits

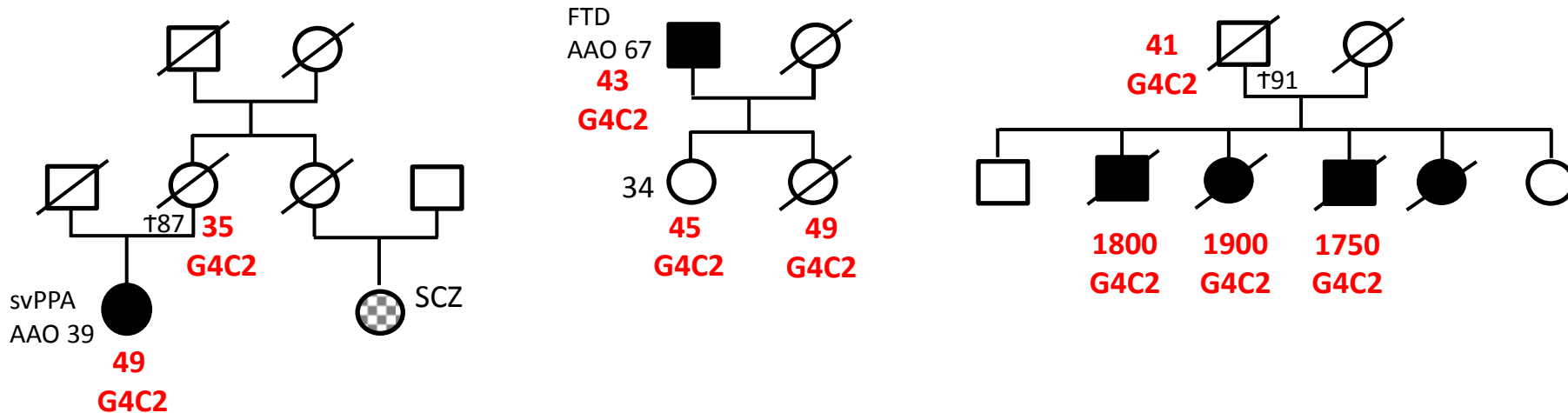
Discovery of a Biomarker and Lead Small Molecules to Target r(GGGGCC)-Associated Defects in c9FTD/ALS

Zhaoming Su, Yongjie Zhang, Tania F. Gendron, Peter O. Bauer, Jeannie Chew, Wang-Yong Yang, Erik Fostvedt, Karen Jansen-West, Veronique V. Belzil, Pamela Desaro, Amelia Johnston, Karen Overstreet, Seok-Yoon Oh, Peter K. Todd, James D. Berry, Merit E. Cudkowicz, Bradley F. Boeve, Dennis Dickson, Mary Kay Floeter, Bryan J. Traynor, Claudia Morelli, Antonia Ratti, Vincenzo Silani, Rosa Rademakers, Robert H. Brown, Jeffrey D. Rothstein, Kevin B. Boylan, Leonard Petruccielli,* and Matthew D. Disney*

Mécanismes pathogéniques des expansions c9orf72

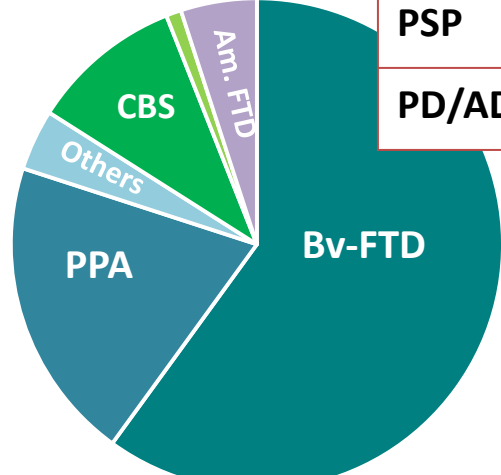


Families with small repeat expansions (SRE)

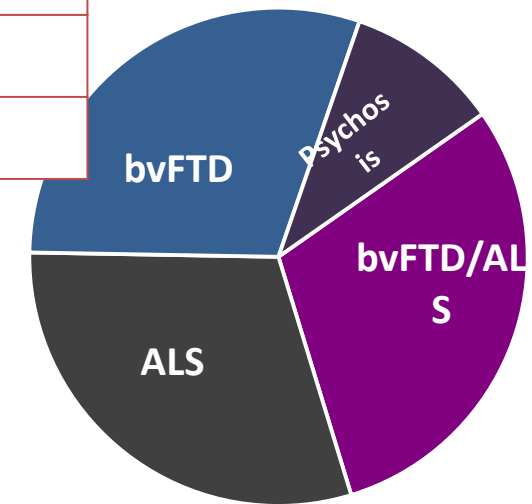


		Gender of transmitter parent	Phenotype	Age at onset	Age at last evaluation	Small RE size
Family 1	Parent	Unknown	Asymptomatic	-	87	35
	Child	Mother	svPPA	39	na	49
Family 2	Parent	Unknwon	bvFTD	67	na	43
	Child 1	Father	Asymptomatic	-	34	45
	Child 2	Father	Asymptomatic	-	na	49
Family 3	Parent	Father	Asymptomatic	-	91	41
	Child 1	Father	bvFTD	41	na	1800
	Child 2	Father	bvFTD-ALS	51	na	1900
	Child 3	Father	FTD-ALS	47	na	1750

The French FTD and FTD/ALS cohorts



	<i>GRN</i>	<i>C9ORF72</i>
bvFTD	65%	32%
FTD-ALS	0%	<u>30%</u>
PPA	<u>23%</u>	3%
ALS	0%	<u>25%</u>
Psychosis	4%	10%
CBS	<u>10%</u>	1%
PSP	0%	1%
PD/AD-like	1%	1%



GRN

C9orf72

Collaborateurs ICM, nationaux et internationaux

Equipe

I. Le Ber, investigator principal
V. Anquetil, Post-doctorant
M. Barbier, Post-doctorant
C. Fournier, Post-doctorant
A. Camuzat, Ingénieure
M. Latouche, MCU-PH
J. Smeyers, Etudiant en thèse
D. Saracino, Etudiant en thèse
D. Rinaldi, Chef de projet
A. Brice, Chef d'équipe



Collaborateurs ICM

ARAMIS, INRIA & CATI (Neuroimagerie)

O. Colliot, S. Durlemann, M.O. Habert

Frontlab, ICM (Cognition)

Pr R. Levy, Pr B. Dubois

Plateformes ICM

IGenSeq - Y. Marie

Iconics – I. Moszer

Banque ADN et cellules – A. Brice

Centre d'investigations cliniques – J.C. Corvol

Collaborateurs nationaux

IMMA et UNPC, GH Pitié-Salpêtrière

Bruno Dubois, PUPH

Réseau national de recherche DFT/DFT-SLA (Inserm RBM 059)

Limoges (Pr Couratier), Lille (Pr Pasquier),
Rouen (Pr D Hannequin)

Centrale Supélec, Saclay

A. Tenenhaus

Réseaux & collaborateurs européens et internationaux

GENFI consortium - J. Rohrer (UCL, UK)

International FTD Genomics consortium - J. Hardy (UK)

RiMoD network - P. Heutink (DZNE, Germany)

ICGEB - E. Buratti (Italy)

ERASMUS MC - J. Van Swieten (Netherlands)

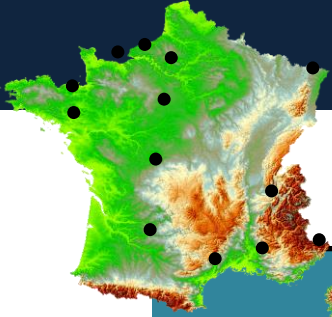
IDIBABS - E. Gelpi (Spain)

Carlo Besta institute – D. Galimberti (Italy)

Memory and Aging Center – B. Miller (UCSF, USA)

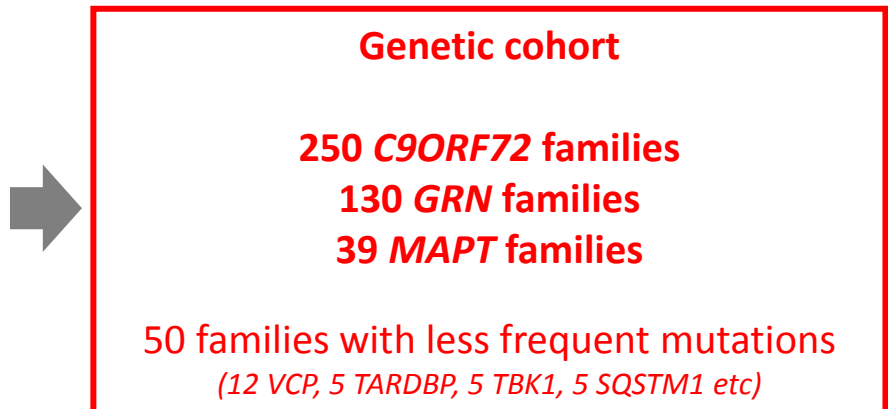
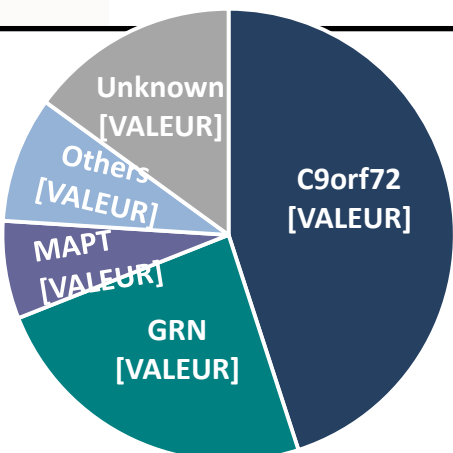
Mayo Clinic - R. Rademakers (Mayo clinic, USA)

The French FTD and FTD/ALS cohorts



The national FTD cohort

	Overall cohort	bv-FTD	FTD-ALS	PPA	PSP	CBS
Probands, n=	1502	902	240	108	207	45
Familial cases, n=	550	310	138	43	48*	11*



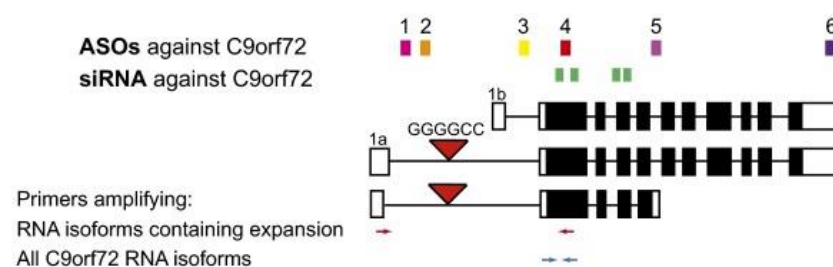
Emerging therapeutics in genetic forms of FTD

PNAS
www.pnas.org

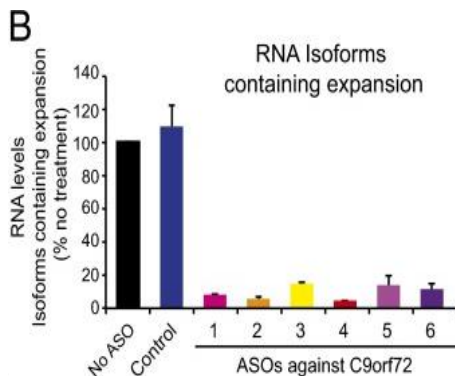
Targeted degradation of sense and antisense *C9orf72*
RNA foci as therapy for ALS and frontotemporal
degeneration

Clotilde Lagier-Tourenne, Michael Baughn, [...], and John Ravits

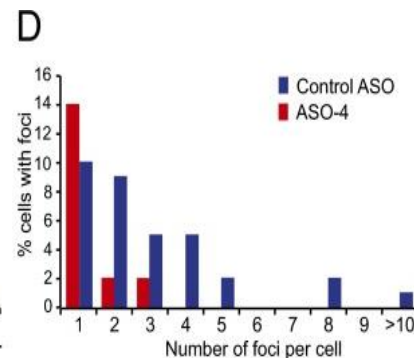
A



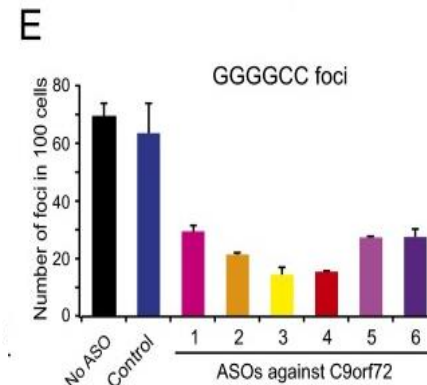
B



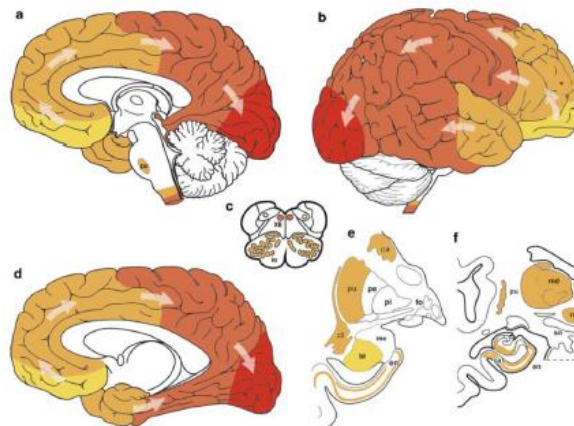
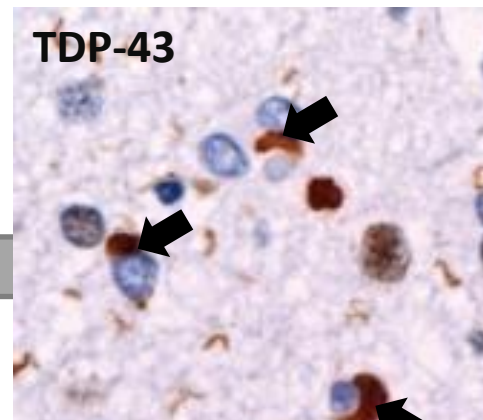
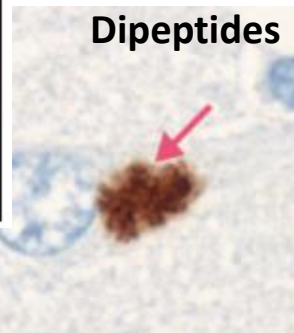
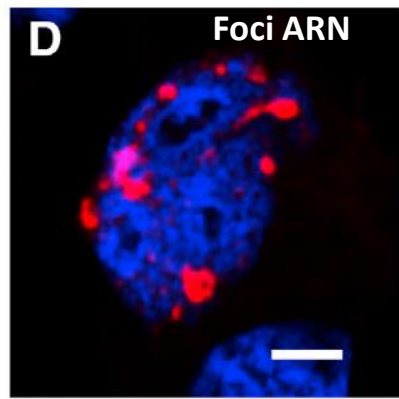
D



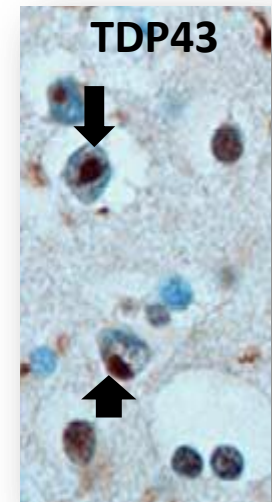
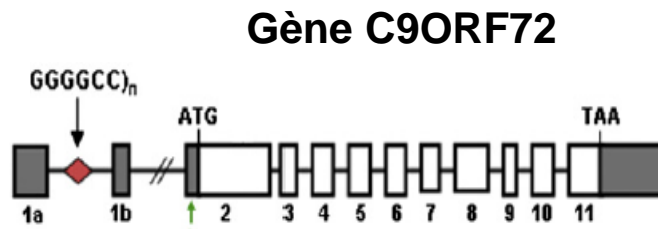
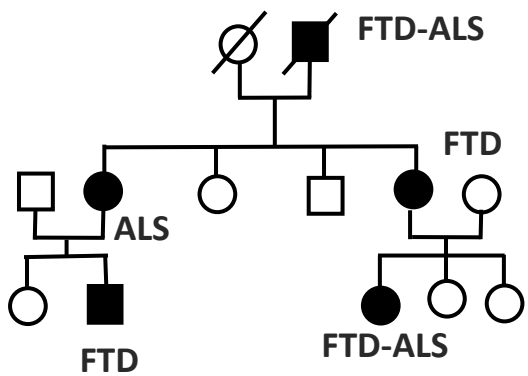
E

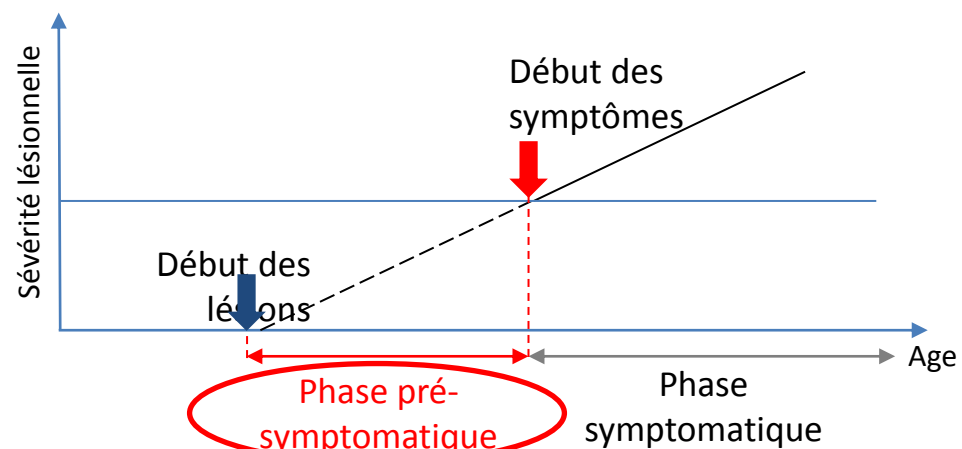
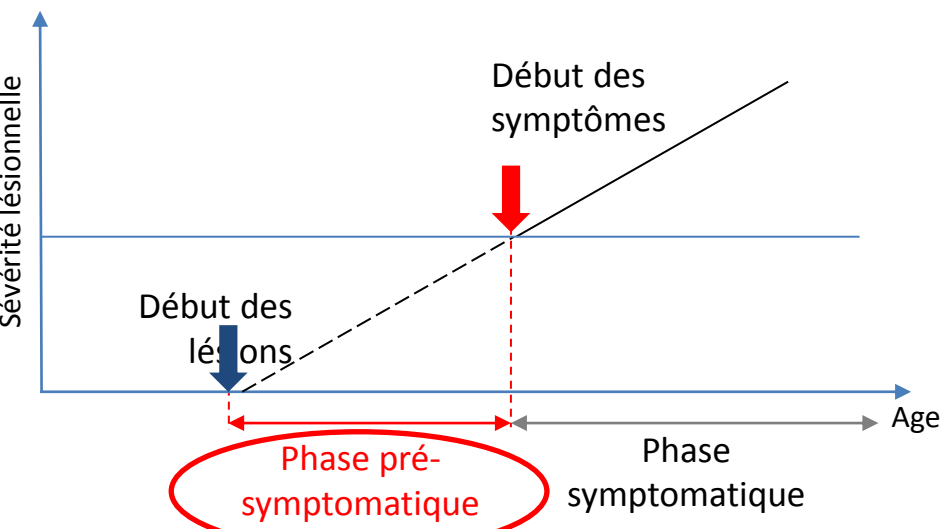


Cinétique lesionnelle



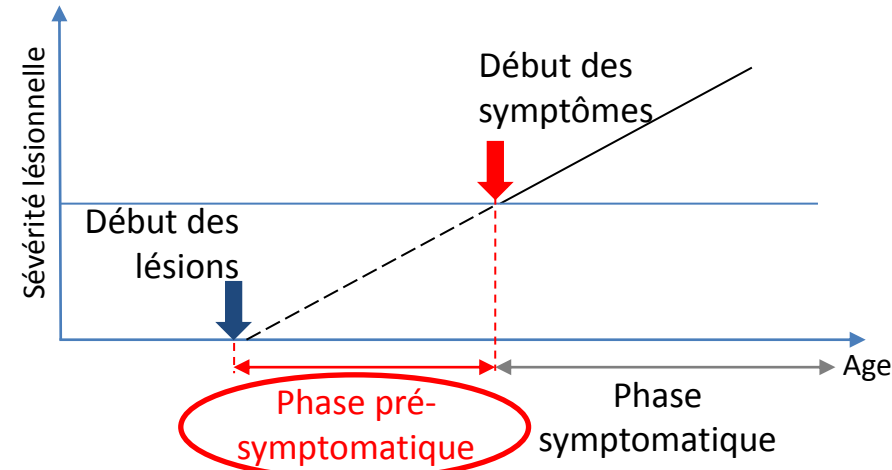
FTD & ALS: a clinical & genetic continuum





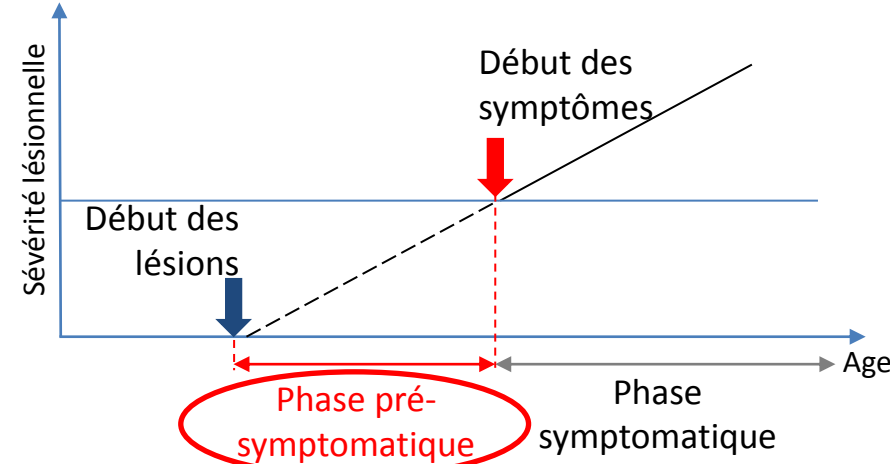
DFT & SLA – Problématiques actuelles & objectifs

- **Absence d'outils diagnostiques spécifiques** → Errance diagnostique (dépression, maladie d'Alzheimer)
- Traitements spécifiques en cours de développement dans les formes génétiques (C9ORF72)
→ **L'initiation des traitements à la phase symptomatique de la maladie est inefficace**
(lésions neuronales irréversibles, cf. maladie d'Alzheimer)
- La phase symptomatique est précédée d'une longue **phase pré-symptomatique** (silencieuse) pendant laquelle les lésions neuronales se développent sans symptômes cliniques
- Hypothèse : **initier des traitements précocement** durant la phase pré-symptomatique de la maladie, avant le début des symptômes et la survenue de lésions irréversibles.



DFT & SLA – Problématiques actuelles & objectifs

- Traitements spécifiques en cours de développement dans les formes génétiques (C9ORF72)
→ **Les traitements délivrés à la phase symptomatique des démences dégénératives sont inefficaces** (lésions neuronales sévères et irréversibles, cf. maladie d'Alzheimer)
- La phase symptomatique des démences dégénératives est précédée d'une longue **phase pré-symptomatique** (silencieuse) pendant laquelle les lésions neuronales se développent sans symptômes cliniques
- Hypothèse : **initier des traitements précocement** durant la phase pré-symptomatique de la maladie, avant le début des symptômes et la survenue de lésions irréversibles.



Objectifs du projet

Identifier des marqueurs (imagerie structurelle, fonctionnelle, biologiques) du début des lésions, de leur progression et du début des symptômes pour initier des traitements préventifs (C9ORF72)

pTDP-43 inclusion-bearing neurons: Regional and sequential patterns

Sequential distribution of pTDP-43 pathology in behavioral
variant frontotemporal dementia (bvFTD)

39 bvFTD
(12 *c9orf72*+/6 *GRN*+) #

Johannes Brettschneider#

Pattern I:

- Orbital gyri, gyrus rectus, amygdala

Pattern II:

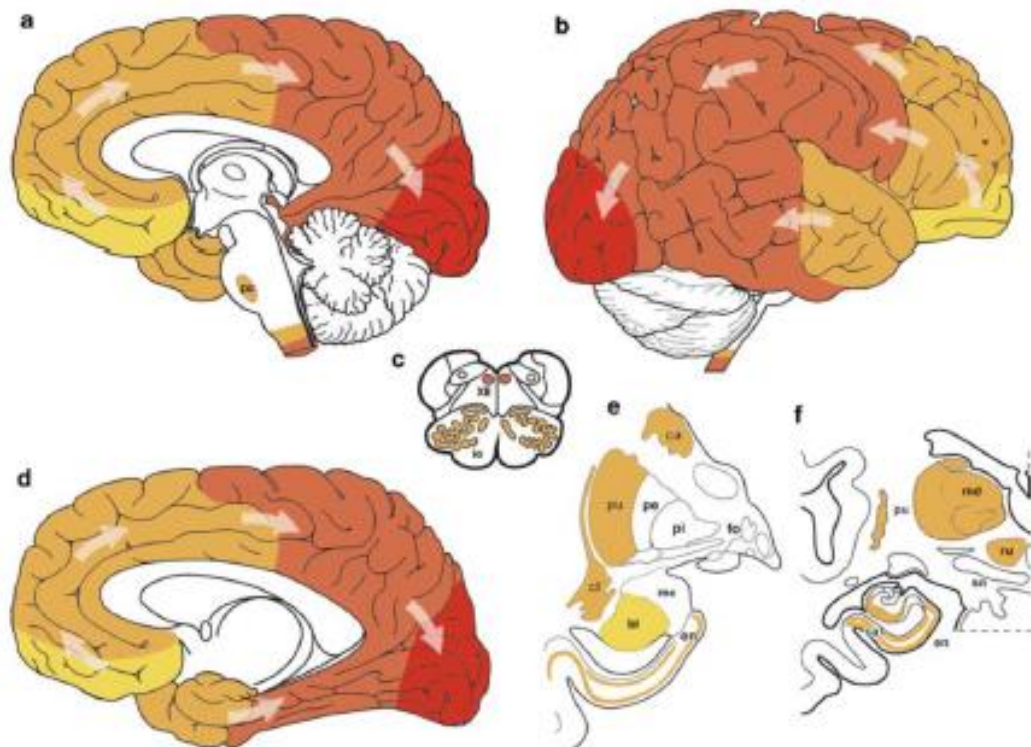
- Middle frontal
- Anterior cingulate gyrus
- Anteromedial temporal lobe
- Superior & medial temporal gyri
- Striatum, red nucleus, thalamus & precerebellar nuclei

Pattern III:

- motor cortex
- bulbar somatomotor neurons
- spinal cord anterior horn

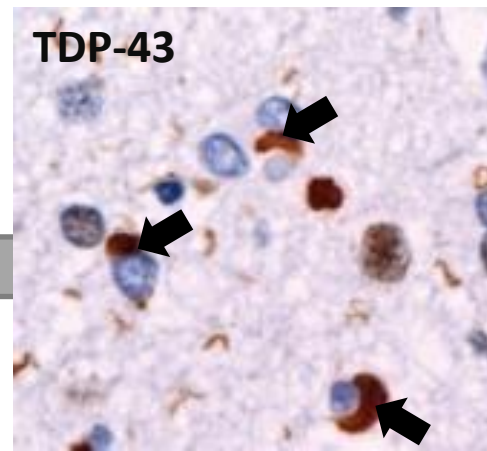
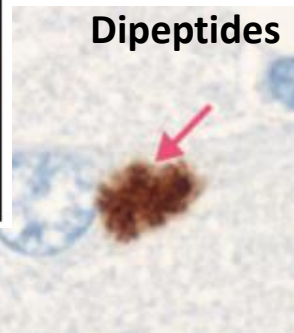
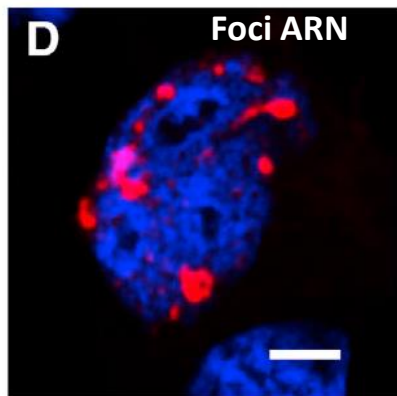
Pattern IV:

- Visual cortex



pattern I pattern II pattern III pattern IV

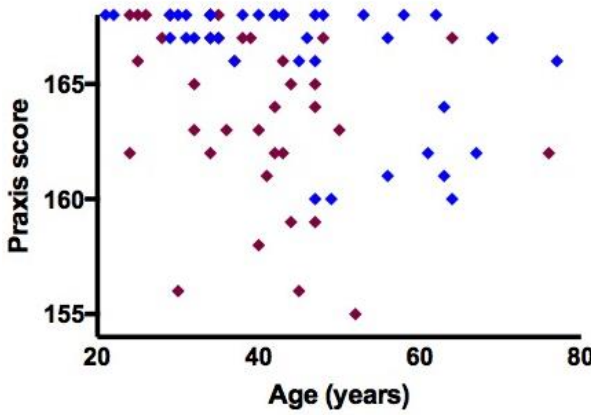
Cinétique lesionnelle



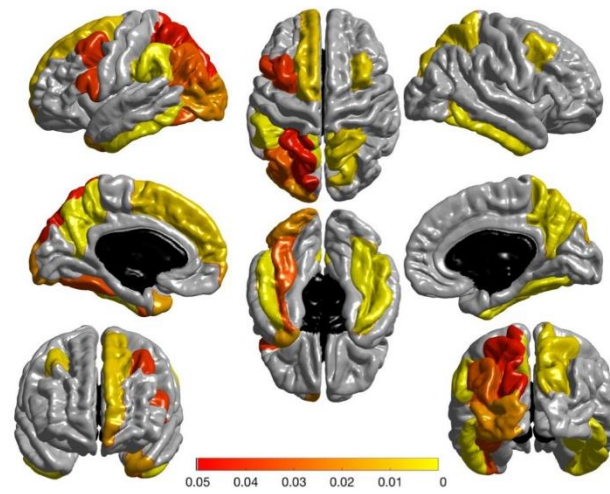
Early cognitive, structural and microstructural changes in *c9orf72* presymptomatic carriers before 40 years of age

PrevDemAls Study – Dr Isabelle Le Ber, IM2A
41 presymptomatic carriers (*c9+*) and 39 non-carriers (*c9-*)

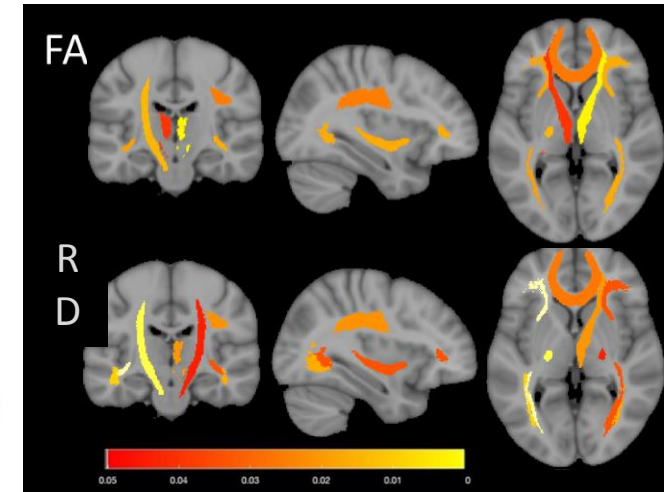
Subtle praxis impairment



Diffuse cortical atrophy



White matter alterations in corticospinal tracts and frontal regions

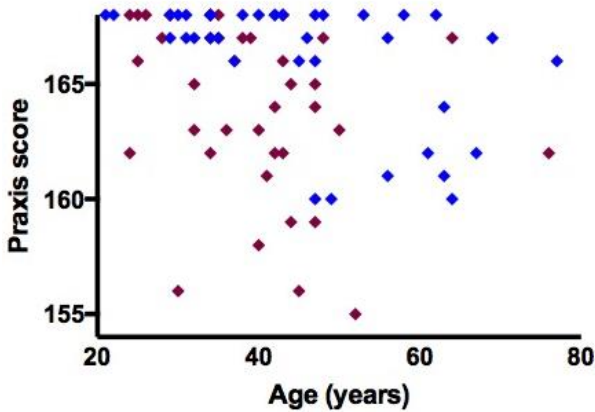


Early cognitive, structural and microstructural changes in *c9orf72* presymptomatic carriers before 40 years of age

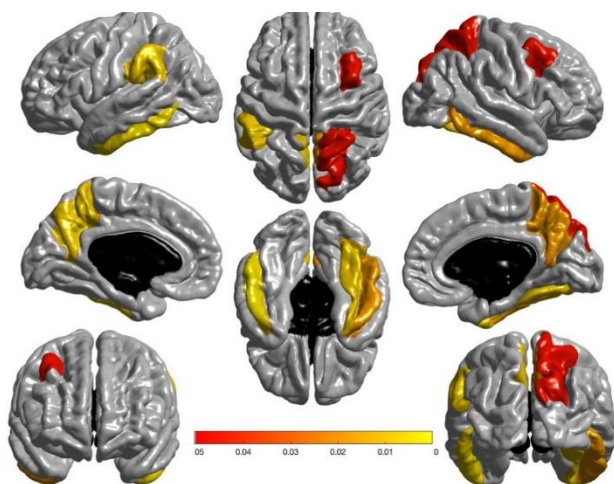
Anne Bertrand – July 27th 2017

PrevDemAls Study – Dr Isabelle Le Ber, IM2A
41 presymptomatic carriers (*c9+*) and 39 non-carriers (*c9-*)

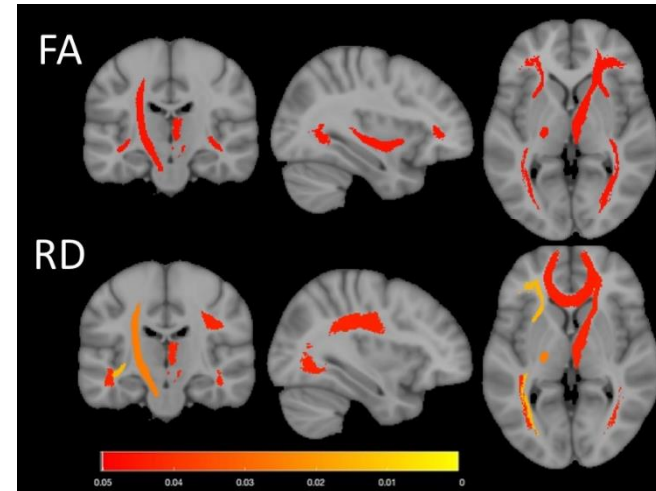
Subtle praxis impairment



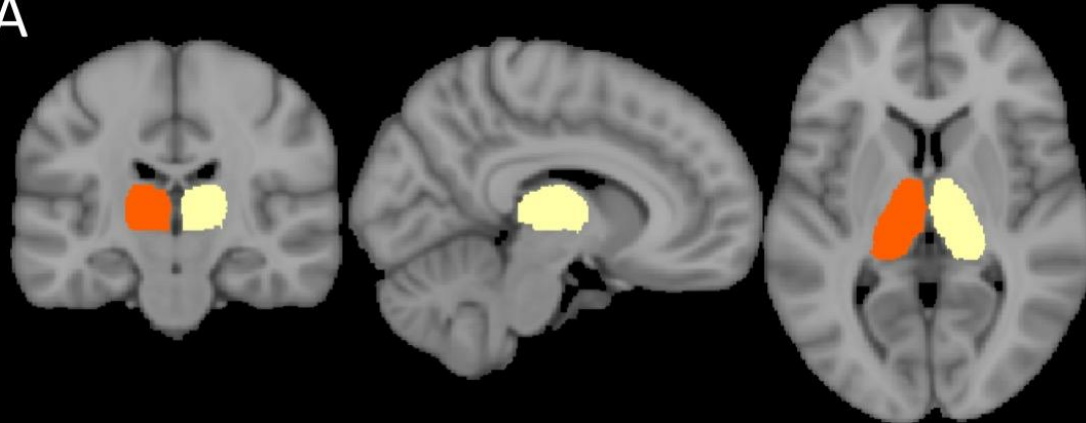
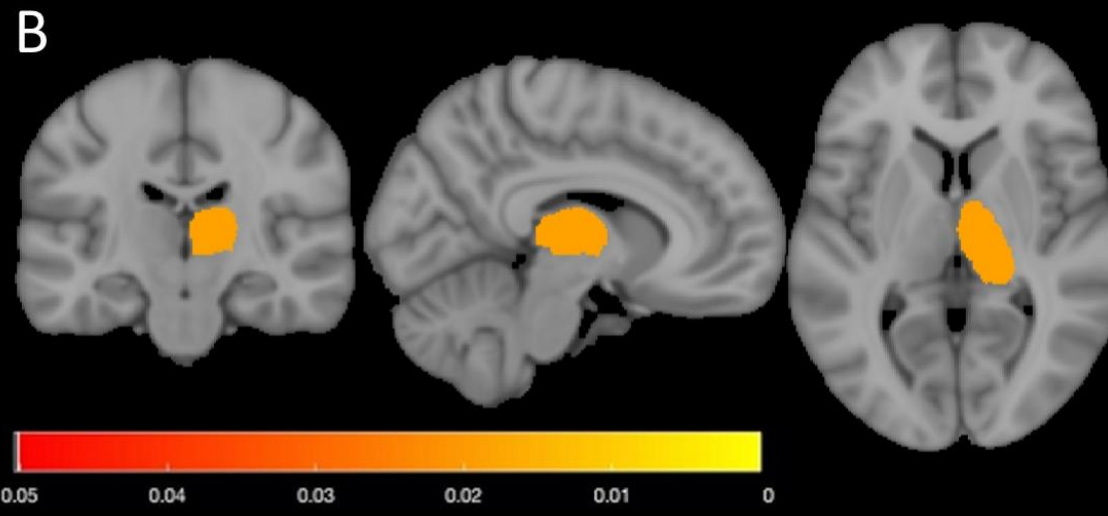
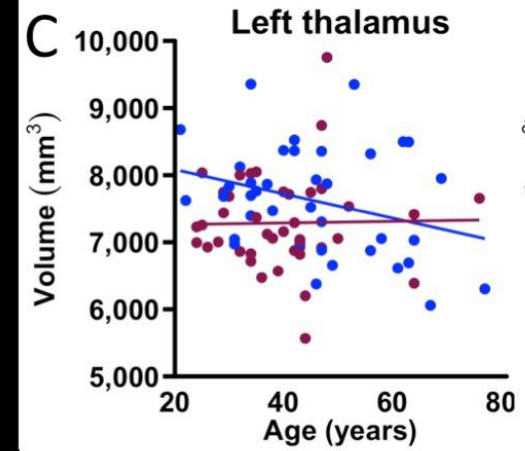
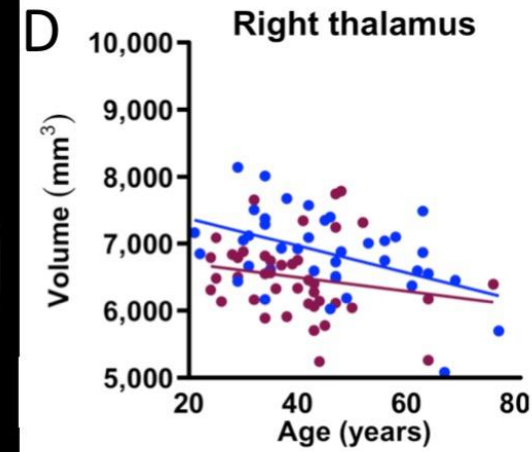
Diffuse cortical atrophy

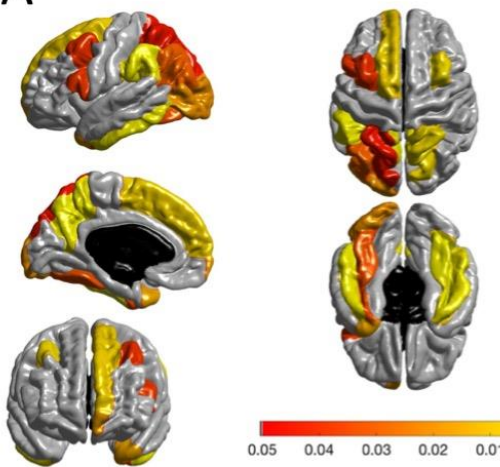
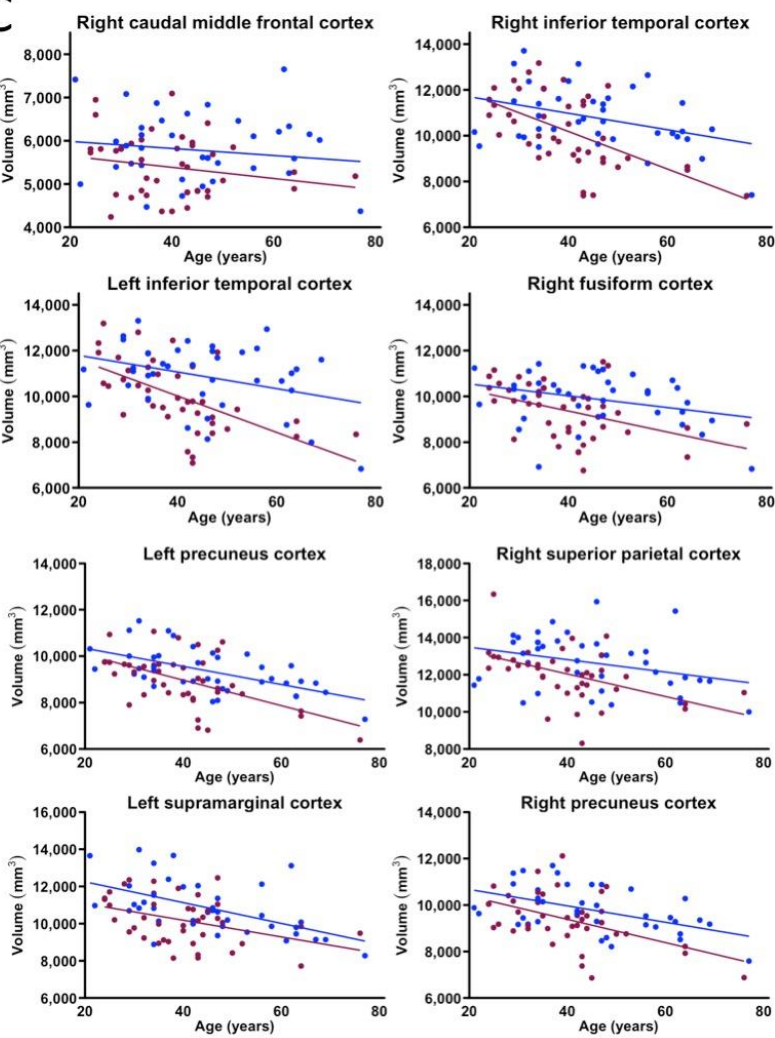
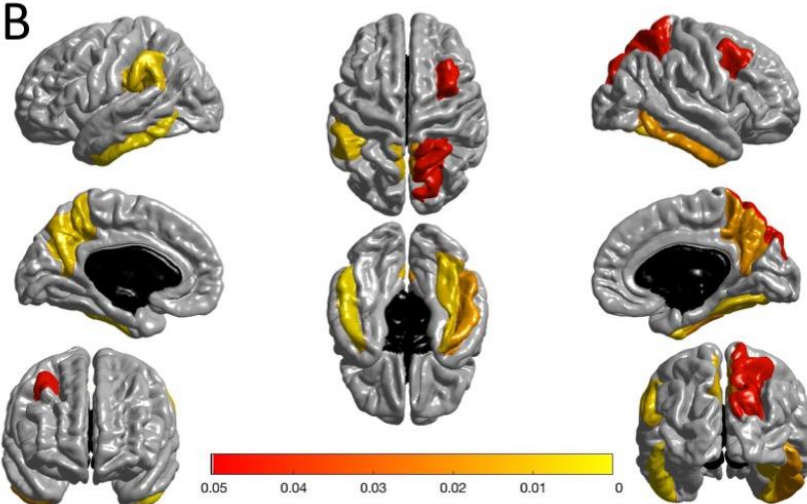


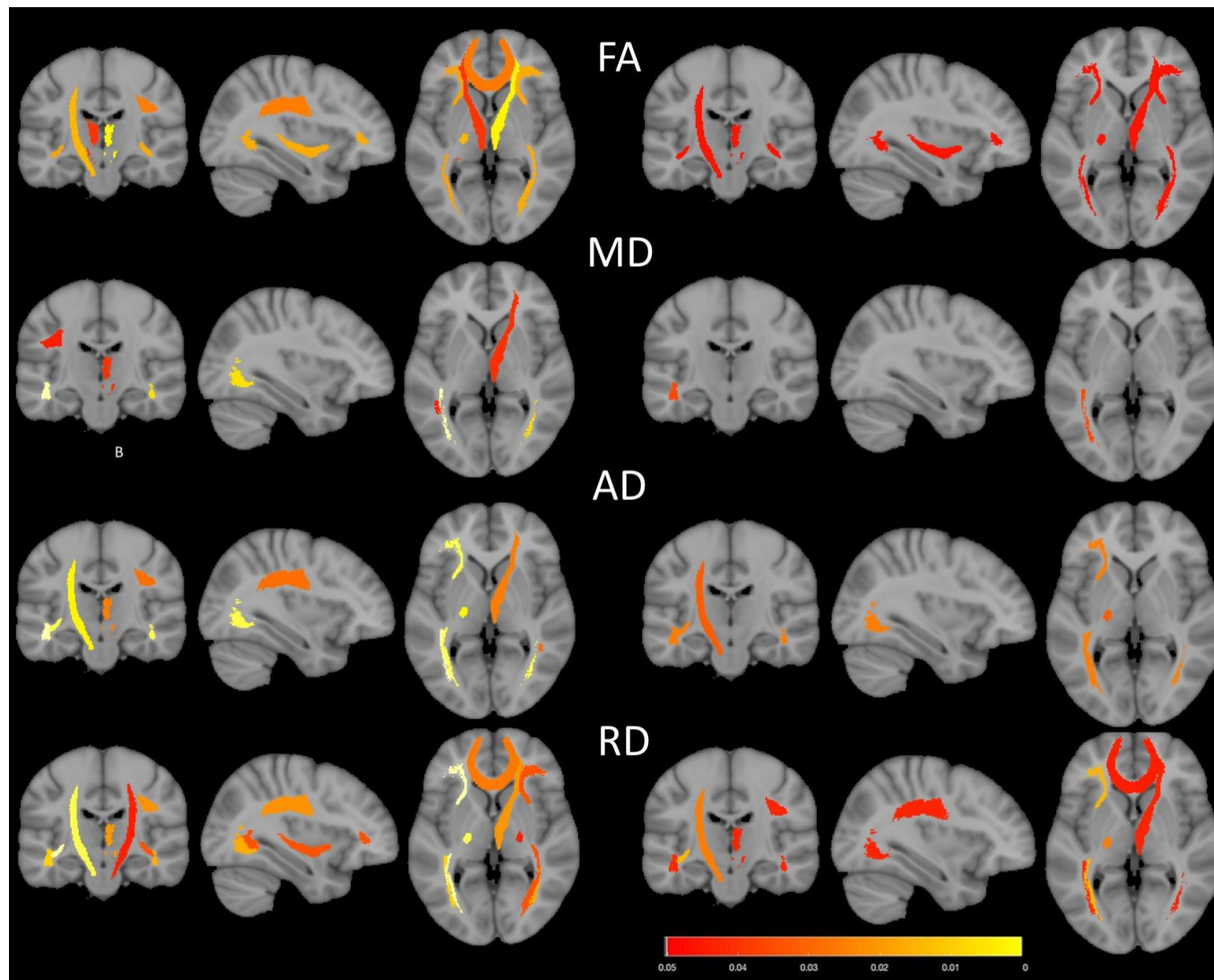
White matter alterations in corticospinal tracts and frontal regions

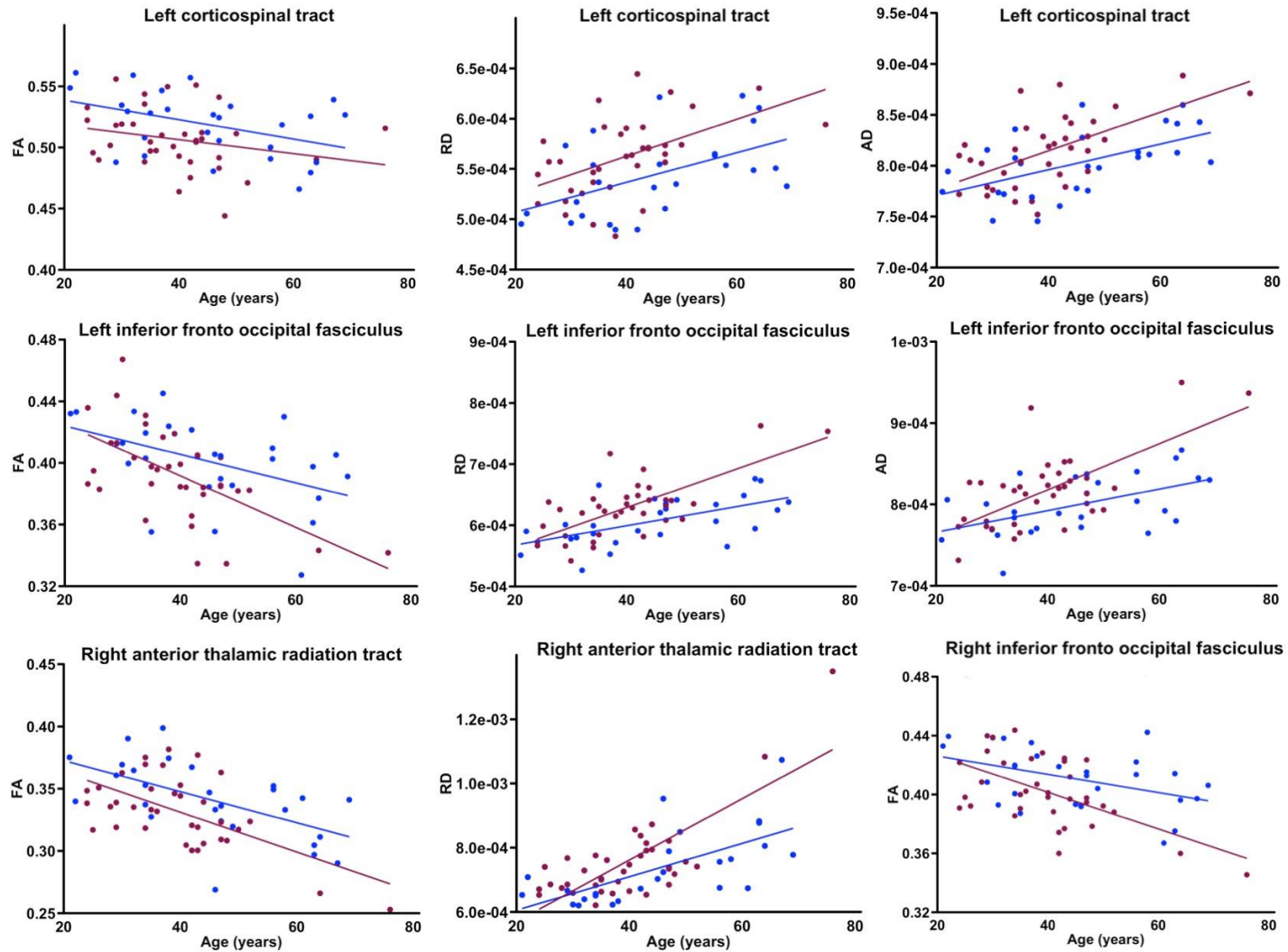


	c9-	c9+	p value
Total number	39	41	
<i>including subjects < 40-year-old</i>	16	22	
Age (years)	45.2 ± 13.9	39.8 ± 11.1	0.084
Female gender	24 (61.5%)	24 (58.5%)	0.784
Familial phenotype: FLTD/ALS/mixed/N.A.	15/2/21/1	18/3/20/0	0.771
Expected years to onset		-19.3 ± 11.2	
Neuropsychological scores			
MMSE score (30)	28.8 ± 1.5	28.6 ± 1.3	0.338
MDRS score* (144)	141.5 ± 3.2	141.4 ± 2.6	0.538
FAB score (18)	16.8 ± 1.4	17.1 ± 0.9	0.392
Mini-SEA (30)	26.2 ± 4.7	25.6 ± 3.5	0.128
Praxis score:			
- finger dexterity (36)	35.5 ± 1.2	35.4 ± 1.2	0.571
- melokinetic apraxia (24)	23.2 ± 1.5	22.8 ± 2.3	0.373
- non-representational gestures (36)	35.7 ± 0.9	35.4 ± 1.2	0.157
- intransitive gestures (36)	35.7 ± 1.5	34.9 ± 1.6	0.004
- transitive gestures (36)	35.2 ± 2.0	34.9 ± 2.9	0.790

A**B****Left thalamus****Right thalamus**

A**C****B**





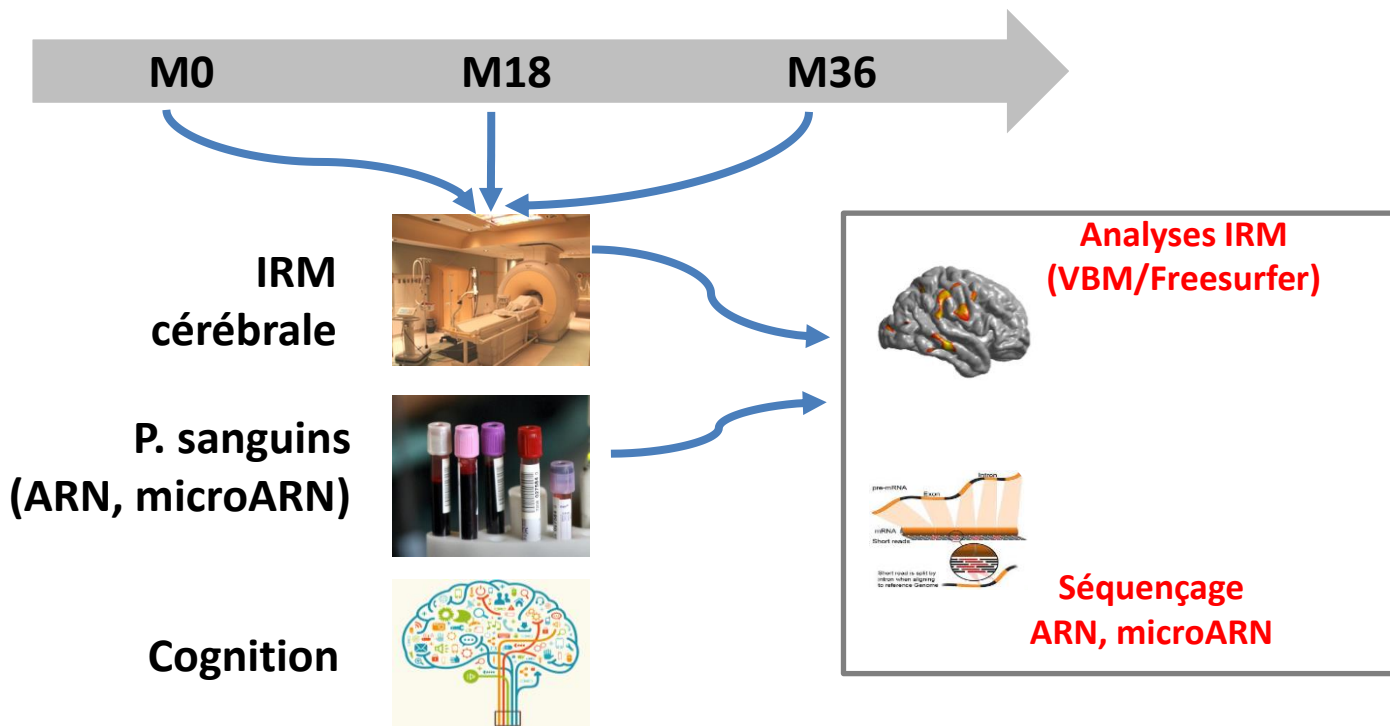
Projet - 'Prédire pour prévenir la DFT et la SLA'

X Cohorte de 113 individus issus des familles C9orf72

47 individus porteurs de la mutation pré-symptomatiques (stade pré-symptomatique)

22 patients (stade symptomatique)

44 individus non porteurs (contrôles)



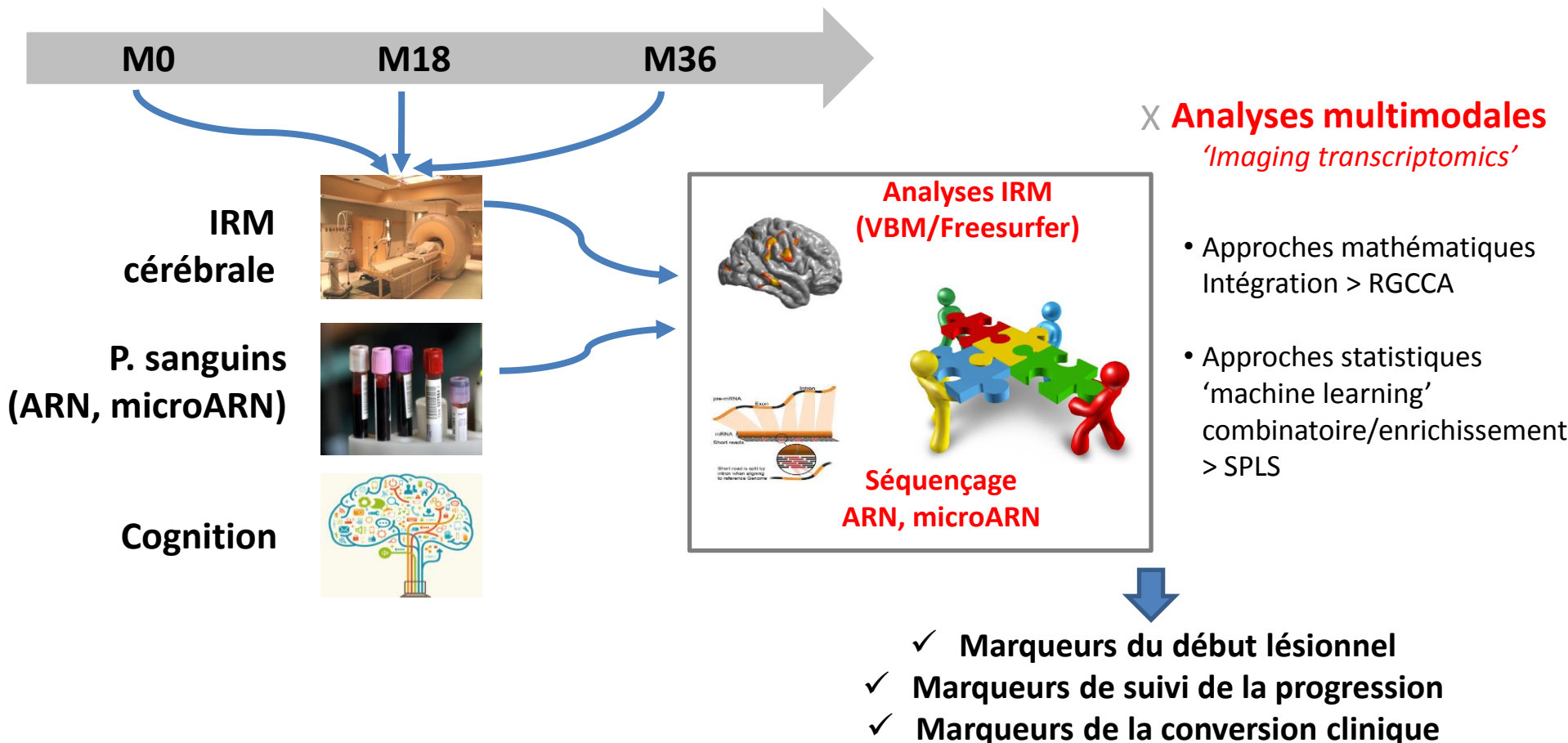
Projet - 'Prédire pour prévenir la DFT et la SLA'

X Cohorte de 113 individus issus des familles C9orf72

47 individus porteurs de la mutation pré-symptomatiques (stade pré-symptomatique)

22 patients (stade symptomatique)

44 individus non porteurs (contrôles)



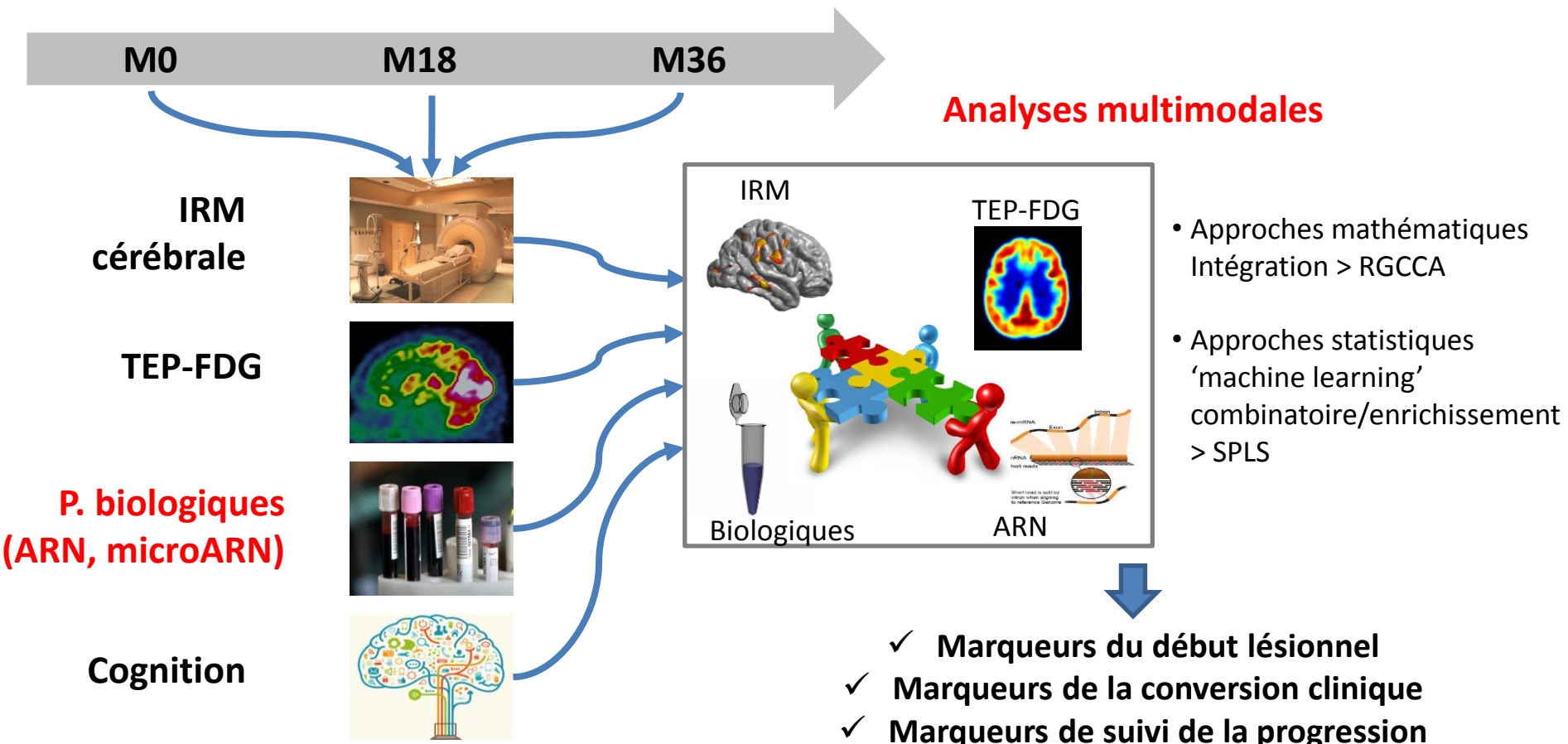
Projet - 'Prédire pour prévenir la DFT et la SLA'

Cohorte de 113 individus issus des familles C9orf72

47 individus porteurs de la mutation pré-symptomatiques (stade pré-symptomatique)

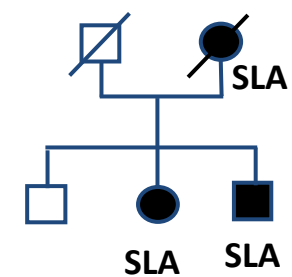
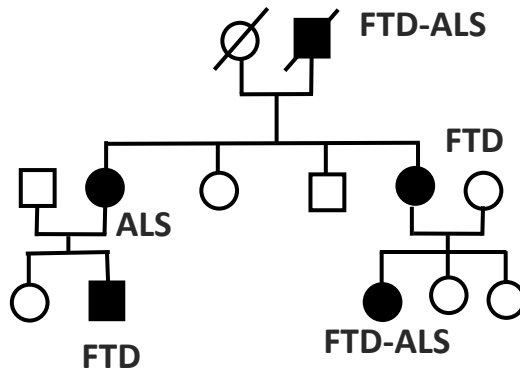
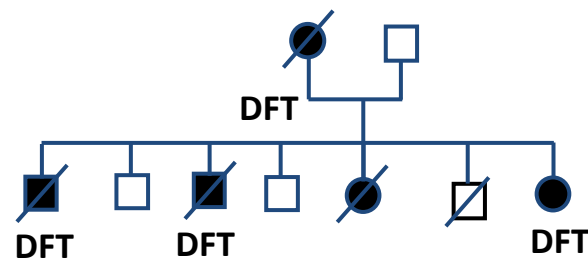
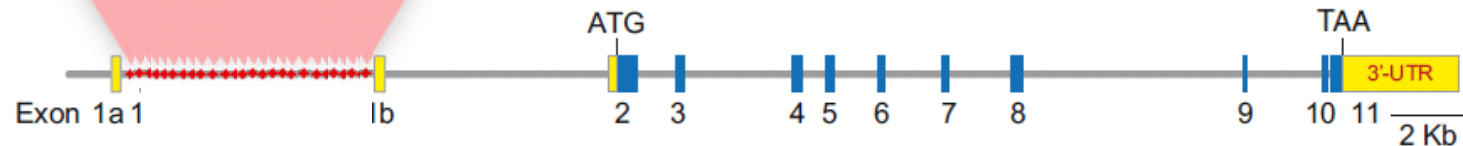
22 patients (stade symptomatique)

44 individus non porteurs (contrôles)



c9orf72: Un lien génétique majeur entre DLFT et SLA

(GGGGCC GGGGCC GGGGCC GGGGCC GGGGCC...) n 60-1600



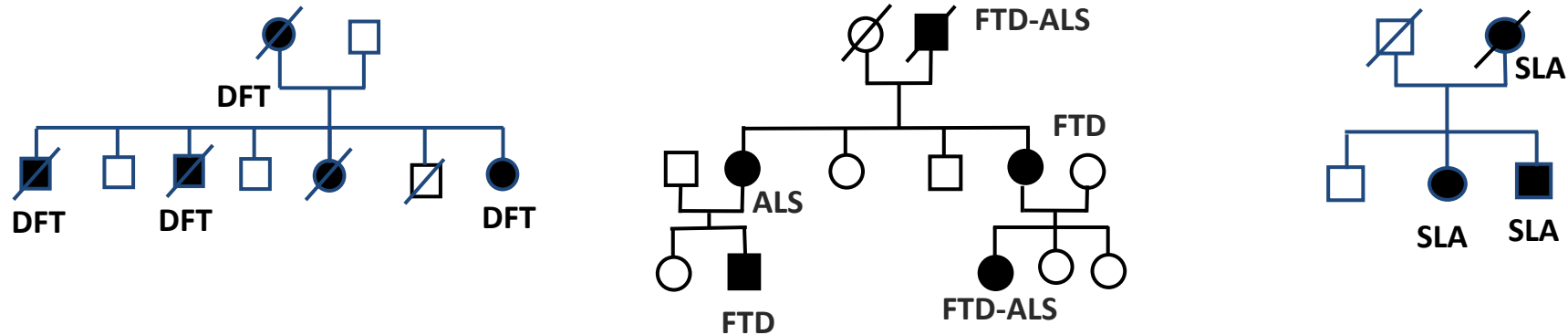
c9orf72: Un lien génétique majeur entre DLFT et SLA

A Hexanucleotide Repeat Expansion in C9ORF72 Is the Cause of Chromosome 9p21-Linked ALS-FTD

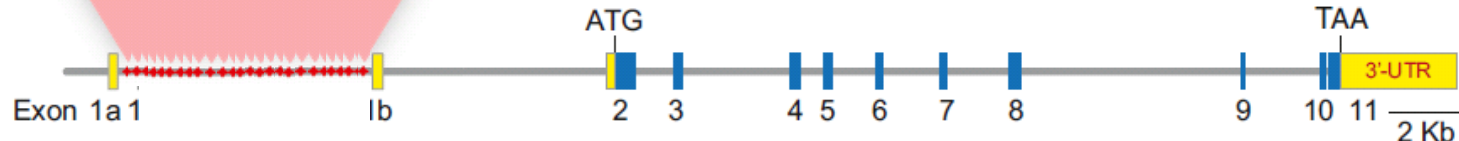
Alan E. Renton,^{1,38} Elsa Majounie,^{2,38} Adrian Waite,^{3,38} Javier Simón-Sánchez,^{4,5,38} Sara Rollinson,^{6,38} J. Raphael Gibbs,^{7,8,38} Jennifer C. Schymick,^{1,38} Hannu Laaksovirta,^{9,38} John C. van Swieten,^{4,5,38} Liisa Myllykangas,¹⁰ Hannu Kalimo,¹⁰ Anders Paetau,¹⁰ Yevgeniya Abramzon,¹ Anne M. Remes,¹¹ Alice Kaganovich,¹² Sonja W. Scholz,^{2,13,14} Jamie Duckworth,⁷ Jinhu Ding,⁷ Daniel W. Harmer,¹⁵ Dena G. Hernandez,^{2,8} Janeil O. Johnson,^{1,8} Kin Mok,⁸ Mina Ryten,⁸ Danyah Trabzuni,⁸ Rita J. Guerreiro,⁸ Richard W. Orell,¹⁶ James Neal,¹⁷ Alex Murray,¹⁸ Justin Pearson,³ Iris E. Jansen,⁴ David Sondervan,⁴ Harro Seelaar,⁵ Derek Blaak,³ Kate Young,⁵ Nicola Halliwell,⁵ Janis Bennion Callister,⁶ Greg Toulson,⁶ Anna Richardson,¹⁰ Alex Gerhard,¹⁰ Julie Snowden,¹⁰ David Mann,¹⁰ David Neary,¹⁰ Michael A. Nalls,² Terhi Pernalinna,⁹ Liila Jansson,⁹ Veli-Matti Isoviita,⁹ Anna-Lotta Kaivorinne,¹¹ Maarit Hölttä-Vuori,²⁰ Elina Ikonen,²⁰ Raimo Sulkava,²¹

Expanded GGGGCC Hexanucleotide Repeat in Noncoding Region of C9ORF72 Causes Chromosome 9p-Linked FTD and ALS

Mariely DeJesus-Hernandez,^{1,10} Ian R. Mackenzie,^{2,10,*} Bradley F. Boeve,³ Adam L. Boxer,⁴ Matt Baker,¹ Nicola J. Rutherford,¹ Alexandra M. Nicholson,¹ Nicole A. Finch,¹ Heather Flynn,⁵ Jennifer Adamson,¹ Naomi Kouri,¹ Aleksandra Wojtas,¹ Pheth Sengdy,⁶ Ging-Yuek R. Hsiung,⁶ Anna Karydas,⁴ William W. Seeley,⁴ Keith A. Josephs,³ Giovanni Coppola,⁷ Daniel H. Geschwind,⁷ Zbigniew K. Wszolek,⁸ Howard Feldman,^{6,8} David S. Knopman,³ Ronald C. Petersen,³ Bruce L. Miller,⁴ Dennis W. Dickson,¹ Kevin B. Boylan,⁸ Neill R. Graff-Radford,⁸ and Rosa Rademakers^{1,*}



(GGGGCC GGGGCC GGGGCC GGGGCC GGGGCC...) n 60-1600

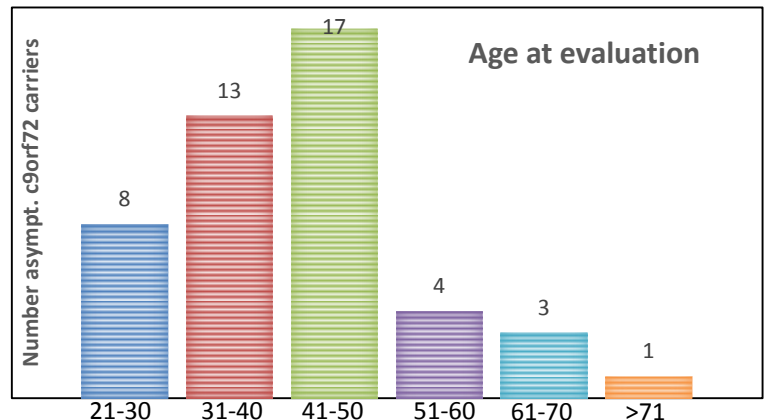


✓ Pathologique: 60->2000 répétitions

Renton et al, 2011 ; DeJesus-Hernandez et al, 2011

Population étudiée

	Asymptomatic C9orf72 carriers	Controls
Number	46	42
Gender	29 F / 17 M	23 F / 19 M
Mean age at evaluation, ys	41.3±14.4 (24-76)	44.7±12.7 (21-77)
Depression	20/46 (43%)	13/42 (31%)
Significant psychiatric history	4 (9%) Episodic hallucinations (n=1) Bipolar disorders (n=2) Premonitions (n=1)	3 (7%) Bipolar disorder (n=1) Anorexia-bulimia (n=1) Severe depression (n=1)
Auto-immune diseases	6 (12%)	6 (14%)
Clinical proximity	4 (9%) (52-79 ys)	-



Criteria for 'clinical proximity' of bv-FTD

- ✓ **Do not fit the consensus criteria for bvFTD**
 - ✓ 2 mildly impaired cognitive frontal tests
 - ✓ Or: 2 behavioral symptoms of the consensus criteria
 - ✓ Or: 1 behavioral symptom + 1 altered cognitive test
- ✓ **And a progression of these deficits during the longitudinal follow-up**

Comportement et cognition

- 1) Global cognitive efficiency : MMSE, MDRS
- 2) Executive functions : FAB, WCST, TMT
- 3) Social cognition (SEA), emotional recognition, Moral judgment
- 4) Memory : FCRT
- 5) Categorical fluency & phonetic fluency, denomination, Semantical words coupling
- 6) Visual gnosies : Semantical coupling images
- 7) Gestual praxies: Peigneux
- 8) Visuospatial abilities : Rey figure copy , barrage test, VOSQP

Behavioral & psychiatric scales

- 1) EDF (Echelle de dysfonctionnement frontal)
- 2) Frontal Behavioral Inventory (FBI)
- 3) FTD Rating Scale
- 4) Neuro Psychiatry Inventory (NPI)
- 5) ±DIGS, PSAS/SANS, Y-BOCS

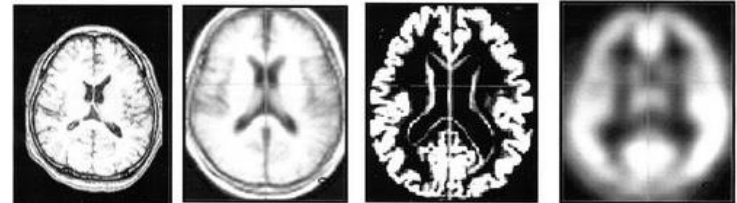


Identifying neuroanatomical/structural markers

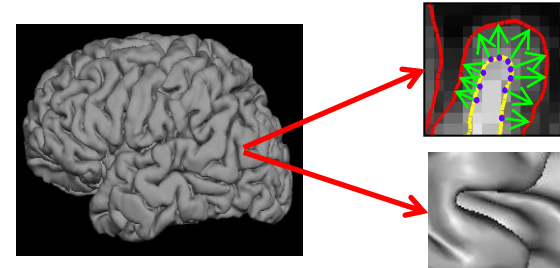
Team O Colliot – ARAMIS team, ICM (Inserm)

- 1) 3D T1-weighted sequences, with axial or sagittal slices
- 2) 2D FLAIR sequence
- 3) 3D volumic T2-weighted sequences, sagittal slices.
- 4) 2D T2* sequence
- 5) ASL
- 6) Diffusion tensor imaging
- 7) NODDI
- 8) BOLD sequence Gradient echo EPI sequence with axial slices (resting state eyes closed)

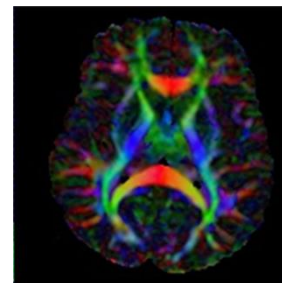
Voxel Based Morphometry



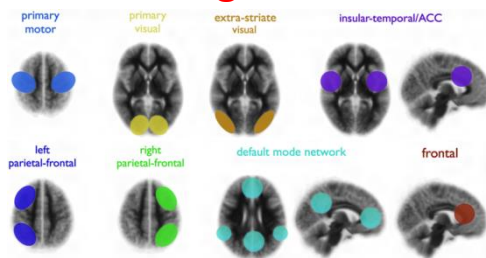
Cortical thickness and fold opening



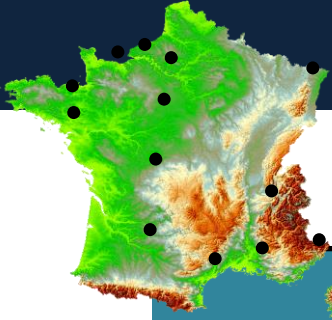
DTI



Resting state fMRI



Les cohortes DFT et DFT/SLA nationales

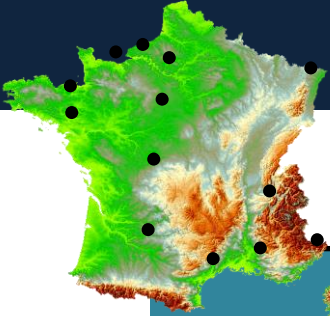


Cohorte DFT nationale

	Cohorte globale	DFT comportemental	DFT-SLA	APP	PSP	SCB
Proposants, n=	1502	902	240	108	207	45
Cas familiaux, n=	550	310	138	43	48*	11*

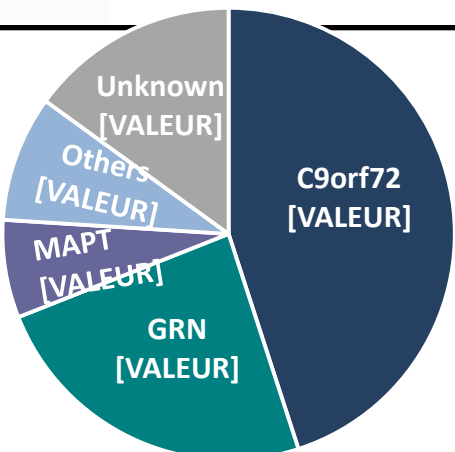
*ALS, degenerative dementia, parkinsonism

Les cohortes DFT et DFT/SLA nationales



Cohorte DFT nationale

	Cohorte globale	DFT comportemental	DFT-SLA	APP	PSP	SCB
Proposants, n=	1502	902	240	108	207	45
Cas familiaux, n=	550	310	138	43	48*	11*



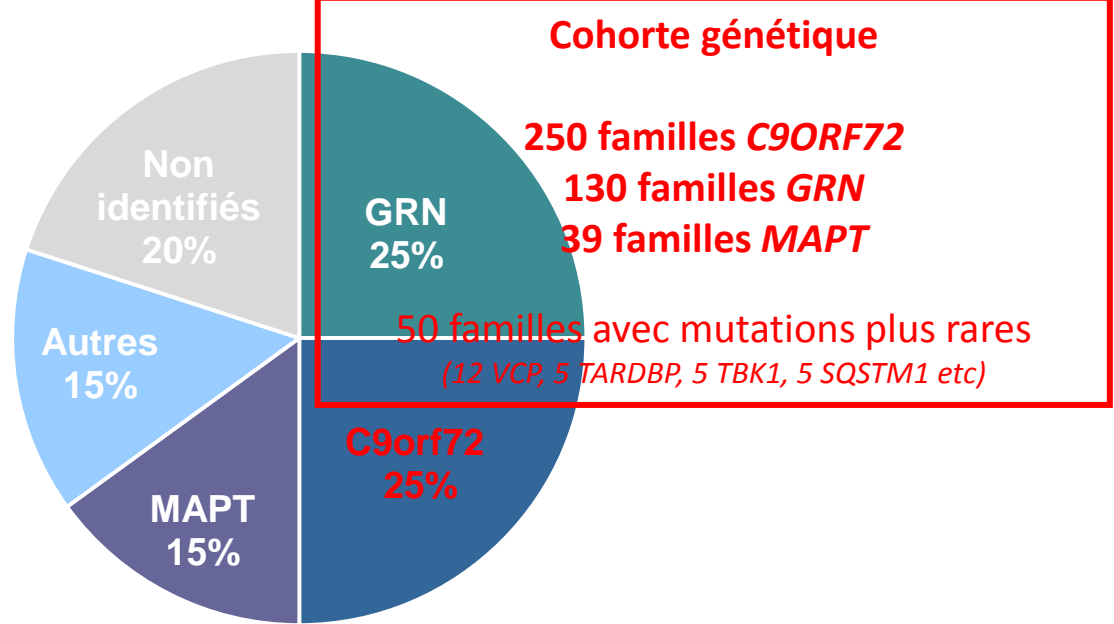
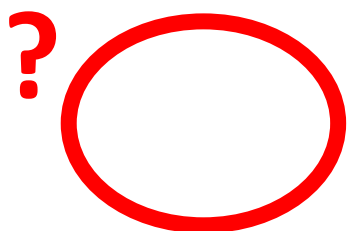
Cohorte génétique

250 familles C9ORF72
130 familles GRN
39 familles MAPT

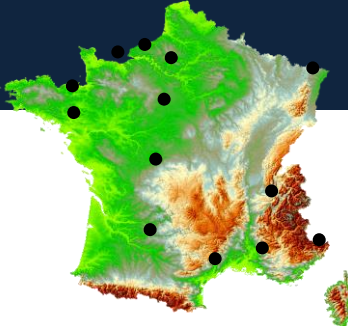
50 familles avec mutations plus rares
 (12 VCP, 5 TARDBP, 5 TBK1, 5 SQSTM1 etc)

Objectifs du réseau

1. Identification de nouveaux gènes



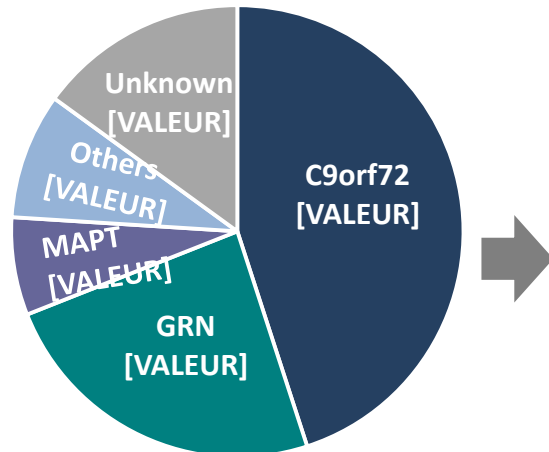
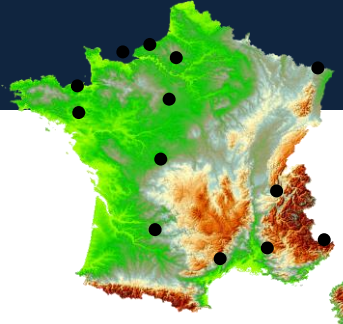
Les cohortes DFT et DFT/SLA nationales



Cohorte DFT nationale						
	Cohorte globale	DFT comportemental	DFT-SLA	APP	PSP	SCB
Proposants, n=	1502	902	240	108	207	45
Cas familiaux, n=	550	310	138	43	48*	11*

*ALS, degenerative dementia, parkinsonism

Les cohortes DFT et DFT/SLA nationales



Cohorte génétique

250 familles *C9ORF72*

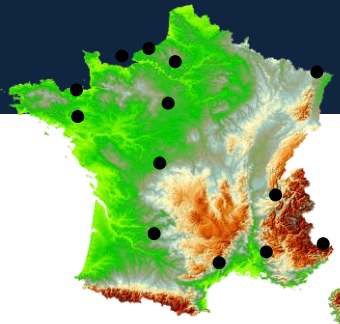
130 familles *GRN*

39 familles *MAPT*

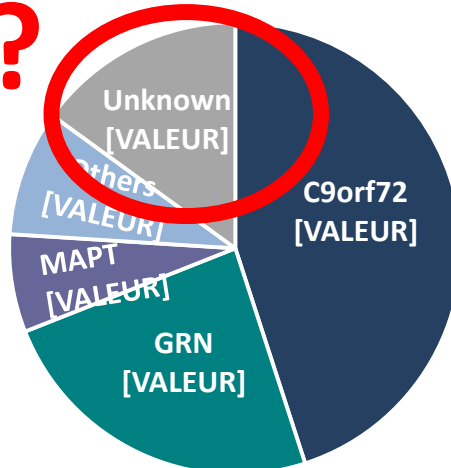
50 familles avec mutations plus rares

(12 *VCP*, 5 *TARDBP*, 5 *TBK1*, 5 *SQSTM1* etc)

Les cohortes DFT et DFT/SLA nationales



?



Cohorte génétique

250 familles *C9ORF72*

130 familles *GRN*

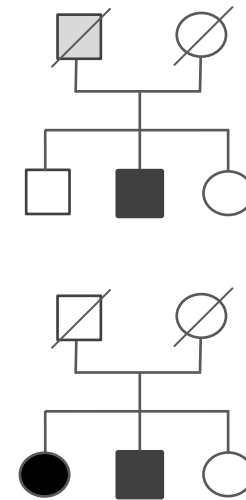
39 familles *MAPT*

50 familles avec mutations plus rares

(12 *VCP*, 5 *TARDBP*, 5 *TBK1*, 5 *SQSTM1* etc)

Environ 50 familles non expliquées

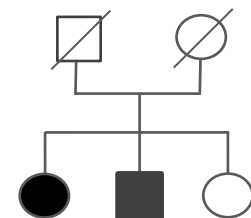
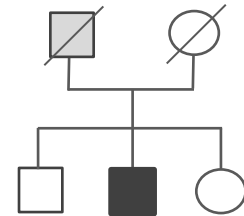
- Petites familles/ penetrance incomplete
- Forte hétérogénéité clinique & génétique
- Formes génétiques rares, 1-3%
- Taille des cohortes ‘familles’ insuffisante



Unravel FTLD genetic heterogeneity

Environ 50 familles non expliquées

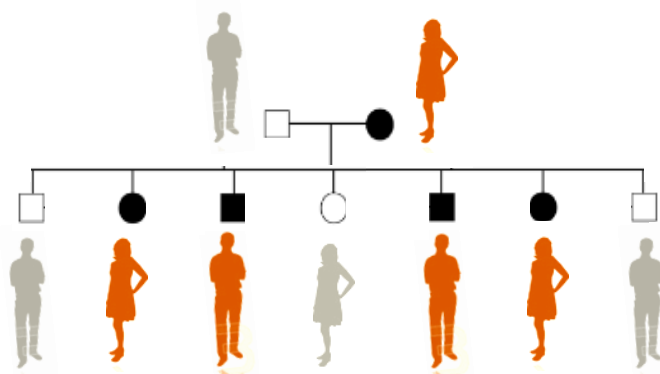
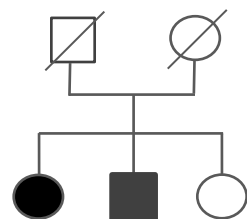
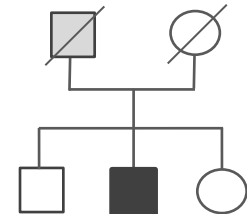
- Petites familles/ penetrance incomplete
- Forte hétérogénéité clinique & génétique
- Formes génétiques rares, 1-3%
- Taille des cohortes ‘familles’ insuffisante



Unravel FTLD genetic heterogeneity

Environ 50 familles non expliquées

- Petites familles/ penetrance incomplete
- Forte hétérogénéité clinique & génétique
- Formes génétiques rares, 1-3%
- Taille des cohortes ‘familles’ insuffisante



Ségrégation familiale



Cohortes de patients